



การพัฒนาระบบการจัดกลุ่มภาพโคมไฟด้วยคอมพิวเตอร์

**Development of a Computer-aided System for  
Classification of a Chromosome Image**

สุนทร รุ่งเรืองใบหยก

**Sunthorn Rungruangbaiyok**

วิทยานิพนธ์นี้เป็นส่วนหนึ่งของการศึกษาตามหลักสูตรปริญญา

วิศวกรรมศาสตรมหาบัณฑิต สาขาวิชาวิศวกรรมไฟฟ้า

มหาวิทยาลัยสงขลานครินทร์

**A Thesis Submitted in Partial Fulfillment of the Requirements for the Degree of**

**Master of Engineering in Electrical Engineering**

**Prince of Songkla University**

**2553**

ลิขสิทธิ์ของมหาวิทยาลัยสงขลานครินทร์

(1)

ชื่อวิทยานิพนธ์

การพัฒนาระบบการจัดกลุ่มภาพโครโน่โฉนด้วยคอมพิวเตอร์

ผู้เขียน

นายสุนทร รุ่งเรืองใบหยก

สาขาวิชา

วิศวกรรมไฟฟ้า

อาจารย์ที่ปรึกษาวิทยานิพนธ์หลัก

คณะกรรมการสอบ

(ผู้ช่วยศาสตราจารย์ ดร.พรชัย พฤกษ์ภัทранนท์)

ประธานกรรมการ  
(รองศาสตราจารย์ ดร.มนตรี กาญจนเดชะ)

กรรมการ

(ผู้ช่วยศาสตราจารย์ ดร.พรชัย พฤกษ์ภัทranนท์)

กรรมการ

(รองศาสตราจารย์ นุญาเจริญ วงศ์กิตติศึกษา)

กรรมการ

(ดร.นัตรชัย ศุภพิทักษ์สกุล)

บันทึกวิทยาลัยมหาวิทยาลัยสงขลานครินทร์ อนุมัติให้นับวิทยานิพนธ์ฉบับนี้ เป็นส่วนหนึ่งของการศึกษา ตามหลักสูตรปริญญาวิศวกรรมศาสตรมหาบัณฑิต สาขาวิชาวิศวกรรมไฟฟ้า

(รองศาสตราจารย์ ดร.เกริกชัย ทองหนู)

คณบดีบันทึกวิทยาลัย

ชื่อวิทยานิพนธ์	การพัฒนาระบบการจัดกลุ่มภาพโครโนมโอมด้วยคอมพิวเตอร์
ผู้เขียน	นายสุนทร รุ่งเรืองใบหยก
สาขาวิชา	วิศวกรรมไฟฟ้า
ปีการศึกษา	2552

### บทคัดย่อ

วิทยานิพนธ์นี้นำเสนอการพัฒนาโปรแกรมต้นแบบของระบบการจัดกลุ่มภาพโครโนมโอมด้วยคอมพิวเตอร์ประกอบด้วย 4 ขั้นตอน คือ การประมวลผลภาพเบื้องต้น, การแยกภาพออกเป็นส่วนๆ, การเลือกลักษณะเด่นและการจัดกลุ่มภาพ ขั้นตอนการประมวลผลภาพเบื้องต้นเป็นขั้นตอนแรก โดยปรับแต่งภาพให้เหมาะสมเพื่อเตรียมไว้สำหรับขั้นตอนแยกภาพเป็นส่วนๆ ขั้นตอนแรก เป็นการแยกภาพเป็นส่วนๆ ตามลักษณะเด่นที่ได้จากการออกแบบภาพที่ต้องการออกจากพื้นหลังเพื่อหาลักษณะเด่นของภาพแต่ละภาพ ลักษณะเด่นที่ใช้ในโครงข่ายประสาทเทียมนี้มี 5 ประเภท คือพื้นที่ภาพโครโนมโอม, พื้นที่ของแฉลยโครโนมโอม, ความยาวเส้นรอบรูป, ค่าสูงสุดของ Singular value จากวิธี Singular value decomposition (SVD), และ Band profile โดยจำนวนการซักตัวอย่างของ Band profile ที่ 10, 30, 50 และ 80 ตัวอย่าง ขั้นตอนสุดท้ายเป็นการจัดกลุ่มภาพ โดยขั้นตอนนี้จะแบ่งการจัดกลุ่มภาพออกเป็น 2 ชั้น โดยที่ชั้นแรกแยกภาพโครโนมโอมออกเป็น 6 กลุ่มและหลังจากนั้นจัดกลุ่มภาพโครโนมโอมของแต่ละกลุ่มทั้ง 6 กลุ่มออกเป็นโครโนม 22 คู่และโครโนม เพศ 1 คู่ รวมทั้งหมด 23 ประเภท (เพศหญิง) หรือ 24 ประเภท (เพศชาย) ผลการทดลองประสิทธิภาพพบว่าจำนวนการซักตัวอย่างที่ให้ประสิทธิภาพที่ดี คือ 30 หรือ 50 และเมื่อซักตัวอย่างที่ 30 หรือ 50 ตัวอย่าง กลุ่มที่มีประสิทธิภาพดี คือโครโนมคู่ที่ 1, 2 และ 13 ถึง 18, และกลุ่มที่มีประสิทธิภาพดีพอใช้ คือโครโนมคู่ที่ 3 ถึง 12 และโครโนม X, และกลุ่มที่มีประสิทธิภาพดีสุด คือโครโนมคู่ที่ 19 ถึง 22 และโครโนม Y เมื่อเปรียบเทียบการซักตัวอย่างที่ 30 หรือ 50 ตัวอย่าง โดยพิจารณาแต่ละกลุ่มทั้ง 6 กลุ่ม พบว่าควรซักตัวอย่างที่ 50 ตัวอย่างเมื่อใช้กับภาพโครโนมคู่ที่ 1 ถึง 2 และซักตัวอย่างที่ 30 ตัวอย่างเมื่อใช้กับภาพโครโนมคู่ที่ 3 ถึง 12 และโครโนม X ส่วนคู่ที่ที่เหลืออยังไม่สามารถระบุชัดเจนว่าควรซักตัวอย่างที่ 30 หรือ 50 ตัวอย่าง

คำสำคัญ      ภาพโครโนมโอม, โครงข่ายประสาทเทียม

<b>Thesis Title</b>	Development of a computer-aided system for classification of a chromosome image
<b>Author</b>	Mr.Sunthorn Rungruangbaiyok
<b>Major Program</b>	Electrical Engineering
<b>Academic Year</b>	2009

## **ABSTRACT**

A prototype of a computer-aided system for chromosome image classification has been developed. The procedure consists of four steps. There are image preprocessing, image segmentation, feature extraction, and image classification. Image preprocessing is the first step. It enhances the images for preparation to be used in image segmentation. Image segmentation separates the interesting object from the background. Features used in this algorithm are chromosome area, band area, perimeter, maximum of singular value from singular value decomposition method (SVD), and band profile. Band profile was sampled at 10, 30, 50 and 80. The last step is image classification. This algorithm divides classification method into two steps. The first step classified chromosome images into six groups. The second step classified chromosome images in each group to one of twenty three classes (female) or twenty four classes (male). Preliminary results show that efficiency is good when band profile is sampled at 30 or 50. This efficiency is high at chromosome class number 1, 2 and 13 to 18, and efficiency is moderate at chromosome class number 3 to 12 and sex chromosome X, but efficiency is pretty low at chromosome class number 19 to 22 and sex chromosome Y. Comparisons between band profiles sampled at 30 and 50 show that chromosome class number 1 and 2 should sampled at 50, and chromosome class number 3 to 12 should sampled at 30, but the others can not be determined which one is better.

Keywords:      chromosome image, neural network

## กิตติกรรมประกาศ

ขอแสดงคำขอบพระคุณ พศ.ดร. พรชัย พฤกษ์ภัทранนต์ ประธานกรรมการที่ปรึกษา  
งานวิจัย ที่ได้กรุณาให้การสนับสนุนและฝึกฝนการทำวิจัย กรุณารอทิศเวลาให้คำปรึกษา แนะนำ  
ความรู้ในด้านการทำวิจัย เอกสาร ข้อมูลต่างๆเป็นอย่างดี รวมทั้งขัดเคลื่อนกระบวนการคิดและให้  
กำลังใจในการแก้ปัญหาตลอดจนตรวจทานแก้วิทยานิพนธ์ให้ดำเนินไปอย่างสมบูรณ์

ขอขอบพระคุณ พศ. สุรพล เนียมนนตรี และ พศ. คงดิษ เจริญพัฒนานนท์ กรรมการ  
สอบโครงร่างและกรรมการสอบความก้าวหน้างานวิจัยที่ได้กรุณาให้คำแนะนำที่เป็นประโยชน์ต่อ  
การทำงานวิจัยเสมอ และตรวจทานวิทยานิพนธ์ให้ดำเนินไปอย่างสมบูรณ์

ขอขอบพระคุณ ดร. ฉัตรชัย ศุภพิทักษ์สกุล, รศ. บุญเจริญ วงศ์กิตติศึกษา และ พศ.ดร.  
มนตรี กาญจนะเดชะ ที่ได้กรุณาอุทิศเวลาเป็นกรรมการสอบวิทยานิพนธ์ ให้คำแนะนำที่มี  
ประโยชน์ วิจารณ์ผลงาน และตรวจทานวิทยานิพนธ์ให้ดำเนินไปอย่างสมบูรณ์

ขอขอบพระคุณ พศ. เลียง คุบวรัต์ และ พศ. สาวิตรี ตันทานุที่ให้คำแนะนำที่มีประโยชน์  
วิจารณ์ผลงาน ระหว่างการทำวิทยานิพนธ์เพื่อให้ดำเนินไปอย่างสมบูรณ์

ขอขอบพระคุณ คุณจริยา ข่ายม่าน หน่วยพัฒนาศาสตร์ คณะแพทยศาสตร์ มหาวิทยาลัย  
สงขลานครินทร์ ที่เอื้อเฟื้อข้อมูลและภาพการวิจัย ให้มาช่วยในการทำวิทยานิพนธ์

ขอขอบพระคุณ คณะวิศวกรรมศาสตร์ มหาวิทยาลัยสงขลานครินทร์ ที่กรุณาให้  
ทุนการศึกษาแก่ข้าพเจ้าระหว่างการศึกษา

ขอขอบพระคุณ คณาจารย์และบุคลากร ในภาควิชาวิศวกรรมไฟฟ้าทุกๆท่าน ที่ให้ความ  
ช่วยเหลือในด้านต่างๆมาโดยตลอด จนกระทั้งงานสำเร็จลุล่วง

ขอขอบพระคุณ บัณฑิตวิทยาลัย มหาวิทยาลัยสงขลานครินทร์ วิทยาเขตหาดใหญ่ ที่ให้  
ความช่วยเหลือด้านการประสานงานต่างๆ

ขอขอบคุณ พี่ๆ และเพื่อนๆ รวมทั้งน้องๆ นักศึกษามหาวิทยาลัยสงขลานครินทร์ ทุกท่าน  
ที่ได้ให้คำแนะนำ คำปรึกษา และกำลังใจที่ดีมาโดยตลอด

สุดท้ายนี้ ข้าพเจ้าขอն้อมรำลึกถึงพระคุณของบิความราดาและครอบครัว ที่ส่งเสริม  
สนับสนุน ให้คำแนะนำ ให้คำปรึกษา ให้กำลังใจที่ดีเยี่ยม และทุนทรัพย์แก่ข้าพเจ้าตลอดมา  
จนกระทั้งทำให้ข้าพเจ้าประสบความสำเร็จ

สุนทร รุ่งเรืองใบหยก

## สารบัญ

	หน้า
สารบัญ	(6)
รายการตาราง	(8)
รายการภาพประกอบ	(9)
บทที่	
1. บทนำ	1
1.1 ความสำคัญและที่มาของการวิจัย	1
1.2 งานวิจัยที่เกี่ยวข้อง	2
1.3 วัตถุประสงค์ของการวิจัย	4
1.4 ขอบเขตการวิจัย	4
1.5 ประโยชน์ที่คาดว่าจะได้รับ	4
1.6 ขั้นตอนการวิจัย	4
2. ทฤษฎีและหลักการ	5
2.1 โครโนไซม	5
2.2 ภาพเดิม旧圖	13
2.3 การวิเคราะห์ภาพ	16
3. อุปกรณ์และวิธีการ	26
3.1 ภาพเดิม旧圖	26
3.2 การทดลอง	26
3.3 การทดสอบประสิทธิภาพ	31
4. ผลการวิจัย	33
4.1 ผลของการประมวลผลภาพเบื้องต้น	33
4.2 ผลของการแยกภาพเป็นส่วนๆ	34
4.3 ผลของการเลือกถักย่อนะเด่น	34
4.3 ผลของการจัดกลุ่มภาพ	44

## สารบัญ (ต่อ)

	หน้า
5. บทสรุปและข้อเสนอแนะ	45
5.1 บทสรุป	45
5.2 ข้อเสนอแนะ	48
บรรณานุกรม	50
ภาคผนวก	53
ภาคผนวก ก Confusion matrix ของการจัดกลุ่มภาพโครโน้มโฉม	54
ภาคผนวก ข แผนภาพเดบลายโครโน้มโฉม	63
ประวัติผู้เขียน	88

## รายการตารางประกอบ

ตารางประกอบ	หน้า
2-1 การแบ่งกลุ่มโครโนไซมตามโครงสร้างขนาดและตำแหน่งเชน โทรเมียร์	6
2-2 ตารางเปรียบเทียบเพื่อหาพื้นที่ของภาพขาวดำ	19
3-1 ลักษณะเด่นที่ใช้ของแต่ละ Classifier	30
3-2 ตารางแสดงค่า humgroup ของแต่ละกลุ่มทั้งชายและหญิง	32
4-1 ประสิทธิภาพของการจัดกลุ่มภาพโครโนไซม	41
4-2 ประสิทธิภาพของการจัดกลุ่มภาพโครโนไซมในชั้นที่ 2	42
4-3 ประสิทธิภาพของการจัดกลุ่มภาพในชั้นที่ 2 เมื่อชักตัวอย่าง Band profile ที่ 30	43
4-4 ประสิทธิภาพของการจัดกลุ่มภาพในชั้นที่ 2 เมื่อชักตัวอย่าง Band profile ที่ 50	43
ก-1 Confusion matrix ของการจัดกลุ่มภาพโครโนไซมของเพศชาย เมื่อชักตัวอย่าง Density profile ที่ 10	55
ก-2 Confusion matrix ของการจัดกลุ่มภาพโครโนไซมของเพศหญิง เมื่อชักตัวอย่าง Density profile ที่ 10	56
ก-3 Confusion matrix ของการจัดกลุ่มภาพโครโนไซมของเพศชาย เมื่อชักตัวอย่าง Density profile ที่ 30	57
ก-4 Confusion matrix ของการจัดกลุ่มภาพโครโนไซมของเพศหญิง เมื่อชักตัวอย่าง Density profile ที่ 30	58
ก-5 Confusion matrix ของการจัดกลุ่มภาพโครโนไซมของเพศชาย เมื่อชักตัวอย่าง Density profile ที่ 50	59
ก-6 Confusion matrix ของการจัดกลุ่มภาพโครโนไซมของเพศหญิง เมื่อชักตัวอย่าง Density profile ที่ 50	60
ก-7 Confusion matrix ของการจัดกลุ่มภาพโครโนไซมของเพศชาย เมื่อชักตัวอย่าง Density profile ที่ 80	61
ก-8 Confusion matrix ของการจัดกลุ่มภาพโครโนไซมของเพศหญิง เมื่อชักตัวอย่าง Density profile ที่ 80	62

## รายการภาพประกอบ

ภาพประกอบ	หน้า
2-1 ภาพโครงโน้มโฉมของเศษชาด	8
2-2 ภาพโครงโน้มโฉมของเศษเหลว	8
2-3 โครงสร้างของโครงโน้ม	9
2-4 แผนผังແຄນລາຍໂຄຣໂນໂໂສມຄູ່ທີ່ໃນຂ່ວງຮະບະ 400, 550 ແລະ 850 ແລນ	10
2-5 ภาพໂຄຣໂນໂໂສມກ່ອນการทำຄາຣີໂອໄຫປ່ງ	11
2-6 ภาพໂຄຣໂນໂໂສມຫລັງการทำຄາຣີໂອໄຫປ່ງ	11
2-7 ภาพຄາຣີໂອໄຫປ່ງທີ່ພບຄວາມຜິດປົກຕິເຊີ້ງຈຳນວນ	12
2-8 ภาพຄາຣີໂອໄຫປ່ງທີ່ພບຄວາມຜິດປົກຕິເຊີ້ງໂຄຮງສ້າງ	12
2-9 ภาพດິຈິຕອລໃນພິກັດ $(x, y)$	14
2-10 ຕ້າວຍ່າງກາພຮະດັບເທົາແລະຄ່າຂອງພິກເຊດ (Normalized value)	14
2-11 ຕ້າວຍ່າງກາພຮະດັບເທົາແລະຄ່າຂອງພິກເຊດ	15
2-12 ຕ້າວຍ່າງກາພສີ RGB ແລະຄ່າຂອງພິກເຊດ	15
2-13 ກະບວນກາວວິເຄຣະໜ້າກາພ	17
2-14 ການໃຊ້ຕ້າງອອນແບບແຄລີຍ	17
2-15 ສີສໂຕແກຣນຂອງກາພແລະຄ່າຂຶ້ນແປ່ງ	18
2-16 ຕ້າວຍ່າງກາຮັມຫາພື້ນທີ່ຂອງວັດຖຸ	19
2-17 ຕ້າວຍ່າງກາຮັມຫາຄວາມຍາວເສັ້ນຮອບຮູບຂອງວັດຖຸ	20
2-18 ກາພໂຄຣໂນໂໂສມທີ່ສັນກາລາງໝາຍໄປ (ເຮີ່ມເຂົ້າສູ່ຮະບະແຍກດັ່ງ)	21
2-19 ລັກນະຂອງກາພໂຄຣໂນໂໂສມທີ່ຕ່າງກັນຈຶ່ງກວຽບຮັບຂໍ້ອມູດໃຫ້ອູ້ໃນຮູບແບບເຕີຍກັນ	22
2-20 ໂຄຮງສ້າງຂອງໂຄຮງຫ່າຍປະສາທເທີມ 1 ເຊລົດ	23
2-21 ໂຄຮງສ້າງຂອງໂຄຮງຫ່າຍປະສາທເທີມແບບຫລາຍໜ້າ	23
2-22 ໂຄຮງສ້າງຂອງໂຄຮງຫ່າຍປະສາທເທີມແບບ Probabilistic neural network	25
2-23 Radial basis transfer function	25
2-24 Competitive transfer function	25

## รายการภาพประกอบ (ต่อ)

ภาพประกอบ	หน้า
3-1 กระบวนการการทำงานของการวิเคราะห์ภาพ	26
3-2 แผนภาพการทำงานของโปรแกรม	29
3-3 แผนภาพการจัดกลุ่มภาพแบบ 2 ชั้น	30
4-1 การจัดภาพให้อยู่รูปแบบเดียวกัน	33
4-2 ตัวอย่างการแยกภาพเป็นส่วนๆ	34
4-3 ข้อมูลสถิติของพื้นที่ภาพโครโนมที่ง่ายและหลวง	35
4-4 ข้อมูลสถิติของพื้นที่ແບນลายภาพโครโนมที่ง่ายและหลวง	36
4-5 ข้อมูลสถิติของความถ่วงรูปภาพโครโนมที่ง่ายและหลวง	37
4-6 ข้อมูลสถิติของค่าสูงสุดของ Singular value ของภาพโครโนมที่ง่ายและหลวง	38
4-7 Density profile และ Band profile ของโครโนมคู่ที่ 1	39
4-8 การซักตัวอย่าง Band profile ที่ 10, 30, 50 และ 80 ตัวอย่าง	40
4-9 ประสิทธิภาพของการจัดกลุ่มภาพโครโนมโดยแยกແຈງเป็น 6 กลุ่ม เมื่อเปรียบเทียบการซักตัวอย่างจาก Band profile จำนวน 30 และ 50 ตัวอย่าง ที่ง่ายและหลวง	44
5-1 Density profile และ Band profile ของโครโนมคู่ที่ 19	46
5-2 การซักตัวอย่าง Band profile ที่ 10, 30, 50 และ 80 ตัวอย่าง	47
5-3 ตัวอย่างภาพโครโนมคู่ที่ 19, 20, 21, 22 และโครโนม Y	47
5-4 ตัวอย่างการซักตัวอย่าง Band profile ที่ 50 ตัวอย่าง ของโครโนมคู่ที่ 19, 20, 21, 22 และโครโนม Y	48

## บทที่ 1

### บทนำ

ในบทนี้กล่าวถึงความสำคัญและที่มาของการวิจัย งานวิจัยที่เกี่ยวข้อง วัตถุประสงค์ของการวิจัย ขอบเขตการวิจัย ประโยชน์ที่คาดว่าจะได้รับ และขั้นตอนการวิจัย ดังรายละเอียดต่อไปนี้

#### 1.1 ความสำคัญและที่มาของการวิจัย

ตั้งแต่มีการค้นพบว่าปกติมีโครโนโซมทั้งหมด 46 แท่งหรือ 23 คู่ [1] เป็นออโตโซม โครโนโซม (Autosome chromosome) 22 คู่ และโครโนโซมเพศ (Sex chromosome) 1 คู่ เพศหญิงมีโครโนโซมเพศเป็น XX และเพศชายมีโครโนโซมเพศเป็น XY โครโนโซมเป็นสารพันธุกรรมในร่างกายซึ่งเป็นต้นแบบในการสร้างสายพันธุ์เพื่อเป็นตัวกำหนดคุณลักษณะต่างๆ และควบคุมการทำงานของร่างกาย โครโนโซมอยู่ในเซลล์ทุกเซลล์ของร่างกายและภาพโครโนโซมที่ใช้วิเคราะห์ได้จากเซลล์ต่างๆ เช่น เลือด ไขกระดูก เซลล์น้ำครรภ์ที่ใช้ตรวจทางก่ออนคโลด ยกเว้นเซลล์เม็ดเลือดแดง หากจำนวนหรือโครงสร้างโครโนโซมมีความผิดปกติอาจเป็นสาเหตุก่อให้เกิดโรคต่างๆ ได้ ดังนั้นการวิเคราะห์ภาพโครโนโซมจึงเป็นกระบวนการสำรวจสำคัญที่ช่วยให้แพทย์หรือนักวิจัยสามารถตรวจและวินิจฉัยโรคที่มีความผิดปกติทางพันธุกรรม [2], โรคมะเร็งชนิดต่างๆ [3, 4], และโรคที่มีความผิดปกติอื่นๆ [5]

กระบวนการทำคาริโอไทป์ (Karyotype procedure) เป็นกระบวนการพื้นฐานที่นิยมใช้วิเคราะห์และจัดกลุ่มภาพโครโนโซม โดยใช้ภาพโครโนโซมช่วงระยะ metaphase [6] โดยกำหนดหมายเลขอและจัดเรียงภาพโครโนโซมตามประเภทของกลุ่มโครโนโซมทั้ง 24 ประเภท ตามขนาดและโครงสร้างของโครโนโซม [7] การทำคาริโอไทป์เป็นงานที่ใช้แรงงาน ใช้ความชำนาญและใช้เวลาเป็นอย่างมาก [8] ดังนั้นจึงมีการพัฒนาระบบคอมพิวเตอร์เพื่อช่วยวิเคราะห์และจัดกลุ่มภาพโครโนโซม เพื่อเพิ่มประสิทธิภาพและลดเวลาการทำงาน

ระบบคอมพิวเตอร์เพื่อช่วยวิเคราะห์และจัดกลุ่มภาพโครโนโซมจึงมีการพัฒนาขึ้นมาซึ่งก็มีหลายวิธี เช่น การใช้โครงข่ายประสาทเทียมแบบต่างๆ (Perceptron neuron network, Back propagation neural network, Probabilistic neural network) [9, 10, 11], ตรรกศาสตร์วิภาคชันย์ (Fuzzy logic) และเทมเพลตแมทชิ่ง (Template matching) [12]

โครงข่ายประสาทเทียมได้ถูกนำมาประยุกต์ใช้จัดกลุ่มภาพโครโนไซมเพื่อเพิ่มประสิทธิภาพและลดเวลาของการประมวลผล [8] เช่น การลดขนาดของโครงข่ายประสาทเทียมโดยเปลี่ยนआตพุตของโครงข่ายประสาทเทียมจาก 24 เป็น 5 โดยใช้เทคนิคการแปลงเลขฐานสอง [9] หรือการแบ่งขั้นตอนของการจัดกลุ่มภาพออกเป็นสองส่วนเพื่อเพิ่มประสิทธิภาพของการจัดกลุ่มโดยขั้นตอนแรกแบ่งออกเป็น 7 กลุ่มย่อย และแบ่งภาพโครโนไซมแต่ละกลุ่มอีกรังเพื่อให้เป็น 24 ประเภทในขั้นตอนที่ 2 [10]

ถึงแม้ว่าระบบคอมพิวเตอร์ช่วยเหลือมีประสิทธิภาพมากขึ้น แต่ก็ยังคงต้องให้ผู้เชี่ยวชาญตรวจสอบความถูกต้องอีกรังหนึ่ง แต่อย่างน้อยก็ลดภาระงานและระยะเวลาของผู้ทำการ ใจไทยปี

## 1.2 งานวิจัยที่เกี่ยวข้อง

X. Wang, et al., "Development and evaluation of automated systems for detection and classification of banded chromosomes", *current status and future perspectives, Journal of physics D: Applied physics*, 2005. pp. 2536-2542. [8]

บทความนี้กล่าวถึงกระบวนการต่างๆของวิธีพัฒนาจัดกลุ่มภาพโครโนไซมแบบอัตโนมัติ ซึ่งแต่ขั้นตอนพื้นฐาน กระบวนการปรับปรุงภาพโครโนไซม การแยกภาพโครโนไซมที่มีลักษณะซ้อนทับกัน การเลือกลักษณะเด่นของภาพโครโนไซม จนถึงกระบวนการจัดกลุ่มภาพโครโนไซม ซึ่งแต่ละขั้นตอนได้แนะนำว่าได้มีการใช้วิธีใดบ้างในการพัฒนา และในบทสรุปได้มีการแนะนำถึงขั้นตอนต่างๆที่ควรแก้ไขเพื่อให้ได้ระบบการจัดกลุ่มแบบอัตโนมัติที่มีประสิทธิภาพมากขึ้น

S. Delshadpour, "Reduced size multilayer perceptron neural network for human chromosome classification" *Proceedings of the 25<sup>th</sup> Annual International Conference of the IEEE EMBS, Cancun, Mexico, September 17-21, 2003.* pp. 2249-2252. [9]

บทความนี้กล่าวถึงการลดจำนวนเอ่าท์พุตของโครงข่ายประสาทเทียม ซึ่งเป็นการลดขนาดโครงข่ายประสาทเทียม โดยปกติเอ่าท์พุตของโครงข่ายจะมีค่าเท่ากับ 24 เนื่องจากโครโนไซมมีทั้งหมด 24 รูปแบบ โดยจะลดจำนวนเอ่าท์พุตโครงข่ายลงเหลือเท่ากับ 5 เพราะเมื่อถอดรหัสของเลขฐานสองจำนวน 5 บิต เป็นเลขฐานสิบซึ่งค่าที่ได้มากกว่ารูปแบบของโครโนไซมที่กำหนดไว้ และได้เพิ่มค่าขีดแบ่ง เพื่อปรับค่าเอ่าท์พุตให้เป็นศูนย์และหนึ่ง และใช้โครงข่ายประสาทเทียมแบบเปอร์เซปตรอนหลายชั้นหลายแบบ เพื่อหาโครงข่ายที่เหมาะสมที่สุด โดยลักษณะเด่นที่ใช้คือ

พื้นที่ภาพโครโนมโซม ตำแหน่งของเซนโทรเมียร์ และแถบลายของโครโนมโซม รวมลักษณะเด่นทั้งหมด จำนวน 30 ลักษณะเด่น

J. Cho, Y. S. Ryu, and H. S. Woo, “A study for the hierarchical artificial neural network model for giemsa stained human chromosome classification”, *Proceedings of the 26<sup>th</sup> Annual International Conference of the IEEE EMBS*, San Francisco, CA, U.S.A., September 1-5, 2004, 2004. pp. 4588-4591. [10]

บทความนี้กล่าวถึงการใช้โครงที่ย่อประสานเพื่อจัดกลุ่มภาพโครโนม โดยนำเสนอวิธีการจัดกลุ่ม 2 ชั้น โดยชั้นแรกแบ่งภาพโครโนมออกเป็น 7 กลุ่ม ก่อนที่จะจัดเป็น 24 กลุ่ม โดยใช้ลักษณะเด่นคือ ความยาวของโครโนมโซม พื้นที่ของโครโนม centromeric index และ density profile โดยใช้ density profile 80 ค่า ซึ่งพบว่ามีประสิทธิภาพดีขึ้น

P. W. Sweeney Jr., T. M. Musavi, and N. J. Guidi, “Classification of chromosomes using a probabilistic neural network”, *Cytometry* 16, 1994. pp. 17-24. [11]

บทความนี้กล่าวถึงการใช้โครงที่ย่อประสานเพื่อจัดกลุ่มprobabilistic neural network ในการจัดกลุ่มภาพโครโนม ซึ่งจากการทดลองพบว่าประสิทธิภาพได้ผลดีกว่าวิธี maximum likelihood และโครงที่ย่อประสานเพื่อจัดกลุ่ม โดยลักษณะเด่นที่ใช้คือ พื้นที่ของโครโนม ความยาวเส้นรอบรูปและอัตราความทั้งหมด 30 ลักษณะเด่น

A. M. BUDAWI, “Chromosomes classification based on neural networks, fuzzy rule based and template matching classifiers” *IEEE*, 2004. pp 383-387. [12]

บทความนี้กล่าวถึงการจัดกลุ่มภาพโครโนมโดยใช้โครงที่ย่อประสานเพื่อจัดกลุ่ม ตระกูลศาสตร์ วิภัชนา แหล่งเพลตแมชชิ่ง เพื่อเปรียบเทียบประสิทธิภาพ โดยลักษณะเด่นที่ใช้คือ พื้นที่และความยาวของโครโนม เซนโทรเมียร์ จำนวนและความหนาของแถบลาย โดยใช้ภาพโครโนม 20 ภาพ พนวิธีเพลตแมชชิ่ง เป็นวิธีที่ให้ประสิทธิภาพสูงสุด

จากตัวอย่างบทความข้างต้นพบว่าการจัดกลุ่มภาพโครโนมโดยการใช้โครงที่ย่อประสานเพื่อจัดกลุ่ม แหล่งเพลตแมชชิ่ง เป็นที่นิยม และลักษณะเด่นที่ใช้คือพื้นที่ภาพโครโนมและแถบลายของโครโนม

### 1.3 วัตถุประสงค์ของการวิจัย

เพื่อพัฒนาต้นแบบซอฟต์แวร์ช่วยวิเคราะห์และจัดกลุ่มภาพโครโน่โชน

### 1.4 ขอบเขตการวิจัย

ออกแบบและพัฒนาต้นแบบโปรแกรมเพื่อการจัดกลุ่มภาพโครโน่โชนจากภาพโครโน่โชนที่ผ่านการตัดแยกภาพโครโน่โชนที่ซ้อนทับกันแล้วแบบกึ่งอัตโนมัติ

### 1.5 ประโยชน์ที่คาดว่าจะได้รับ

- 1.5.1 ได้ต้นแบบระบบคอมพิวเตอร์ช่วยวิเคราะห์และจัดกลุ่มภาพโครโน่โชน
- 1.5.2 เพิ่มความสะดวกและลดค่าใช้จ่ายในการซื้อซอฟต์แวร์ราคาแพง

### 1.6 ขั้นตอนการวิจัย

- 1.6.1 ศึกษาระเบียบวิธีการประมวลผลภาพดิจิตอล
- 1.6.2 พัฒนาโปรแกรมวิธีการประมวลผลภาพเบื้องต้น
- 1.6.3 พัฒนาโปรแกรมวิธีการแยกภาพออกเป็นส่วนๆ
- 1.6.4 พัฒนาโปรแกรมวิธีการหาลักษณะเด่นของภาพโครโน่โชน
- 1.6.5 พัฒนาโปรแกรมวิธีการจัดกลุ่มภาพโครโน่โชน
- 1.6.6 ทดสอบและปรับปรุงโปรแกรม
- 1.6.7 สรุปผลการทดสอบและเขียนรายงาน

## บทที่ 2

### ทฤษฎีและหลักการ

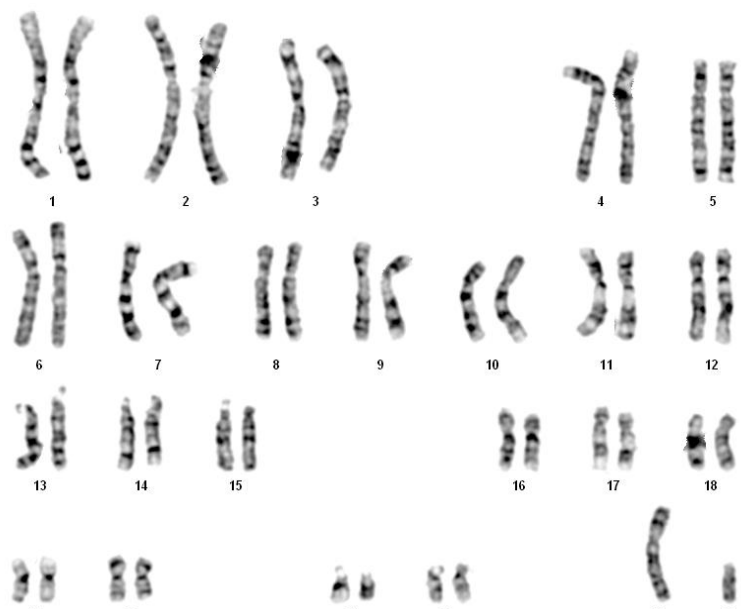
ในบทนี้กล่าวถึงทฤษฎีที่เกี่ยวข้องกับระบบการจัดกลุ่มภาพโครโนไซม์สำหรับงานวิจัย ซึ่งมี 3 หัวข้อ ได้แก่ โครโนไซม์ ภาพดิจิตอล และการวิเคราะห์ภาพ ดังรายละเอียดต่อไปนี้

#### 2.1 โครโนไซม์

โครโนไซม์ คือ สารพันธุกรรมในร่างกายมนุษย์ เป็นต้นแบบในการสร้างสายโปรตีน เพื่อเป็นตัวกำหนดลักษณะต่างๆ และควบคุมการทำงานของร่างกาย โครโนไซมอยู่ในเซลล์ทุกเซลล์ ของร่างกาย ยกเว้น เซลล์เม็ดเลือดแดง แต่ละเซลล์จะมีโครโนไซมอยู่ทั้งหมด 23 คู่ หรือ 46 แท่ง เป็นอโตโซม (Autosome) 22 คู่ และโครโนไซมเพศ (Sex chromosome) 1 คู่ เพศชายมีโครโนไซม เพศเป็น XY และหญิงเป็น XX ดังภาพประกอบ 2-1 และภาพประกอบ 2-2 โครโนไซมสามารถตรวจได้จากเซลล์ที่มีชีวิตชนิดต่างๆ เช่นจากเลือด ไขกระดูก ชิ้นเนื้อจากทารกที่แท้ง หรือ เซลล์น้ำคร่าซึ่งใช้ตรวจหากก่อนคลอด โครโนไซมจะมีโครงสร้างพื้นฐานประกอบด้วยดีเอ็นเอ (DNA double helix) สายดีเอ็นเอจะพันรอบไฮสโตโนม (Histones) และสายดีเอ็นเอที่พันรอบรวมๆ กันว่า นิวเคลียโซไซม (Nucleosome) นิวเคลียโซไซมแต่ละกลุ่มจะเชื่อมต่อกันด้วยสายดีเอ็นเอ สันงานมีลักษณะเหมือนสร้อยข้อมือ แบนๆ แล้วหดซ้อนกันเป็นเกลียว เรียกว่า Solenoid และ Solenoid ขาดซ้อนกันอีกเป็นเกลียวและขาดทับกันเป็นเส้น โกรมาติด [13] ดังภาพประกอบ 2-3

โครโนไซมมีการเปลี่ยนแปลงโครงสร้างของเซลล์ โดยในระยะอินเตอเฟส (Interphase) โครโนไซมมีลักษณะยึดยาวอยู่ภายในนิวเคลียส และมีเพียง 1 โกรมาติด (Chromatid) โครโนไซมจะจำลองตัวเอง (Replication) เพิ่มชิ้นมาอีก 1 โกรมาติด ซึ่งเกิดขึ้นในระยะ Synthetic phase (S) ของอินเตอเฟส ทำให้โครโนไซมแต่ละตัวประกอบไปด้วย 2 โกรมาติด และยังยึดยาวด้วยมาอยู่ในนิวเคลียส ต่อมาในระยะ พรอเฟส (Prophase) โครโนไซมจะหดสั้นและตัวหนาขึ้น จนถึงระยะเมตาเฟส (Metaphase) โครโนไซมจะหดสั้นเข้าแล้วสามารถเห็นโครโนไซมเป็น 2 เส้น โกรมาติดหักเงินขึ้นด้วยกล้องจุลทรรศน์ ซึ่งนิยมนำภาพโครโนไซมในระยะนี้ใช้วินิจฉัย ระยะแอนาเฟส (Anaphase) โกรมาติดทั้งสองของโครโนไซมจะแยกจากกันตรงเชน โตรเมียร์ (Centromere)

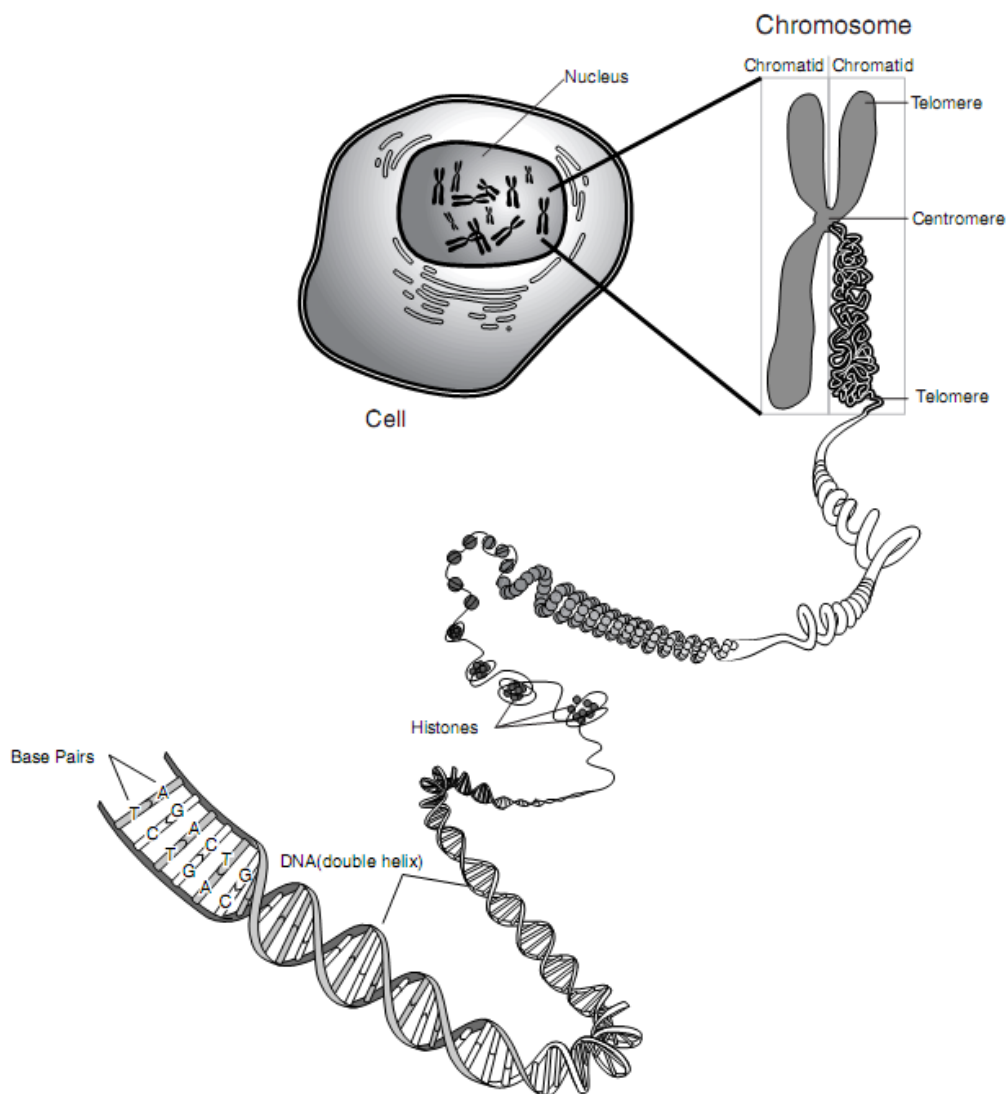
แล้วแยกไปอยู่ในเซลล์ลูกที่เกิดขึ้นแต่ละเซลล์ และระยะเทโลเฟส (Telophase) โครโนมโซมแต่ละตัวซึ่งมีเพียงโครมาติดเดียวจะถูกตัดขาดจากกันในนิวเคลียสหนึ่งเดียว [13]



ภาพประกอบ 2-1 ภาพโครโนมโซมของเพศชาย



ภาพประกอบ 2-2 ภาพโครโนมโซมของเพศหญิง



ภาพประกอบ 2-3 โครงสร้างของโครโมโซม [14]

โครโมโซมมีลักษณะเฉพาะตัวและสามารถระบุลักษณะของมนุษย์ได้ โดยปกติมนุษย์มีโครโมโซม 46 แท่ง ซึ่งได้จากพ่อ 23 แท่งและแม่อีก 23 แท่ง ดังนั้นลูกที่เกิดออกมากจะมีลักษณะคล้ายพ่อและแม่ ซึ่งหากโครโมโซมที่ได้รับการถ่ายทอดจากพ่อและแม่ไม่ครบหรือมากกว่า 46 แท่ง

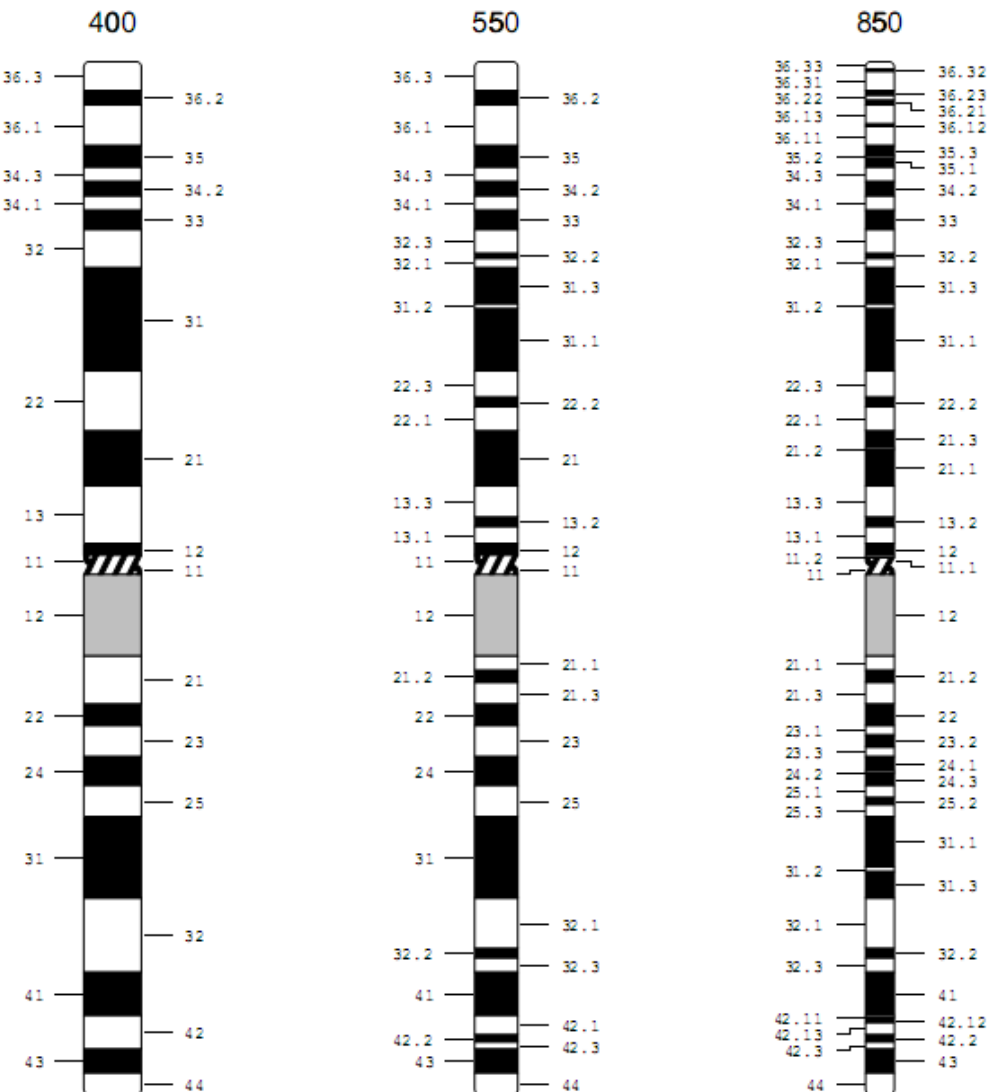
จะเกิดความผิดปกติ เช่น กลุ่มอาการดาวน์ คือการที่มีโครโนโซม แท่งที่ 21 เกินมาหนึ่งแท่ง ผู้ป่วยในกลุ่มนี้จะมีลักษณะเฉพาะคือ ตาเฉียงขึ้นบน, จมูกแบน, ในหูตื้น, คอสั้น และมีอาการปัญญาอ่อน อาจมีความผิดปกติของอวัยวะอื่นๆร่วมด้วย หรือในกรณีที่โครโนโซมมีรูปร่างผิดปกติ อาจเป็น สาเหตุก่อให้เกิดโรคได้ เช่น โรคมะเร็ง โดยความผิดปกติของโครโนโซมแบ่งได้เป็น 4 แบบ คือ ความผิดปกติเชิงโครงสร้าง (Structural aberration), ความผิดปกติเชิงจำนวน (Numerical aberration), โมเชอิซิสซิม (Mosaicism), และไคเมอริซิม (Chimerism) [13]

โครโนโซมของมนุษย์สามารถแบ่งออกเป็น 7 กลุ่ม [7] เรียงลำดับตามขนาดของ โครโนโซม และตำแหน่งของเซนโทรเมียร์ ตำแหน่งของเซนโทรเมียร์มี 3 ตำแหน่ง คืออยู่กลาง ลำตัว (Metacentric chromosome) อยู่ค่อนไปทางด้านหนึ่ง (Submetacentric chromosome) และอยู่ชิดปลายด้านหนึ่ง (Acrocentric chromosome) ดังตารางประกอบ 2-1 และลักษณะของແຄນລາຍ โครโนโซม (Banded chromosome) มีลักษณะเป็นແບບสีเข้มจากสลับกันขึ้นกับกรรมวิธีของการ ข้อมูล โครโนโซม โครโนโซมแต่ละแท่งมีจำนวนและແຄນລາຍที่แตกต่างกันขึ้นกับระยะของวัฏจักร ເຊັ່ນຕີ ຈຶ່ງກໍານົດແພນັ້ນມາຕຽບຮານຂອງແຄນລາຍ โครโนโซม (Ideogram) ดังภาพประกอบ 2-4 โดยທີ່ໄປສາມາດຈັດໄດ້ 5 ຮູບແບບຄື 300, 400, 550, 700 และ 850 ແລະ ໂດຍກາරປະມາມຜລວມ ຂອງຈຳນວນແຄນລາຍທີ່ໜີ້ນົດຂອງພາພແພລອຍດ໌ເຫຼືດ (Haploid set) [7]

ความผิดปกติของ โครโนโซมมีหลายแบบ วิธีการตรวจวิเคราะห์จึงต้องพิจารณาใช้วิธีที่ เหมาะกับความผิดปกติแต่ละแบบ ส่วนใหญ่นิยมตรวจด้วยวิธี Q-banding หรือ G-banding แต่ใน บางกรณีจะใช้เทคนิคทาง Molecular cytogenetic เช่น Fluorescence *in situ* hybridization (FISH) หรือเทคนิคการเพิ่มปริมาณดีเอ็นเอ (Polymerase chain reaction, PCR) ร่วมด้วย การวินิจฉัยจึงจะ ถูกต้องแม่นยำ [13]

ตารางประกอบ 2-1 การแบ่งกลุ่ม โครโนโซมตามโครงสร้างขนาดและตำแหน่งเซนโทรเมียร์

กลุ่ม	โครโนโซมคู่ที่
A	1 - 3
B	4, 5
C	6 - 12 และ X
D	13 - 15
E	16 - 18
F	19, 20
G	21, 22 และ Y



ภาพประกอบ 2-4 แผนผังແຄນລາຍໂຄຣໂໂສນຄູ່ທີ່ 1 ໃນຊ່ວງຮະບະ 400, 550 ແລະ 850 ແຄນ [15]

การทำກາຣີໂອໄທປີ (Karyotype) ຄືກາຣຈັດກຸ່ມພາພໂຄຣໂໂສນຂອງພາພທີ່ຄ່າຍຈາກກລື້ອງຈຸລທຣສນ໌ພ້ອມກຳຫນດໝາຍເລີບແລະຈັດກຸ່ມພາພໂຄຣໂໂສນຕາມລັກຍພະເລີພະຂອງໂຄຣໂໂສນດັ່ງພາພປະກອນ 2-5 ແລະ ພາພປະກອນ 2-6 ເພື່ອຕຽບແລະ ວິນິຈພື້ນວ່າໂຄຣໂໂສນມີຄວາມພິດປົກດີ ທີ່ໄໝ ອ່າຍ່າງໄຣ ຕ້ວອຍ່າງເຫັນ ໂຄຣໂໂສນຄູ່ທີ່ 21 ເກີນມາ 1 ແທ່ງ ດັ່ງພາພປະກອນທີ່ 2-7 ທີ່ໄໝ ໂຄຣສ້າງຂອງໂຄຣໂໂສນແທ່ງໜຶ່ງຂອງຄູ່ທີ່ 11 ຂາດທາຍໄປ ດັ່ງພາພປະກອນ 2-8 ໂດຍຫ້ວ່າໄປເພື່ອຄວາມຄຸກຕ້ອງແມ່ນຢໍາ ພາພຕຽບແລະ ວິນິຈພື້ນໃຫ້ພາພອຍ່າງນ້ຳຍ 5 ພາພ ແຕ່ຫາກນໍາເຊີລ້າຈັກໄຟກະຊຸກຈະ

ใช้อุ่นน้อย 20 วินาทีนิยมตรวจและวินิจฉัยได้จากตัวอย่างเลือด น้ำคร่า และไขกระดูก [8] โดยการเตรียมเซลล์และโครโนมโชมนั้นจะมีการเลี้ยงเซลล์ไม่เหมือนกัน ดังนี้ [13]

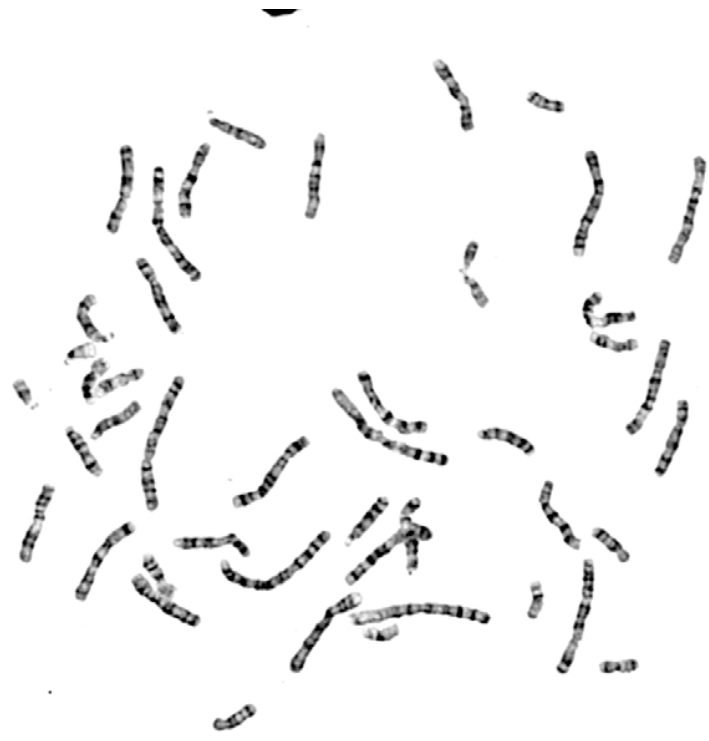
เซลล์ลิมโฟไซท์ (Lymphocyte) จะกระทำโดยเจาะเลือดจากหลอดเลือดดำที่แขนประมาณ 1-2 มิลลิลิตร นำไปเลี้ยงในสารละลายเลี้ยงเซลล์ นิยมใช้ RPMI 1640 ผสมกับ Fetal calf serum (10%) และ Antibiotics กระตุนด้วย Phytohemagglutinin (PHA) โดยเลี้ยงไว้ในตู้อบที่ 37 องศาเซลเซียสเป็นเวลา 72 ชั่วโมง จึงทำการหยุดการแบ่งเซลล์และทำลายเส้นใยสปีนเดลด้วย Colcemid แล้วทำการเตรียมโครโนมโชม

เซลล์แอนโนไไซท์ (Amniocyte) เป็นเซลล์ที่ลอยอยู่ในน้ำคร่า (Amniotic fluid) การเตรียมโครโนมโชมเหล่านี้เป็นการเตรียมเพื่อตรวจวินิจฉัยก่อนคลอด ใช้วิธีเจาะน้ำคร่าเมื่ออายุครรภ์ประมาณ 16-18 สัปดาห์ โดยจะมาประมาณ 15-20 มิลลิลิตร นำไปปั่นให้เซลล์แตกตกร่อนแล้วนำเซลล์ที่ได้ไปเลี้ยงในสารละลายเลี้ยงเซลล์ นิยมใช้ Chang medium, RPMI 1640 หรือ AmnioMax ผสมกับ Fetal calf serum (20%) และ Antibiotics เลี้ยงไว้ในขวดเลี้ยงเซลล์ในตู้อบ 37 องศาเซลเซียสที่มีก๊อการ์บอนไดออกไซด์ 5 % เซลล์แอนโนไไซท์จะลงเกาะกับพื้นขวดและแบ่งเซลล์เพิ่มจำนวนเป็นกลุ่มๆ เมื่อมีกลุ่มเซลล์มากพอจึงทำการเตรียมโครโนมมักใช้เวลาประมาณ 14 วัน

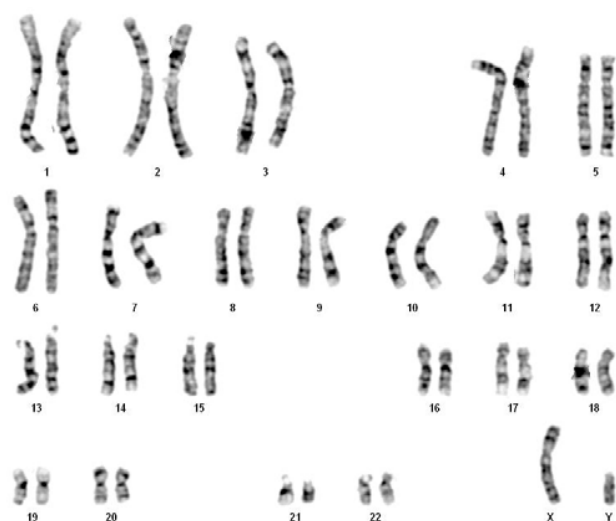
เซลล์ไขกระดูก (Bone marrow cell) จะใช้ไขกระดูก (Bone marrow aspiration) โดยใช้ไขกระดูกประมาณ 1-2 มิลลิลิตร นำไปเลี้ยงในสารละลายเลี้ยงเซลล์ซึ่งอาจใช้ RPMI 1640 หรือ HAM F 1 ผสมกับ Fetal calf serum (10%) และ Antibiotics เลี้ยงไว้ในตู้อบที่ 37 องศาเซลเซียส เป็นเวลา 24 ชั่วโมง จึงเติม Colcemid เพื่อหยุดการแบ่งเซลล์และทำลายเส้นใยสปีนเดล แล้วจึงทำการเตรียมโครโนมโชม

เมื่อได้ตัวอย่างเซลล์ที่เตรียมไว้แล้ว จึงทำการเตรียมโครโนมโชมนิยมใช้ 0.075 M KCl เป็น Hypotonic solution และ Methanol : Acetic acid (3:1) เป็น Fixative สำหรับการทำให้เซลล์แตกและโครโนมกระหายน้ำใช้วิธี Air dried technique หลังจากน้ำจืดซึ่งย้อมสีโครโนมตามกระบวนการวิธีที่ต้องการ รายงานนิจยันที่ใช้ภาพถ่ายโครโนมจากเทคนิค G-banding

G-banding technique ใช้การแช่สไลด์ในสารละลาย Trypsin (0.25%) แล้วซึมด้วยสี Giemsa (10%) นาน 15 นาที หลังจากน้ำจืดล้างด้วยน้ำกลั่น ตั้งทึ่งไว้หรือเป่าให้แห้งจึงนำไปตรวจวิเคราะห์ด้วยกล้องจุลทรรศน์ (Bright field microscope) โครโนมจะติดสีเป็นแถบเข้มและบางสลับกัน ตามลักษณะเฉพาะของโครโนมแต่ละคู่



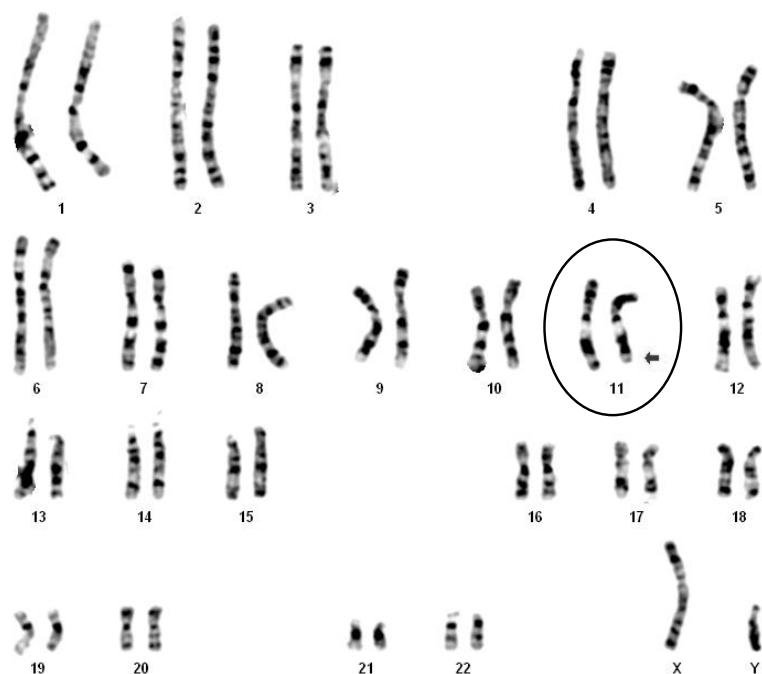
ภาพประกอบ 2-5 ภาพโครโนไซม์ก่อนการทำคารีໂອໄທປີ



ภาพประกอบ 2-6 ภาพโครโนไซม์หลังการทำคารีໂອໄທປີ



ภาพประกอบ 2-7 ภาพการวิเคราะห์โลหะปั๊พความผิดปกติเชิงจำนวน



ภาพประกอบ 2-8 ภาพการวิเคราะห์โลหะปั๊พความผิดปกติเชิงโครงสร้าง

## 2.2 ภาพดิจิตอล

ภาพดิจิตอล (Digital image) เป็นภาพที่เกิดจากการเรียงกันของจุดต่างๆ ที่เรียกว่า “พิกเซล” (Pixel) ซึ่งย่อมาจาก Picture element [16] ดังภาพประกอบ 2-9 พิกเซลแต่ละพิกเซลของภาพดิจิตอล เรียงกันในลักษณะของเมตริกซ์ ซึ่งสามารถแสดงเป็นสมการฟังก์ชัน 2 มิติได้ ดังสมการ

$$f(x, y) = \begin{bmatrix} f(1,1) & f(1,2) & \cdots & f(1,C) \\ f(2,1) & f(2,2) & \cdots & f(2,C) \\ \vdots & \vdots & & \vdots \\ f(R,1) & f(R,2) & \cdots & f(R,C) \end{bmatrix}_{R \times C} \quad (2-1)$$

กำหนดให้  $f(x, y)$  คือแอมพลิจูดของฟังก์ชันหรือค่าความเข้มของภาพ (Intensity) ที่ตำแหน่งแถว (Row)  $x$  และหลัก (Column)  $y$  โดยที่  $R$  และ  $C$  เป็นจำนวนแถวและหลักของเมตริกซ์ (ขนาดพิกเซลของภาพ)

พิกเซลของภาพดิจิตอลมีคุณสมบัติ 2 อย่างคือ ค่าที่สัมพันธ์กับเมตริกซ์อื่น (พบในภาพประเพณี Index image ซึ่งไม่ค่อยพบเห็นกันมากนัก) และค่าที่เป็นความเข้มสี (พบในภาพขาวดำ ภาพระดับเทา และภาพสี)

ภาพขาวดำ (Binary image) เป็นภาพที่แต่ละพิกเซลมีเพียง 2 ค่า คือ 0 (สีดำ) หรือ 1 (สีขาว) แต่ละพิกเซลใช้เพียง 1 บิตในการเก็บข้อมูล โดยทั่วไปส่วนที่เป็นสีขาวเป็นวัตถุ (Object หรืออาจเรียกเป็น Foreground) และสีดำเป็นพื้นหลัง (Background) ดังภาพประกอบ 2-10

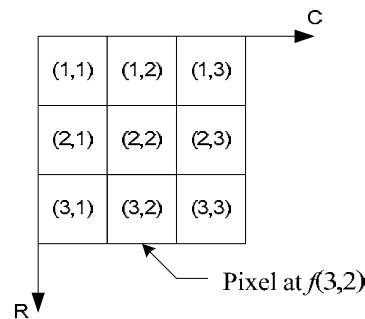
ภาพระดับเทา (Gray-scale image) บางครั้งเรียก Gray level image หรือ Intensity image เป็นภาพที่แต่ละพิกเซลมีค่าระหว่าง 0 (สีดำ) ถึง 255 (สีขาว) ดังภาพประกอบ 2-11 แต่ละพิกเซลใช้ 8 บิตหรือ 1 ไบต์ในการเก็บข้อมูล หรือในกรณี 16 บิตแต่ละพิกเซลมีค่าระหว่าง 0 (สีดำ) ถึง 65535 (สีขาว) ซึ่งมีความละเอียดมากกว่าที่สายตามนุษย์แยกรายละเอียดได้ ดังนั้นจึงไม่พบเห็นมากนัก ในทางปฏิบัตินิยมปรับค่าความเข้มใหม่ให้มีค่าอยู่ระหว่าง 0 ถึง 1 ภาพระดับเทาสามารถแปลงเป็นภาพขาวดำได้โดยใช้เทคนิคเทสโธลเดอร์ (Thresholding technique) โดยที่ค่าขีดแบ่ง (Threshold value) เป็นตัวกำหนดค่าเป็น 0 และ 1 โดยพิจารณาจากค่าความเข้มของภาพระดับเทา

ภาพสี RGB (Red-green-blue image) หรือ True color image เป็นภาพสีที่เกิดจากการรวมของ 3 เมตริกซ์ (3 สี) คือ สีแดง, สีเขียว, และสีน้ำเงิน ดังภาพประกอบ 2-12 แต่ละพิกเซลประกอบด้วยค่าของสีทั้ง 3 สี แต่ละสีมีค่าระหว่าง 0 ถึง 255 ตามระดับของความเข้ม แต่ละพิกเซลใช้ 24 บิตหรือ

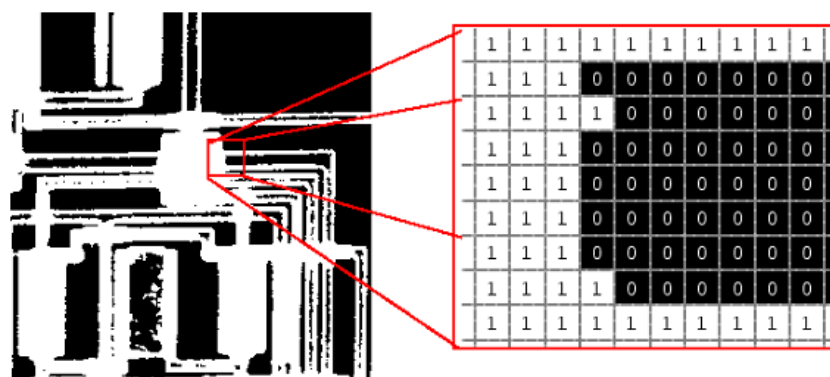
3 ไปต่อในการเก็บข้อมูล ดังนั้นภาพสีจึงมีระดับสีแตกต่างกัน  $256^3 = 16,777,216$  ระดับ ภาพสี RGB สามารถแปลงเป็นภาพระดับเทาได้ ดังสมการ

$$Ig = (0.2989 \times R) + (0.5870 \times G) + (0.1140 \times B) \quad (2-2)$$

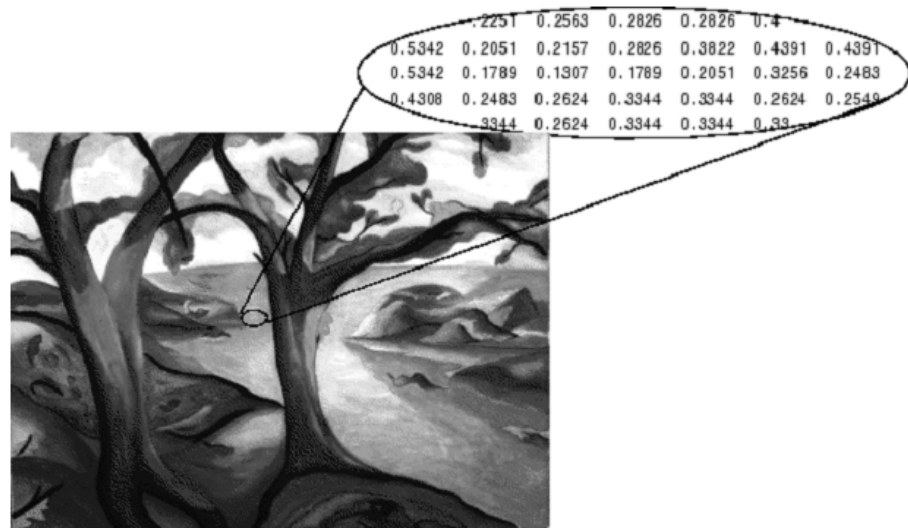
กำหนดให้  $Ig$  คือ ค่าพิกเซลของภาพระดับเทา และ  $R, G$ , และ  $B$  คือ ค่าพิกเซลของเมตริกซ์ของสีแดง สีเขียว และสีน้ำเงิน ตามลำดับ [17]



ภาพประกอบ 2-9 ภาพดิจิตอลในพิกัด  $(x, y)$



ภาพประกอบ 2-10 ตัวอย่างภาพระดับเทาและค่าของพิกเซล (Normalized value) [18]



ภาพประกอบ 2-11 ตัวอย่างภาพระดับเทาและค่าของพิกเซล [18]



ภาพประกอบ 2-12 ตัวอย่างภาพสี RGB และค่าของพิกเซล [18]

## 2.3 การวิเคราะห์ภาพ (Image analysis)

การวิเคราะห์ภาพมี 4 ขั้นตอน คือการประมวลผลภาพเบื้องต้น (Image preprocessing), การแยกภาพออกเป็นส่วนๆ (Image segmentation), การเลือกกลักษณะเด่นของภาพ (Feature extraction), และการจัดกลุ่มภาพ (Image classification) ดังภาพประกอบ 2-13

### 2.3.1 การประมวลผลภาพเบื้องต้น

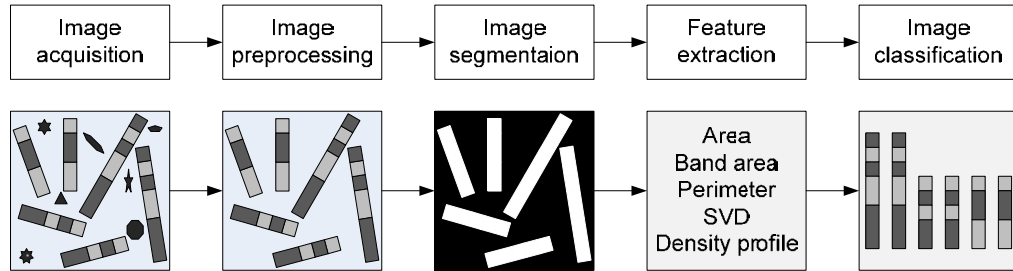
การประมวลผลภาพเบื้องต้นเป็นการเตรียมภาพไว้สำหรับกระบวนการต่างๆ เพื่อให้สอดคล้องกับการทำงาน เช่น การแปลงภาพถ่ายดิจิตอลจากเป็นภาพสีให้เป็นภาพระดับเทา หรือการปรับปรุงภาพถ่ายดิจิตอลที่มีรายละเอียดไม่ชัดเจน หรือมีสัญญาณรบกวน (Noise)

การใช้ตัวกรอง (Filter) เป็นวิธีพื้นฐานและนิยมใช้เพื่อปรับปรุงภาพ ประเภทหนึ่งของตัวกรองควรเลือกให้เหมาะสมกับการใช้งาน ตัวกรองที่พบบ่อยมี 2 ประเภท คือตัวกรองที่กำจัดสัญญาณรบกวน (Smoothing filter) เป็นตัวกรองที่กำจัดหรือลดส่วนที่เป็นความถี่สูงของภาพ (Lowpass filter) และตัวกรองที่เพิ่มความคมชัดของภาพ (Sharpening filter) เป็นตัวกรองที่กำจัดหรือลดส่วนที่เป็นความถี่ต่ำของภาพ (Highpass filter) [19]

ตัวกรองแบบเฉลี่ย (Average filter) เป็นตัวกรองที่นิยมใช้สำหรับกำจัดสัญญาณรบกวน แต่ละพิกเซลมีค่าเป็น 1 ซึ่งขนาดของตัวกรองที่นิยมใช้มีขนาด  $3 \times 3$  หรือ  $5 \times 5$  ซึ่งหากมีขนาดใหญ่เกินไป จะทำให้ภาพไม่คมชัดหรือเบลอ (Blur) ตัวกรองเปรียบเสมือนกับหน้ากาก (Mask) ที่เคลื่อนที่ผ่านพิกเซลทุกพิกเซลของภาพดิจิตอล ดังภาพประกอบ 2-14 ค่าใหม่ที่ได้หลังจากการผ่านตัวกรองคำนวณได้จากสมการ

$$g(x, y) = \frac{1}{9} \times \sum (f(x+i, y+j)), i = -1, 0, 1; j = -1, 0, 1 \quad (2-3)$$

กำหนดให้  $g(x, y)$  คือค่าของพิกเซลใหม่ที่พิกัดเวลา  $x$  และหลัก  $y$  หลังผ่านฟิลเตอร์ และ  $\sum (f(x+i, y+j)), i = -1, 0, 1; j = -1, 0, 1$  คือผลรวมของค่าของพิกเซลใหม่ที่พิกัดเวลา  $x$  และหลัก  $y$  และพิกเซลรอบๆทั้ง 8 พิกเซล



ภาพประกอบ 2-13 กระบวนการวิเคราะห์ภาพ

33	50	147					
60	105	222	120	35	175	78	
245	200	108	80	61	42	45	
			77	130	68	82	
			68	104	105	105	

$$g(x,y) = \frac{1}{9} \times (33 + 50 + 147 + 60 + 105 + 222 + 245 + 200 + 108) \\ = 130$$

ภาพประกอบ 2-14 การใช้ตัวกรองแบบเคลื่อน

### 2.3.2 การแยกภาพออกเป็นส่วนๆ

เทคนิคทesholding technique เป็นการแปลงภาพระดับเทาให้เป็นภาพขาวดำ ซึ่งเป็นเทคนิคที่สำคัญและนิยมใช้กันอย่างแพร่หลายในการแยกข้อมูลภาพออกเป็นส่วนๆ (Image segmentation) [20] เทคนิคนี้มี 2 วิธีคือ การใช้ค่าปิดแบ่งค่าเดียวกันทั้งภาพ (Global thresholding) และการแบ่งภาพต้นฉบับออกเป็นภาพย่อยๆ แต่ละภาพย่อยจะใช้ค่าปิดแบ่งเฉพาะภาพย่อยนั้น (Adaptive thresholding หรือ Dynamic thresholding) [20]

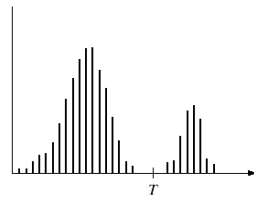
การแยกข้อมูลภาพนี้จะแยกภาพออกเป็นวัตถุ (สีขาว) และพื้นหลัง (สีดำ) โดยการกำหนดค่าความเข้มค่าหนึ่งเป็นค่าปิดแบ่ง (Threshold value) เพื่อแยกค่าความเข้มของแต่ละพิกเซลจากภาพ ระดับเทาว่าค่ามีค่าเป็น 0 (สีดำ) หรือ 1 (สีขาว) [21] ค่าปิดแบ่งได้จากค่าที่แบ่งค่าฮิสโตแกรม (Histogram) ออกจากกันเปรียบเสมือนกับการแบ่งภูเขา 2 ชุด ดังภาพประกอบ 2-15 ค่าปิดแบ่งที่

นิยมใช้ได้จากวิธีของ Otsu (Otsu's Method) [22] ค่าปีดแบ่งที่ได้จากวิธีนี้จะเปลี่ยนแปลงไปตามภาพแต่ละภาพ การแยกภาพเป็นส่วนๆ คำนวณได้จากสมการ

$$g(x,y) = \begin{cases} 1 & , f(x,y) > T \\ 0 & , f(x,y) \leq T \end{cases} \quad (2-4)$$

กำหนดให้  $g(x,y)$  คือค่าของพิกเซลหลังจากการทreshold ที่แล้ว  $x$  และหลัก  $y$ ,  $f(x,y)$  คือค่าความเข้มของพิกเซลที่แล้ว  $x$  และหลัก  $y$  ที่ต้องการทreshold และ  $T$  คือค่าปีดแบ่งที่ได้จากวิธีของ Otsu [19]

ฮิสโตแกรม คือ กราฟแสดงจำนวนความถี่ของความเข้มของพิกเซลในแต่ละระดับ โดยแกน  $x$  เป็นระดับของพิกเซล (ความเข้มสี) ตั้งแต่ 0 ถึง 255 และแกน  $y$  เป็นจำนวนความถี่ของความเข้มของพิกเซลในระดับนั้น ๆ ดังภาพประกอบ 2-15



ภาพประกอบ 2-15 ฮิสโตแกรมของภาพและค่าปีดแบ่ง [21]

ภาพขาวดำที่ได้จากการแปลงภาพระดับเทา ควรปรับแต่งภาพอีกครั้งตามความเหมาะสม เพื่อให้ภาพที่ได้ใกล้เคียงกับภาพต้นฉบับมากที่สุด ด้วยการปิดรูวัตถุ (Fill hole), เพิ่มขอบวัตถุ (Dilation), และลดขอบวัตถุ (Erosion)

### 2.3.3 การเลือกลักษณะเด่นของภาพ

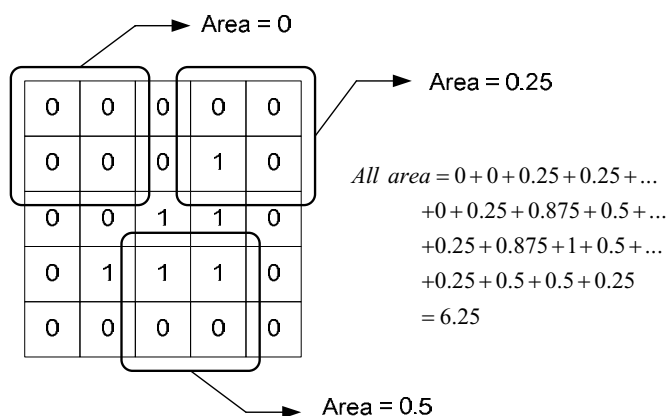
เป็นกระบวนการซึ่งเป็นการเลือกลักษณะเด่นของวัตถุ เช่น ขนาด รูปร่าง พื้นที่ ความยาว สี โดยที่ลักษณะเด่นเหล่านี้สามารถใช้จัดกลุ่มวัตถุโดยพิจารณาจากลักษณะเด่นที่เหมือนกันหรือต่างกัน ลักษณะเด่นที่เลือกใช้ควรมีความเหมาะสม และไม่น้อยหรือมากเกินไป เพราะจะส่งผลต่อประสิทธิภาพการจัดกลุ่มภาพและระยะเวลาของการประมวลผล ลักษณะเด่นที่ใช้ในงานวิทยานิพนธ์มีรายละเอียดดังต่อไปนี้

### ● พื้นที่ของวัตถุ

พื้นที่ของวัตถุเป็นลักษณะเด่นพื้นฐานที่นิยมใช้หาลักษณะเด่น โดยคำนวณหาพื้นที่จากการหาผลรวมของพื้นที่จากการเปรียบเทียบกับหน้ากาก (Mask) ขนาด  $2 \times 2$  (2-by-2 neighborhood) ทั้ง 6 รูปแบบ ดังตารางประกอบ 2-1 [23] หน้ากากนี้จะเคลื่อนผ่านทุกๆ พิกเซล ดังภาพประกอบ 2-16

ตารางประกอบ 2-2 ตารางเปรียบเทียบเพื่อหาพื้นที่ของภาพขาวดำ

ลักษณะของหน้ากากขนาด $2 \times 2$	ขนาดพื้นที่
มีค่าความเข้มเป็น 0 ทั้ง 4 พิกเซล	0
มีค่าความเข้มเป็น 1 เพียง 1 พิกเซล	0.25
มีค่าความเข้มเป็น 1 จำนวน 2 พิกเซล โดยเรียงตัวตามแนวตั้งหรือแนวนอน	0.5
มีค่าความเข้มเป็น 1 จำนวน 2 พิกเซล โดยเรียงตัวตามแนวแทhy	0.75
มีค่าความเข้มเป็น 1 จำนวน 3 พิกเซล	0.875
มีค่าความเข้มเป็น 1 ทั้ง 4 พิกเซล	1



ภาพประกอบ 2-16 ตัวอย่างการคำนวณหาพื้นที่ของวัตถุ

### ● พื้นที่ของແບນລາຍໂຄຣໂມໂສມ

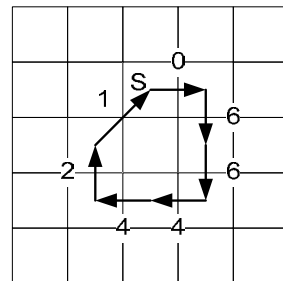
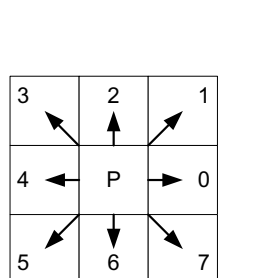
พื้นที่ของແບນລາຍໂຄຣໂມໂສມมาจาก การแยกภาพเป็นส่วนๆ 2 ครั้ง โดยครั้งแรกจะแยกภาพໂຄຣໂມໂສມออกจากพื้นหลัง หลังจากนั้นแยกແບນລາຍໂຄຣໂມໂສມจากแท่งໂຄຣໂມໂສມที่เป็นส่วนที่แยกออกจากบันตอนแรก ซึ่งทั้ง 2 วิธีใช้เทคนิคເທສ.ໂສລດ์ โดยใช้ค่าปีดແບ່ງຈາກວິທີຂອງ Otsu เมื่ອได้ແບນລາຍຂອງໂຄຣໂມໂສມแล้วจึงหาพื้นที่ของภาพด້ວຍວິທີຫ້າງຕົ້ນ

### ● ความยาวเส้นรอบรูป

ความยาวเส้นรอบรูปคำนวณจากเทคนิค Chain code [19] เทคนิคนี้เริ่มจากการกำหนดจุดเริ่มต้น (พิกเซลแรกของแຄบันสุดของวัตถุ) และวนไปเรื่อยๆ ในทิศตามเข็มนาฬิกาตามขอบของวัตถุจนกลับมาจุดเริ่มต้นอีกครั้ง และกำหนดทิศทาง (เวกเตอร์) ของเส้นทางการวนตามขอบของวัตถุแต่ละพิกเซลที่อยู่ติดกันทั้ง 8 ทิศทาง โดยกำหนดให้ 2 พิกเซลที่อยู่ติดกันในลักษณะแนวตั้งและแนวนอนเป็นเลขคู่ และลักษณะทำมุม 45 องศาเป็นเลขคี่ ดังภาพประกอบ 2-17 พร้อมเก็บค่า Chain code ตามลำดับ ความยาวของเส้นรอบรูปคำนวณจากสมการ

$$p = even + (1.414 \times odd) \quad (2-5)$$

โดยกำหนดให้  $p$  คือความยาวเส้นรอบรูป,  $even$  คือจำนวนเวกเตอร์ที่เป็นเลขคู่ และ  $odd$  คือจำนวนเวกเตอร์ที่เป็นเลขคี่ [19]



Chain code = 0664421

$$\begin{aligned} \text{Area} &= 6 + 1.414(1) \\ &= 7.414 \end{aligned}$$

ภาพประกอบ 2-17 ตัวอย่างการคำนวณหาความยาวเส้นรอบรูปของวัตถุ

### ● Singular Value Decomposition (SVD)

ค่า Singular value (Diagonal matrix, D) สามารถนำมาใช้เป็นลักษณะเด่น โดยบางกรณีศึกษาได้ใช้วิธีลดจำนวนข้อมูลด้วยการนำค่าสูงสุดของ Singular value มาใช้เพียงค่าเดียว [24] โดย Singular value สามารถคำนวณจากวิธี Singular value decomposition วิธีนี้เป็นการแยกเมตริกซ์เป็น 3 เมตริกซ์ ดังสมการ

$$A_{M \times N} = U_{M \times M} D_{M \times N} V^T_{N \times N} \quad (2-6)$$

กำหนดให้  $A_{M \times N}$  คือเมตริกซ์ต้นฉบับ,  $U_{M \times M}$  และ  $V^T_{N \times N}$  คือเมตริกซ์เชิงตั้งฉากปกติ (Orthonormal matrix), และ  $D_{M \times N}$  คือเมตริกซ์ที่แยกมุมที่สามาชิกในเมตริกซ์ที่ไม่ใช่คูนย์จะมีค่าเป็นบวก (Non-negative rectangular diagonal matrix)

#### ● Density profile and band profile

Density profile คือเส้นกลางของวัตถุที่แสดงค่าความเข้มของแต่ละพิกเซลตามแนวของเส้นกลาง บางกรณีไม่สามารถคำนวณความเข้มของเส้นกลางมาใช้ได้โดยตรง เนื่องจากเส้นกลางของวัตถุอาจไม่ชัดเจนหรือขาดหายไป ดังภาพประกอบ 2-18 จึงใช้วิธีการฉาย (Projection)

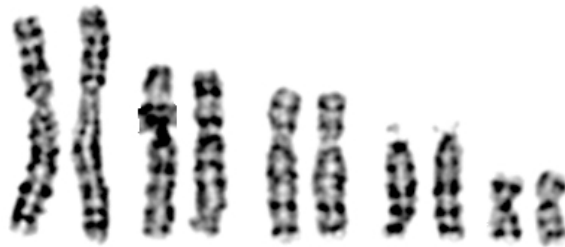
การหา Density profile ด้วยวิธีการฉาย โดยการหาค่าเฉลี่ยค่าความเข้มของแต่ละแถวของแนวการฉาย หลังจากนั้นปรับค่าของ Density profile ใหม่ให้เป็น Band profile ซึ่งมีค่าเป็น 0 หรือ 1 ด้วยเทคนิคโอล์สัน เพื่อจำลองการเรียงลำดับของแถบลายโดย โนโโซน โดยค่าปิดแบ่งจากค่าเบอร์เซ็นต์айлที่ 75 ของชิสโตแกรม และเนื่องจากรายละเอียดแถบลายของภาพถ่ายโดย โนโโซนมีลักษณะคล้ายคลึงกันในกลุ่มเดียวกัน ดังนั้นจึงสุ่มตัวอย่าง (Sampling) จากชุดข้อมูลของ Band profile เพื่อปรับจำนวนของข้อมูลให้เท่ากัน ลดขนาดของข้อมูลและเวลาของการประมวลผล

#### ● การปรับข้อมูลให้อยู่ในชุดรูปแบบเดียวกัน (Normalization)

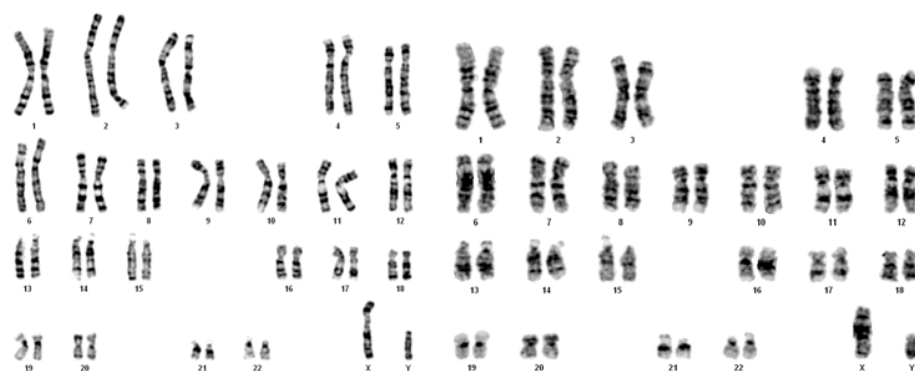
ข้อมูลต่างๆที่ได้จากการเลือกกลักษณะเด่นต้องปรับข้อมูลให้อยู่ในชุดรูปแบบเดียวกัน เนื่องจากภาพแต่ละภาพมีรายละเอียดที่แตกต่างกัน ถึงแม่ว่าจะเป็นกลุ่มเดียวกันก็ตาม เช่นพื้นที่ของ โคโรนารูปแต่ละประเภทเมื่อเทียบกับภาพอื่นๆ ดังภาพประกอบ 2-19 โดยให้ค่าต่ำสุดและสูงสุดของชุดข้อมูลแต่ละชุดเป็น 0 และ 1 ตามลำดับ โดยใช้สมการ

$$y = \frac{x - x_{\min}}{x_{\max} - x_{\min}} \quad (2-7)$$

กำหนดให้  $y$  คือค่าใหม่ของข้อมูลหลังการปรับค่า,  $x$  คือค่าที่ต้องการปรับค่าข้อมูลใหม่,  $x_{\min}$  และ  $x_{\max}$  คือค่าต่ำสุดและสูงสุดของชุดข้อมูลที่ต้องการปรับค่า



ภาพประกอบ 2-18 ภาพโครโนโซมที่เส้นกลางหายไป (เริ่มเข้าสู่ระยะแยกตัว)



ภาพประกอบ 2-19 ลักษณะของภาพโครโนโซมที่ต่างกันจึงควรปรับข้อมูลให้อยู่ในรูปแบบเดียวกัน

### 2.3.4 การจัดกลุ่มภาพ

เป็นกระบวนการที่ใช้จัดกลุ่มของวัตถุโดยพิจารณาจากลักษณะเด่นของภาพ วิธีการจัดกลุ่มที่นิยมใช้กันอย่างแพร่หลาย คือ โครงข่ายประสาทเทียม (Artificial neural network) โครงข่ายประสาทเทียมเป็นโมเดลทางคณิตศาสตร์ที่นำมาใช้เพื่อทำนายผลลัพธ์ที่ได้โดยอาศัยข้อมูลต่างๆ จากฐานข้อมูล โครงข่ายประสาทเทียมมี 2 ประเภทใหญ่ๆ คือ โครงข่ายประสาทเทียมแบบมีผู้สอน (Supervised neural network) และ โครงข่ายประสาทเทียมแบบไม่มีผู้สอน (Unsupervised neural network)

โครงข่ายประสาทเทียมแบบมีผู้สอนต้องการชุดข้อมูลของอินพุต(Input) และเอาต์พุต(Output) เพื่อใช้สอน โครงข่ายประสาทเทียม (Training) แต่โครงข่ายประสาทเทียมแบบไม่มีผู้สอนจะมีการสอนเพียงเฉพาะข้อมูลอินพุตเท่านั้น จากนั้นจะใช้ข้อมูลทางสถิติ โดยหาค่าสถิติของชุดฝึกสอน และจัดกลุ่มข้อมูลออกเป็นระดับต่างๆ โดยโครงข่ายจะหาค่าเอาต์พุตของความสัมพันธ์ระหว่างข้อมูลอินพุตและเอาต์พุต

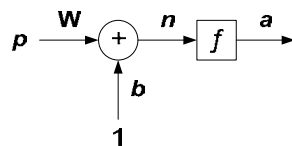
โครงข่ายประสาทเทียมเกิดจากเซลล์หลายเซลล์รวมตัวกันเป็นโครงข่าย เซลล์ของโครงข่ายประสาทเทียมดังภาพประกอบ 2-20 สามารถเขียนเป็นฟังก์ชันคณิตศาสตร์ ดังสมการ

$$n = Wp + b \quad (2-8)$$

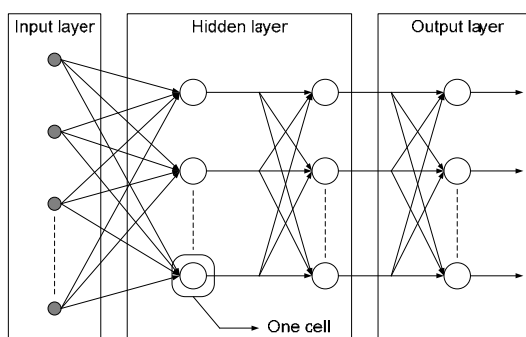
$$a = f(n) \quad (2-9)$$

กำหนดให้  $W$  คืออินพุตนำหนัก (Weight input),  $p$  คืออินพุต (Input),  $b$  ไบอัส (Bias),  $n$  คืออินพุตโครงข่าย (Net input),  $a$  คือเอาต์พุตโครงข่าย และ  $f(n)$  คือฟังก์ชันถ่ายโอน (Transfer function) ของอินพุตโครงข่าย

โครงข่ายประสาทเทียมประกอบ 3 ส่วนหลักๆ คือ ชั้นอินพุต (Input layer), ชั้นซ่อน (Hidden layer) และชั้นเอาต์พุต (Output layer) โดยที่เอาต์พุตของโครงข่ายชั้นก่อนหน้าเป็นอินพุตของโครงข่ายในชั้นถัดมา ดังภาพประกอบ 2-21 ชั้นอินพุตจะสัมพันธ์กับลักษณะเด่นของวัตถุ และชั้นเอาต์พุตจะสัมพันธ์กับจำนวนกลุ่มที่ต้องการจัด ส่วนชั้นซ่อนเปรียบเสมือนกล่องดำที่ไม่มีหลักการที่แน่นอนว่าความมีเซลล์หรือชั้นซ่อนจำนวนเท่าใด ขนาดและประเภทของโครงข่ายประสาทเทียมขึ้นกับประสิทธิภาพจากการลองผิดลองถูก (Trial and error) และความพึงพอใจของผู้ออกแบบ



ภาพประกอบ 2-20 โครงสร้างของโครงข่ายประสาทเทียม 1 เซลล์



ภาพประกอบ 2-21 โครงสร้างของโครงข่ายประสาทเทียมแบบหลายชั้น

Probabilistic neural network เป็นโครงข่ายประสาทเทียมแบบไม่มีผู้สอน โครงข่ายประสาทเทียมจัดกลุ่มโดยใช้ความน่าจะเป็นจากฐานข้อมูล โครงข่ายประสาทเทียมนี้ใช้เวลาในการสอนน้อยกว่าโครงข่ายประสาทเทียมแบบเพร์กัลบ [25], อัตราการจำจำ (recognition rate) ตีกว่า Maximum likelihood และ Back propagation neural network [11], และสามารถเพิ่มการเรียนรู้โดยเพิ่มข้อมูลได้ตลอดโดยไม่จำเป็นต้องสอนโครงข่ายประสาทเทียมใหม่ทั้งหมด [26, 27, 28, 29, 30]

Probabilistic neural network ประกอบด้วยชั้นอินพุต และโครงข่ายประสาทอยู่ 2 ชั้นคือ radial basis layer และ competitive layer [31] ดังภาพประกอบ 2-22

ชั้นอินพุตเป็นลักษณะเด่นที่ผ่านการปรับข้อมูลให้อยู่ในชุดเดียวกันเพื่อนำมาใช้สอนโครงข่ายประสาทเทียม

อินพุตของโครงข่าย Radial basis layer คำนวณจากผลคูณของ Euclidean distance กับ ไบอัส ด้วยวิธีการคูณกันของสมาชิกทั้ง 2 เวกเตอร์ที่ตำแหน่งเดียวกัน (Array multiplication, element by element) โดย Euclidean distance คำนวณจากสมการ

$$d = \sum ((W^1 - p) \cdot .^2)^{.5} \quad (2-10)$$

กำหนดให้  $d$  คือ Euclidean distance,  $W^1$  คืออินพุตหน้าหนัก,  $p$  คืออินพุต (ลักษณะเด่น), และ  $x \cdot .^y$  คือการยกกำลังของสมาชิกแต่ละตัวของ  $x$  ด้วยค่า  $y$  (Array power) [31]

ไบอัสของ Radial basis layer มีค่าเป็น 0.8236/spread โดย spread คือความคลาดเคลื่อนของฟังก์ชัน [25] ฟังก์ชันถ่ายโอน Radial basis มีลักษณะดังภาพประกอบ 2-23 สามารถเขียนเป็นสมการ

$$a = radbas(n) \quad (2-11)$$

$$a = e^{-n^2} \quad (2-12)$$

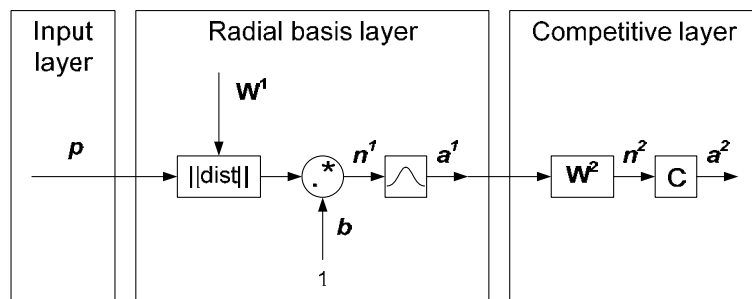
กำหนดให้  $a$  คือ เอ้าต์พุตโครงข่าย, และ  $n$  คืออินพุตโครงข่าย [31]

Competitive layer มีอินพุตของโครงข่ายโดยคำนวณจากผลคูณจุด (Dot product) ของหน้าหนักกับเอ้าต์พุตของโครงข่าย Radial basis layer และชั้นนี้ไม่มีไบอัส ฟังก์ชันถ่ายโอน Compet

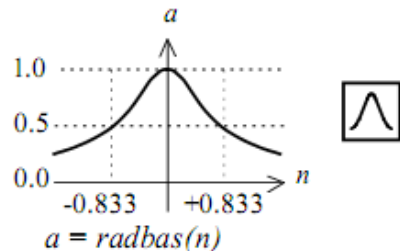
มีลักษณะดังภาพประกอบ 2-24 ซึ่งผลลัพธ์สุดท้ายของโครงข่ายมีค่าเป็น 1 หรือ 0 สามารถเปลี่ยนเป็นสมการ

$$a = \text{compet}(n) \quad (2-11)$$

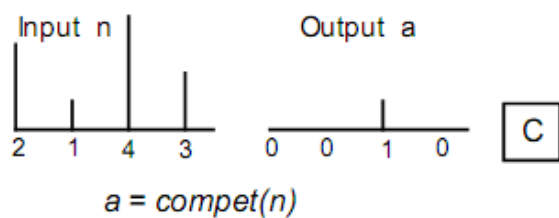
กำหนดให้  $a$  คือ เอ้าต์พุตโครงข่าย, และ  $n$  คืออินพุตโครงข่าย



ภาพประกอบ 2-22 โครงสร้างของโครงข่ายประสาทเทียมแบบ Probabilistic neural network



ภาพประกอบ 2-23 Radial basis transfer function [31]



ภาพประกอบ 2-24 Competitive transfer function [31]

## บทที่ 3

### อุปกรณ์และวิธีการ

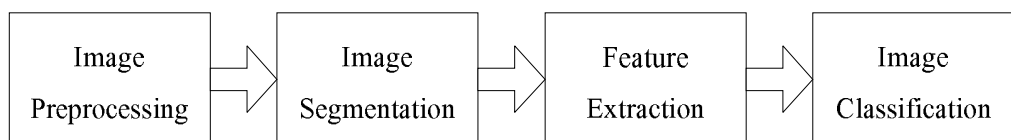
ในบทนี้ กล่าวถึงอุปกรณ์และวิธีการของงานวิจัย ได้แก่ภาพโครโนมโซน วิธีการทดลองและวิธีการทดสอบประสิทธิภาพ ดังรายละเอียดต่อไปนี้

#### 3.1 ภาพดิจิตอล

ภาพโครโนมโซนที่ใช้ในงานวิจัยนี้ เป็นภาพถ่ายจากกล้องดิจิตอลซึ่งรับภาพที่ขยายนอกกล้อง จุดประสงค์โดยที่ภาพโครโนมโซนอยู่ในช่วงการแบ่งเซลล์ระยะเมตาเฟส และเป็นภาพที่ผ่านการทำ工艺 โอไทป์แล้วในรูปแบบ JPEG ขนาดของภาพต้นฉบับไม่แน่นอนขึ้นกับการกระจายตัวและขนาดของโครโนมโซน ภาพโครโนมโซนที่ใช้ทดลองทั้งหมด 60 ภาพ เป็นชาย 30 ภาพ และหญิง 30 ภาพ

#### 3.2 การทดลอง

กระบวนการวิเคราะห์ภาพมี 4 ขั้นตอน ดังภาพประกอบ 3-1 ซึ่งประกอบไปด้วยการประมวลผลภาพเบื้องต้น การแยกภาพเป็นส่วนๆ การเลือกลักษณะเด่น และการจัดกลุ่มภาพ โดยมีแผนภาพการทำงานของโปรแกรม ดังภาพประกอบ 3-2



ภาพประกอบ 3-1 กระบวนการทำงานของการวิเคราะห์ภาพ

### ● การประมวลผลภาพเบื้องต้น

ขั้นตอนนี้เริ่มจากการแปลงภาพสีเป็นภาพระดับเทา และปรับปรุงภาพโดยจัดภาพให้อยู่ในรูปแบบเดียวกันพร้อมกับกำจัดสัญญาณรบกวน

### ● การแยกภาพเป็นส่วนๆ

ขั้นตอนนี้นำภาพระดับเทาจากขั้นตอนก่อนหน้าแปลงเป็นภาพขาวดำด้วยเทคนิคทेसโซล์ดซึ่งภาพที่ได้จะนำไปพิพิธ์ภาพโครโนมโชมนและความยาวเส้นรอบรูป และทेसโซล์ดอิกร์ริ่งจากภาพโครโนมโชมนที่แยกออกจากพื้นหลังก่อนหน้านี้เพื่อหาพื้นที่ແບນลายโครโนมโชม

### ● การเลือกลักษณะเด่น

ขั้นตอนนี้เป็นการหาลักษณะเด่นจากภาพโครโนมโชมที่เป็นภาพระดับเทาและภาพขาวดำโครโนมโชม (ภาพระดับเทา) เพื่อหา Band profile จากการหาค่าขีดแบ่งจาก Density profile ที่เปอร์เซ็นต์ไทล์ที่ 75 และหาค่าสูงสุดของ Singular value โดย Singular value ได้จากวิธี Singular value decomposition (SVD) และ ภาพโครโนมโชม (ภาพขาวดำ) เพื่อหาพื้นที่ภาพโครโนมโชม และพื้นที่ແບນลายโครโนมโชมด้วยวิธีการเปรียบเทียบกับหน้ากาก [23] และหาความยาวเส้นรอบรูปโครโนมโชมจากการหา Chain code [19]

หลังจากนั้นปรับข้อมูลของชุดข้อมูลทั้งหมดให้อยู่ในรูปแบบเดียวกันพร้อมกับเลือกลักษณะเด่นเพื่อเตรียมไว้สำหรับขั้นตอนการจัดกลุ่มภาพในขั้นตอนถัดไป ดังสมการ

$$\mathcal{X}_f = \begin{bmatrix} x_1 \\ x_2 \\ x_3 \\ x_4 \\ x_5 \end{bmatrix}, \quad (3-1)$$

กำหนดให้  $\mathcal{X}_f$  คือลักษณะเด่นที่เตรียมไว้เป็นอินพุตของโครงบำรุงสภาพที่มี  $x_1, x_2, x_3, x_4$ , และ  $x_5$  คือพื้นที่ภาพโครโนมโชม, ความยาวเส้นรอบรูป, ค่าสูงสุดของ Singular value จากวิธี SVD, พื้นที่ແບນลายโครโนมโชม และ Band profile ที่ซักตัวอย่างจากชุดข้อมูลทั้งหมดตามลำดับ

## ● การจัดกิจกรรมภาพ

ขั้นตอนนี้เป็นการทดลองเพื่อจัดกลุ่มภาพโครโนโซมด้วยวิธีแยกโครโนโซมพื้นที่ 46 แห่ง เป็นกลุ่มย่อย 6 กลุ่ม ก่อนที่จะแยกเป็นโครโนโซมทั้ง 24 ประเภท ซึ่งโครโนโซมทั้ง 6 กลุ่มนี้ พิจารณาจากลักษณะเด่นจากการทดลองในหัวข้อการลักษณะเด่น คือพื้นที่ของแอบลัยและภาพโครโนโซมความยาวเส้นรอบรูปโครโนโซม และ ค่าสูงสุดของ Singular value พนว่าโครโนโซมสามารถแบ่งเป็นกลุ่มย่อยได้ประมาณ 6 กลุ่ม กลุ่ม โครโนโซมทั้ง 6 กลุ่มนี้ แสดงดังตารางที่ 3-1 และทดลอง ทำจำานวนการชักตัวอย่างจากค่า Band profile ที่เหมาะสม โดยชักตัวอย่างมา 10, 30, 50 และ 80 ตัวอย่างจากชุดข้อมูลของโครโนโซมแต่ละแห่ง

ลักษณะเด่นที่ใช้จัดกลุ่มภาพของ Classifier ทั้ง 7 ตัว (Classifier M และ Classifier G1-G6) พิจารณาจากผลการทดสอบเรื่องการเลือกลักษณะเด่น ซึ่งผลการทดสอบนี้เป็นค่าทางสถิติของลักษณะเด่นต่างๆจากภาพทั้งหมด 60 ภาพ โดยแบ่งเป็นชายและหญิงอย่างละ 30 ภาพ (ดูผลการทดสอบจากบทที่ 4)

**Classifier M** เมื่อพิจารณาจาก  $X_1, X_2, X_3$  จะพบว่าข้อมูลสามารถเป็นเป็นกลุ่มๆ ได้ประมาณ 6 กลุ่ม ซึ่งค่าของข้อมูลค่อนข้างจะแยกจากกันดังนั้นการจัดกลุ่มภาพโดยโฉมเป็น  $\text{Band profile}$  ( $X_5$ ) เพื่อเพิ่มรายละเอียดของการจัดกลุ่มภาพโดยโฉมที่ 24 ประเภทอีกด้วย

Classifier G1 เมื่อพิจารณาจาก  $X_2$  จะพบว่า  $X_2$  มีค่าของข้อมูลค่อนข้างจะแยกจากกัน ซึ่งต่างจากลักษณะเด่นอื่นๆ

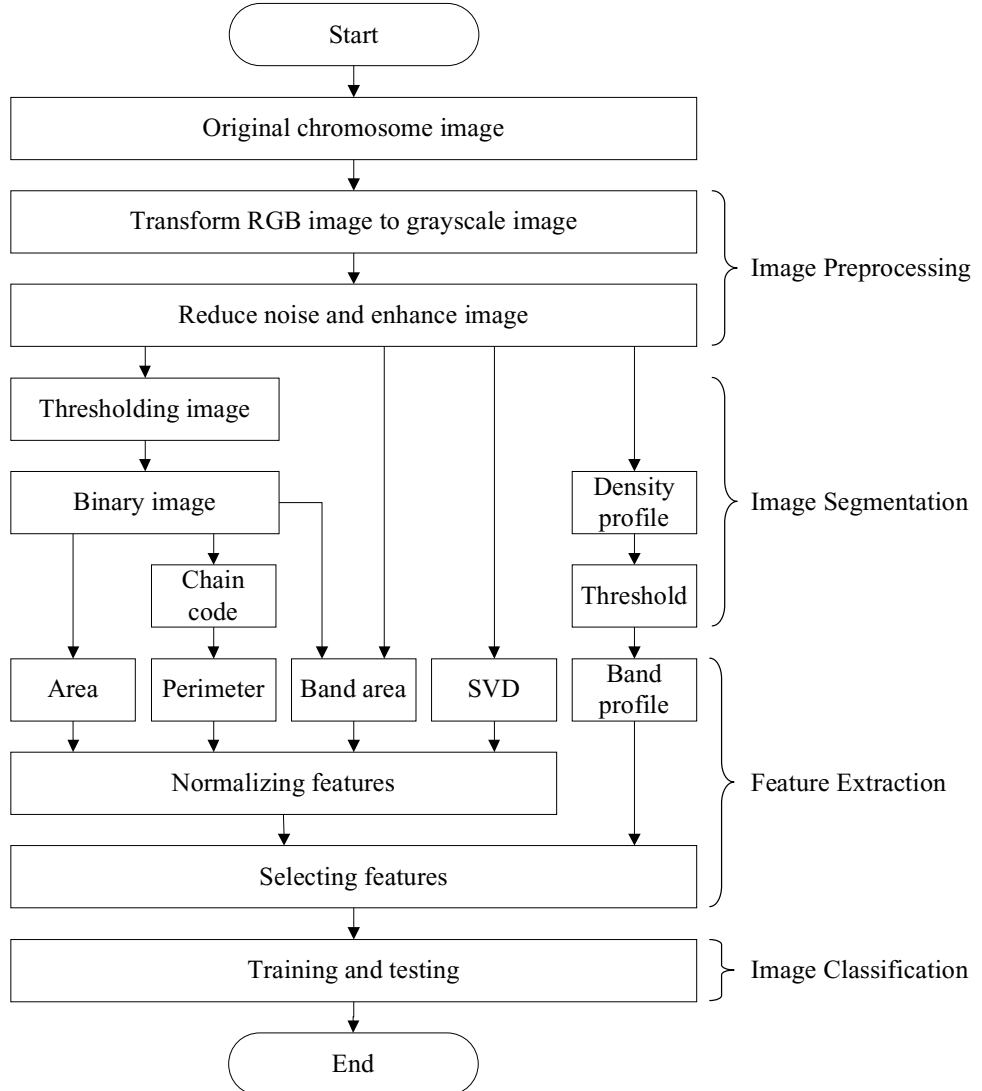
**Classifier G2** เมื่อพิจารณาจากลักษณะเด่นแต่ละตัวแล้วว่าข้อใดไม่ต่างกันมากนัก ใช้ลักษณะเด่นทั้งหมด แต่ลักษณะเด่นเรียงกันเป็นลำดับ

**Classifier G3** เมื่อพิจารณาจากลักษณะเด่นแต่ละตัวแล้วค่าของข้อมูลไม่ต่างกันมากนัก จึงใช้ลักษณะเด่นทั้งหมด แต่ลักษณะเด่นมีช่วงข้อมูลใกล้เคียงกันมาก

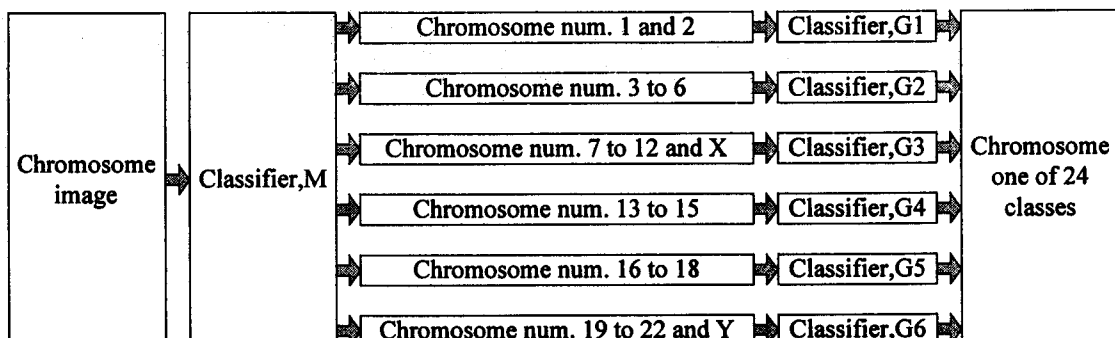
Classifier G4 เมื่อพิจารณาจาก  $X_4$  จะพบว่า  $X_4$  จะแยกข้อมูลโกร ไมโซนคู่ที่ 13, 14 และ 15 ค่อนข้างดี

Classifier G5 เมื่อพิจารณาจาก  $X_1, X_2, X_4$  จะพบว่า  $X_1, X_2$  จะแยกข้อมูลโครโน่โซนคู่ที่ 18 และ  $X_4$  จะแยกข้อมูลโครโน่โซนคู่ที่ 17 ค่อนข้างดี

**Classifier G6** เมื่อพิจารณาจากลักษณะเด่นแต่ละตัวแล้วว่าค่าของข้อมูลค่อนข้างจะกลุ่มกัน และแต่ช่วงข้อมูลของแต่ละกลุ่มในกลุ่มเดียวกันห่างกันไม่มากนักจึงใช้ลักษณะเด่นทั้งหมด



ภาพประกอบ 3-2 แผนภาพการทำงานของโปรแกรม



ภาพประกอบ 3-3 แผนภาพการจัดคู่มappแบบ 2 ชั้น

ตารางประกอบ 3-1 ลักษณะเด่นที่ใช้ของแต่ละ Classifier

Classifier	Features
M	$x_1, x_2, x_3$
G1	$x_2, x_5$
G2	$x_1, x_2, x_3, x_4, x_5$
G3	$x_1, x_2, x_3, x_4, x_5$
G4	$x_4, x_5$
G5	$x_1, x_2, x_4, x_5$
G6	$x_1, x_2, x_3, x_4, x_5$

### 3.3 การทดสอบประสิทธิภาพ

การทดลองแบ่งภาพโครโนโซมออกเป็น 2 ชุด (ชาบ 15 ภาพ และหมูง 15 ภาพ ต่อ 1 ชุด) โดยแต่ละชุดจะผลักกันเป็นชุดที่ใช้สอนและชุดที่ใช้ทดสอบสำหรับโครงข่ายประสาทเทียม(2-fold cross validation)

ผลการทดลองเมื่อวัดเป็นประสิทธิภาพ (Efficiency, eff) ของการจัดกลุ่มภาพโครโนโซม เที่ยวนเป็นเปอร์เซ็นต์ความถูกต้องของภาพโครโนโซม 1 ภาพ ดังสมการ

$$eff = \frac{correct}{46} \times 100\% \quad (3-2)$$

กำหนดให้ *correct* คือจำนวนโครโนโซมที่จัดกลุ่มถูกต้องเมื่อเปรียบเทียบกับ 24 ประเภท และ *eff* เปอร์เซ็นต์ความถูกต้องของการจัดกลุ่มภาพโครโนโซม

เนื่องจากการทดลองจัดกลุ่มภาพโครโนโซมมีการแบ่งการจัดกลุ่มเป็น 2 ขั้นตอน ดังนี้ นั่นจึงพิจารณาเปอร์เซ็นต์ความถูกต้องของกลุ่มย่อยทั้ง 6 กลุ่มเพิ่มเติม ดังสมการ

$$real = \frac{correct}{(numgroup)} \times 100\% \quad (3-3)$$

$$ignore = \frac{correct}{(numgroup - incorrect)} \times 100\% \quad (3-4)$$

กำหนดให้ *correct* คือจำนวนโครโนโซมของกลุ่มย่อยที่จัดกลุ่มถูกต้อง, *numgroup* คือจำนวนโครโนโซมทั้งหมดของกลุ่มย่อยทั้ง 6 กลุ่มดังตารางประกอบ 3-2, *incorrect* คือจำนวนโครโนโซมที่จัดกลุ่มผิดของแต่ละกลุ่มย่อยนั้นๆ และ *real* และ *ignore* คือเปอร์เซ็นต์ความถูกต้องของการจัดกลุ่มภาพย่อยแต่ละกลุ่มแบบธรรมดากลุ่มไม่คิดโครโนโซมที่จัดกลุ่มผิดพลาดจากการจัดกลุ่มชั้นแรก ตามลำดับ

ตัวอย่างเช่น เมื่อพิจารณา Classifier G1 ซึ่งโครโนโซมคู่ที่ 1 และ 2 อยู่ในกลุ่มนี้ ดังนี้ นั่นจึงมีโครโนโซมในกลุ่มนี้ทั้งหมด 4 แท่ง (*numgroup* = 4) แต่จัดกลุ่มภาพโครโนโซมถูก 3 แท่งและแท่งที่ผิดถูกจัดไปอยู่กลุ่มอื่นซึ่งเกิดจากความผิดพลาดของ Classifier M ดังนี้ แม้ว่าพิจารณา

ประสิทธิภาพของโปรแกรมเมื่อคิดเฉพาะกลุ่มนี้ จะได้ 75 เปอร์เซนต์  $\left( real = \frac{3}{4} \times 100\% = 75\% \right)$   
 แต่เมื่อไม่คิดแท่งที่ลูกจัดไปอยู่กลุ่มอื่นเพื่อพิจารณาประสิทธิภาพจริงๆ ของ Classifier G1 จะได้ 100  
 เปอร์เซนต์  $\left( ignore = \frac{3}{(4 - 1)} \times 100\% = 100\% \right)$

ตารางประกอบ 3-2 ตารางแสดงค่า numgroup ของแต่ละกลุ่มทั้งชายและหญิง

Classifier	Class	numgroup (female)	numgroup (male)
G1	1,2	4	4
G2	3-6	8	8
G3	7-12, X	14	13
G4	13-15	6	6
G5	16-18	6	6
G6	19-22, Y	8	9

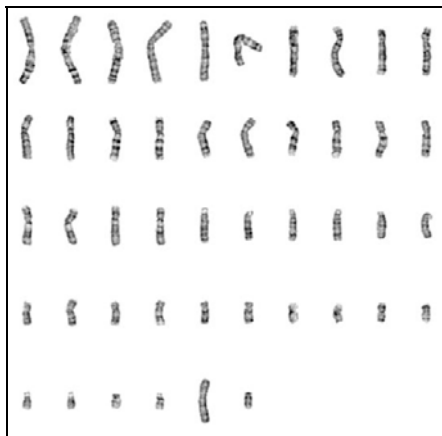
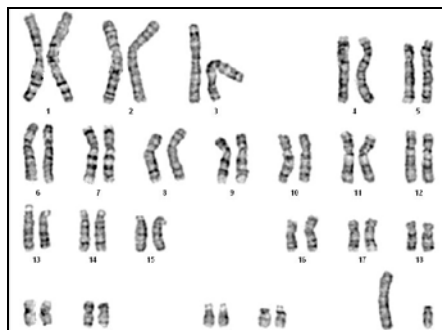
## บทที่ 4

### ผลการวิจัย

ในบทนี้กล่าวถึงผลการวิจัยตามขั้นตอนของกระบวนการวิเคราะห์ภาพ ซึ่งมี 4 ขั้นตอน ได้แก่ การประมวลผลภาพเบื้องต้น, ผลของการแยกภาพเป็นส่วนๆ, ผลของการเลือกลักษณะเด่น และผลของการจัดกลุ่มภาพ ໂຄຣ ໂນ ໂ惆ນ ดังรายละเอียดต่อไปนี้

#### 4.1 ผลของการประมวลผลภาพเบื้องต้น

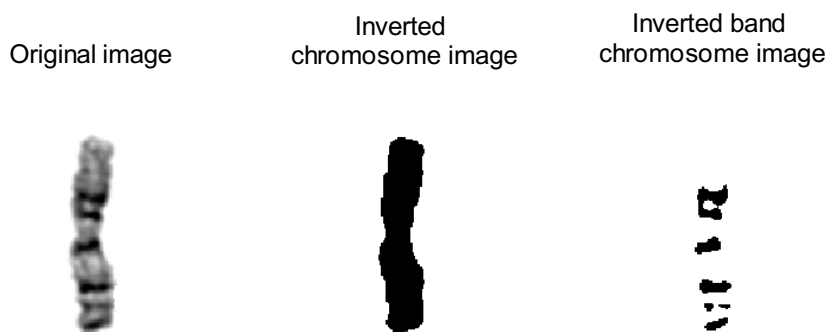
ขั้นตอนนี้เป็นการแปลงจากภาพสีเป็นภาพขาวเทา พร้อมกับจัดภาพในรูปแบบเดียวกันเพื่อ ง่ายต่อการประมวลผล โดยภาพໂຄຣ ໂນ ໂ惆ນแต่ละแท่งหลังการจัดมีขนาดภาพเป็น 300x150 พิกเซล รวมถึงการทำจัดสัญญาณรบกวนออกด้วยตัวกรองแบบเฉลี่ยขนาด 3x3 ดังภาพประกอบ 4-1



ภาพประกอบ 4-1 การจัดภาพให้อยู่รูปแบบเดียวกัน

## 4.2 ผลของการแยกภาพเป็นส่วนๆ

ขั้นตอนนี้เป็นการแยกภาพออกเป็นส่วนๆ โดยการแยกภาพโครโนมโซมออกจากพื้นหลังโดยการใช้เทคนิคเทสโอลด์ และค่าขีดแบ่ง ได้จากวิธีของ Otsu ซึ่งอิสโตแกรมที่ใช้ได้จากการทั้งภาพหลังจากนั้นจะแยกภาพออกเป็นส่วนๆ ด้วยเทคนิคเทสโอลด์อีกครั้ง และค่าขีดแบ่ง ได้จากวิธีของ Otsu แต่อิสโตแกรมที่ใช้คิดเฉพาะที่เป็นแท่งโครโนม ดังภาพประกอบ 4-2



ภาพประกอบ 4-2 ตัวอย่างการแยกภาพเป็นส่วนๆ

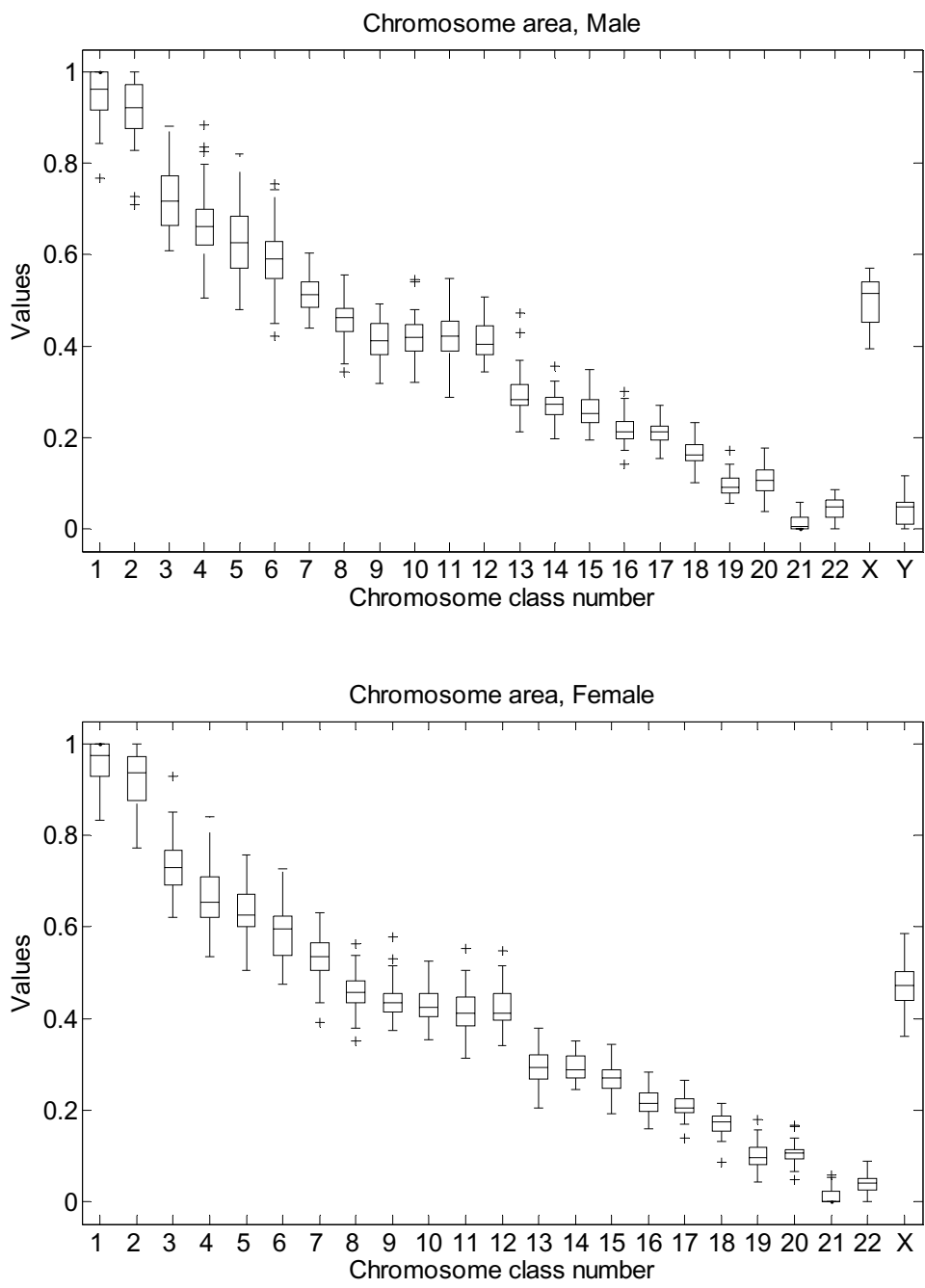
## 4.3 ผลของการเลือกลักษณะเด่น

ขั้นตอนนี้เป็นการหาลักษณะเด่นของโครโนมทั้ง 24 ประเภท (ออโตโซม 22 คู่ และโครโนม X และ Y) โดยลักษณะเด่นที่เลือกใช้มี 5 ชนิด คือ พื้นที่ภาพโครโนม, พื้นที่แบบลายโครโนม, ความยาวเส้นรอบรูปโครโนม, ค่าสูงสุดของ Singular value จากวิธี Singular Value Decomposition (SVD) และ Band profile

ลักษณะเด่นที่เป็นพื้นที่ภาพโครโนม, พื้นที่แบบลายโครโนม, ความยาวเส้นรอบรูปโครโนม, และค่าสูงสุดของ Singular value จะแสดงข้อมูลเป็นกราฟทางสถิติเพื่อพิจารณาว่า โครโนมแต่ละประเภทจะมีข้อมูลของลักษณะเด่นแต่ละอย่างอยู่ในช่วงใด ส่วน Band profile จะแสดงเป็นตัวแทนของแบบลายโครโนม

- พื้นที่ภาพโครโนโซม

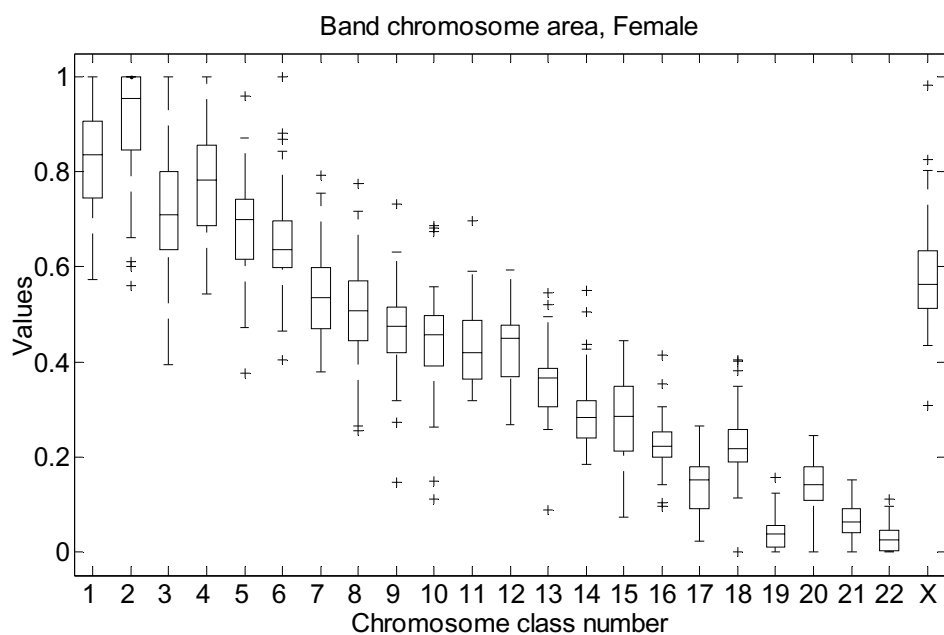
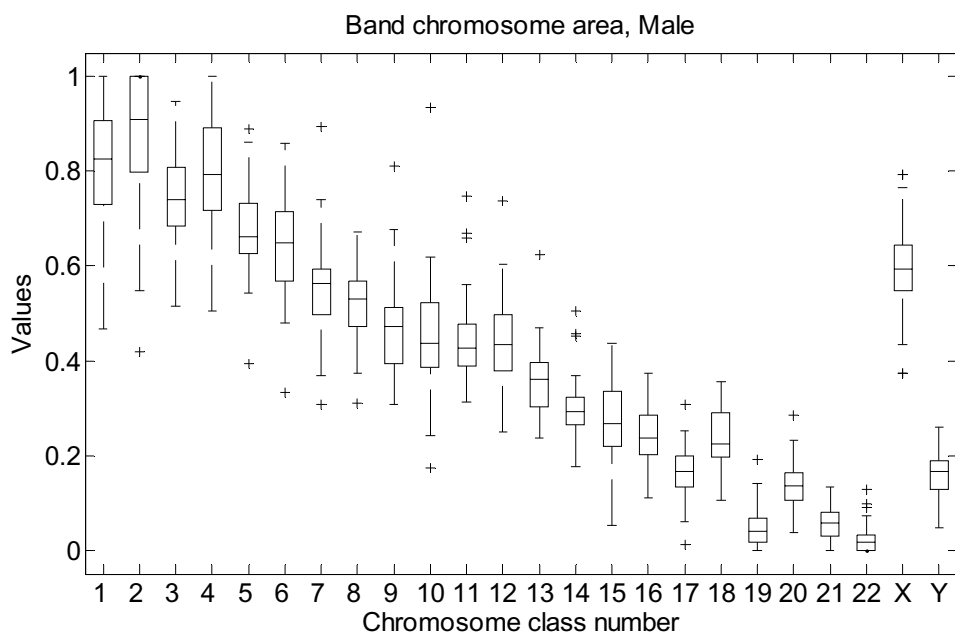
พื้นที่ภาพโครโนโซม ได้จากขนาดใหญ่ไปทางเล็กจากคู่ที่ 1 จนถึงคู่ที่ 22 แต่โครโนโซม X จะอยู่ในช่วงประมาณกึ่งกลางของข้อมูล และโครโนโซม Y มีขนาดที่เล็กที่สุด ดังภาพประกอบ 4-3



ภาพประกอบ 4-3 ข้อมูลสถิติของพื้นที่ภาพโครโนโซมทั้งชายและหญิง

- พื้นที่แอบลายโครโนโซม

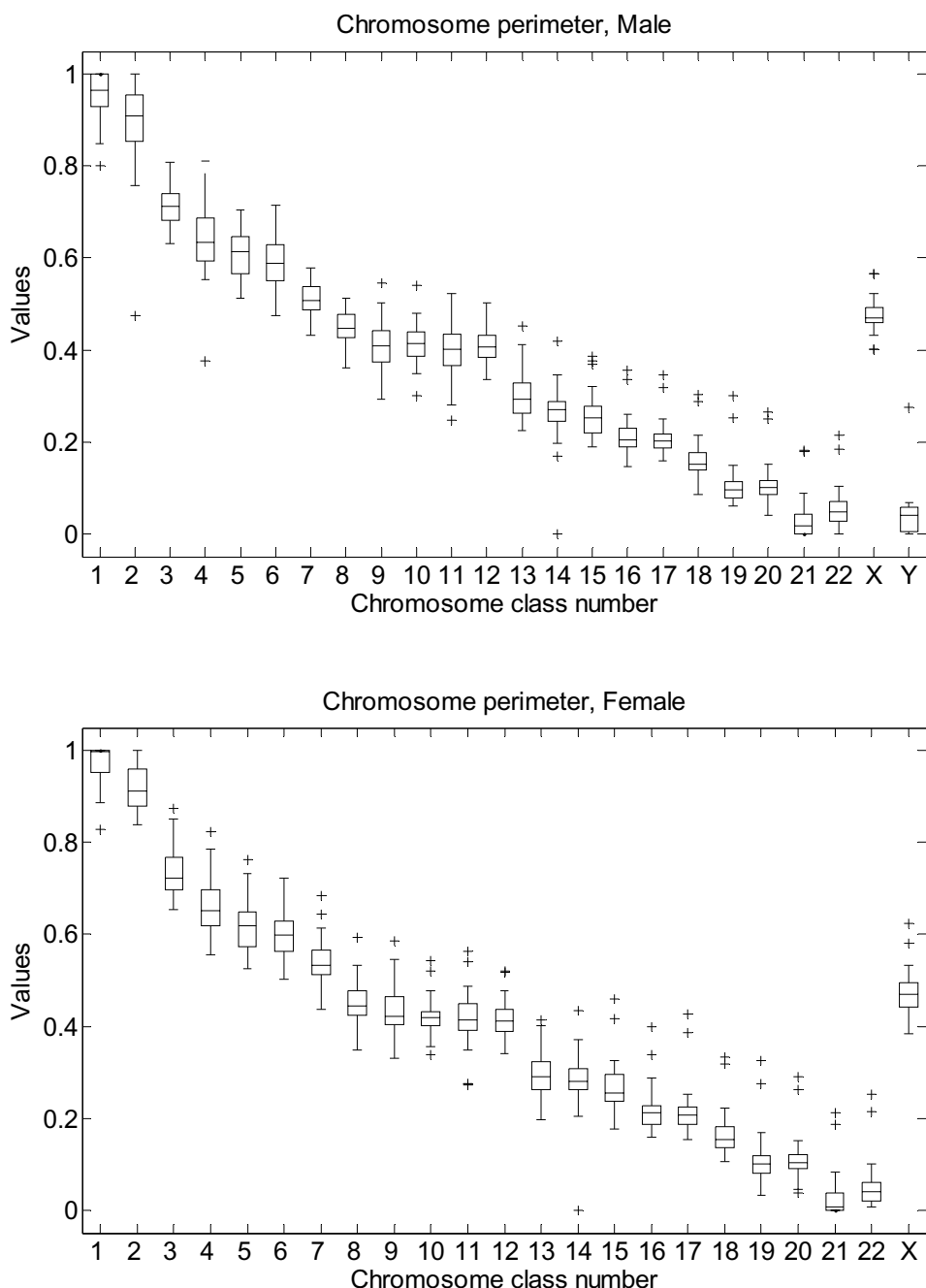
พื้นที่แอบลายโครโนโซมไม่ค่อยเรียงเป็นลำดับ แต่สามารถที่จะแบ่งชุดข้อมูลได้เมื่อเปรียบเทียบกับชุดข้อมูลของพื้นที่แอบลายโครโนโซม เช่น กลุ่มข้อมูลโครโนโซมคู่ที่ 19 และ 20 ดังภาพประกอบ 4-4



ภาพประกอบ 4-4 ข้อมูลสถิติของพื้นที่แอบลายภาพโครโนโซมทั้งชายและหญิง

### ● ความยาวเส้นรอบรูป

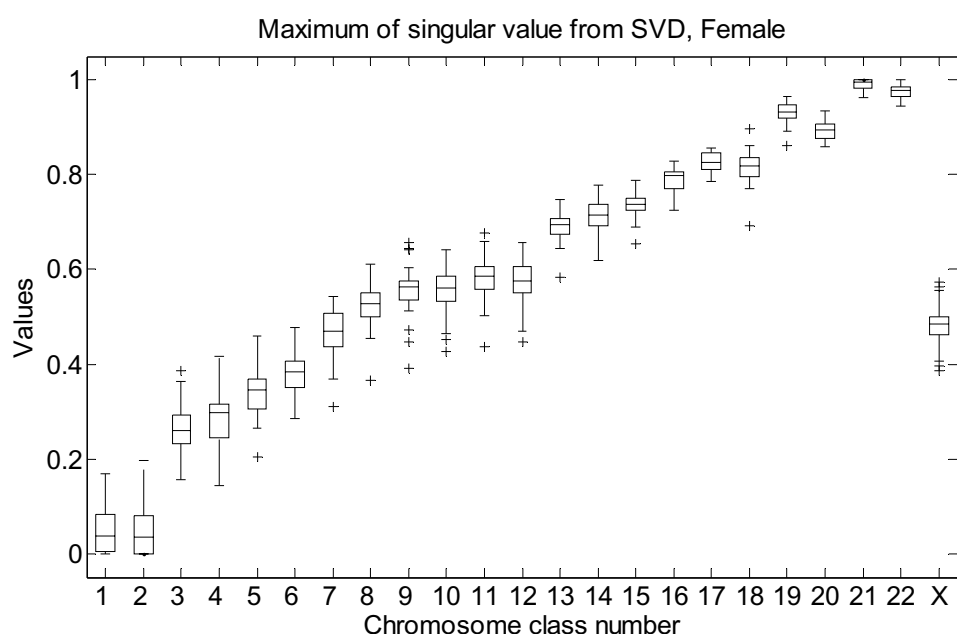
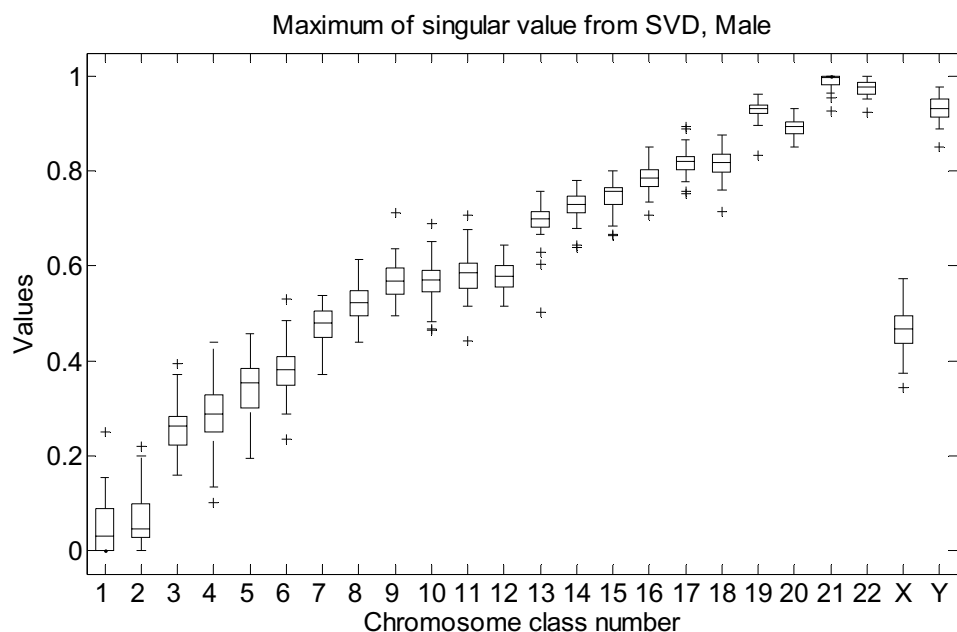
ความยาวเส้นรอบรูปของภาพโครโนโซมไม่จากขนาดใหญ่ไปหาเล็กจากคู่ที่ 1 จนถึงคู่ที่ 22 แต่โครโนโซม X จะอยู่ในช่วงประมาณกึ่งกลางของข้อมูล และโครโนโซม Y มีขนาดที่เล็กที่สุด ซึ่งผลที่ได้มีแนวโน้มเดียวกับพื้นที่ภาพโครโนโซม ดังภาพประกอบ 4-5



ภาพประกอบ 4-5 ข้อมูลสถิติของความยาวเส้นรอบรูปภาพโครโนโซมทั้งชายและหญิง

- Singular value decomposition

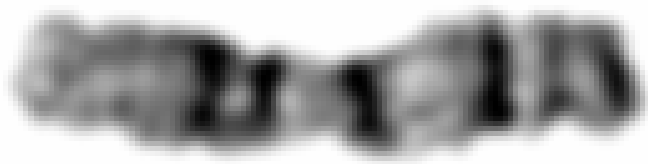
ค่าสูงสุดของ Singular value จากวิธี SVD ของภาพโครโน่โซมได้จากค่าคำคำำไปหาค่าสูงจากคู่ที่ 1 จนถึงคู่ที่ 22 แต่โครโน่โซม X จะอยู่ในช่วงประมาณกึ่งกลางของข้อมูล และโครโน่โซม Y มีค่ามากสุด ซึ่งผลที่ได้มีแนวโน้มตรงกันข้ามกับพื้นที่ภาพโครโน่โซม ดังภาพประกอบ 4-6



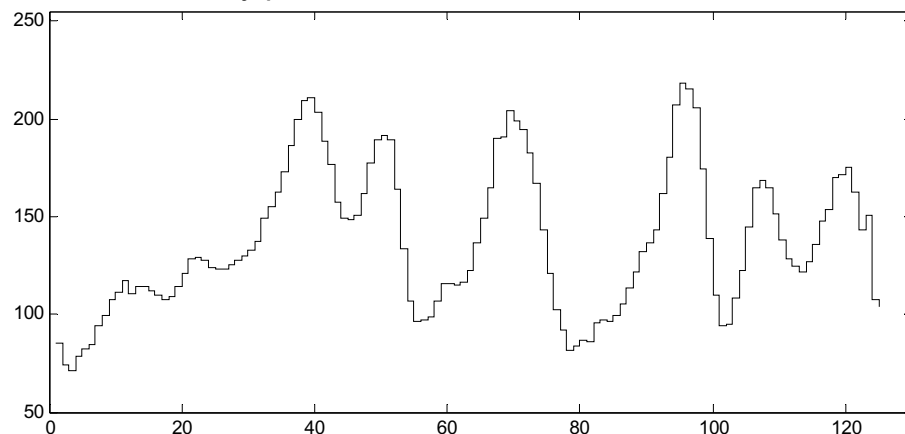
ภาพประกอบ 4-6 ข้อมูลสถิติของค่าสูงสุดของ Singular value ของภาพโครโน่โซมทั้งชายและหญิง

- **Band profile**

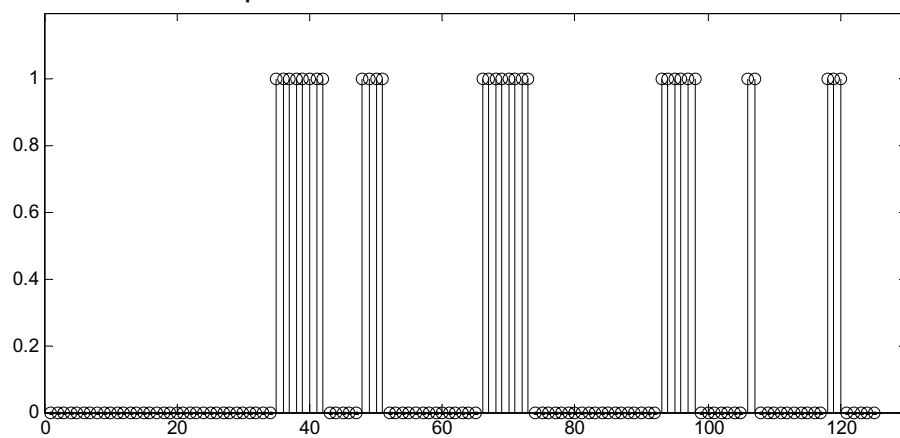
ภาพประกอบ 4-7 แสดงตัวอย่างการหา Density profile และ Band profile จากโครโนโซมคู่ที่ 1 ซึ่งผลที่ได้ใกล้เคียงกับลักษณะแถบลายของโครโนโซม และขั้นตัวอย่าง Band profile ที่ 10, 30, 50 และ 80 ตัวอย่าง ดังภาพประกอบ 4-8



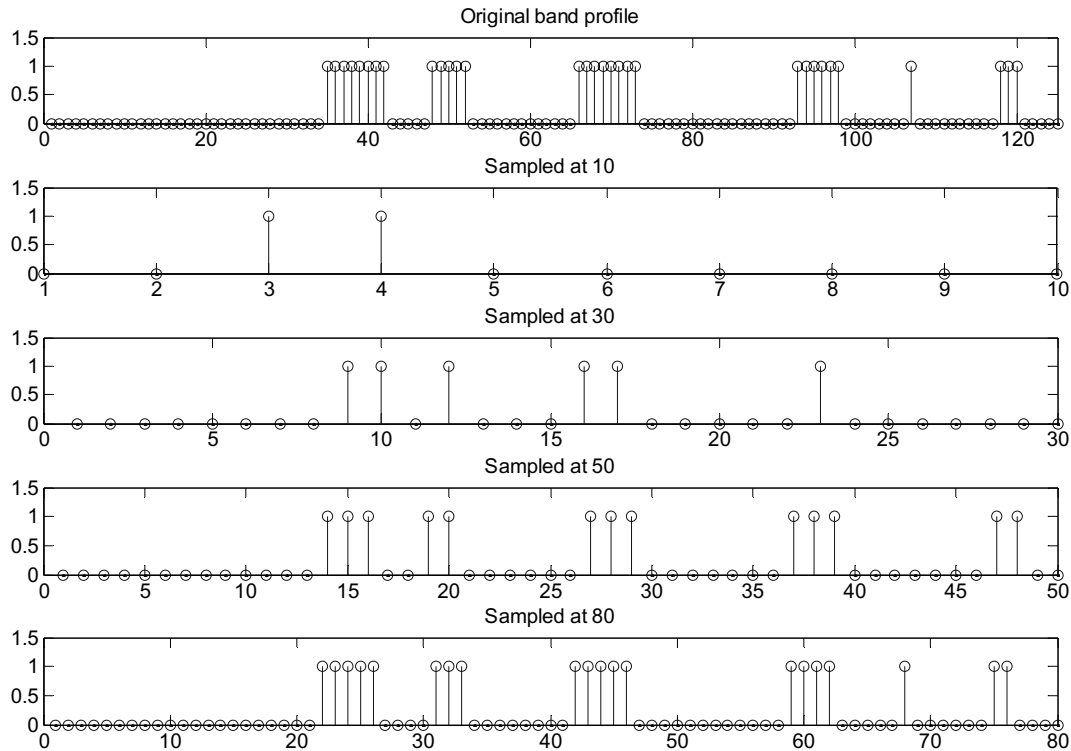
Density profile of Chromosome class number 1



Band profile of Chromosome class number 1



ภาพประกอบ 4-7 Density profile และ Band profile ของโครโนโซมคู่ 1



ภาพประกอบ 4-8 การซักตัวอย่าง Band profile ที่ 10, 30, 50 และ 80 ตัวอย่าง

#### 4.4 ผลของการจัดกลุ่มภาพ

ประสิทธิภาพของโครงข่ายประสาทเทียนของการจัดกลุ่มชั้นแรกของชายและหญิง คือ 92.39% และ 89.49% ตามลำดับ (การจัดกลุ่มภาพชั้นแรกไม่มีการซักตัวอย่างจาก Density profile ดังนั้นประสิทธิภาพของชั้นแรกจะเท่ากันหมด)

ผลการจัดกลุ่มของชั้นที่ 2 (Final result) พบว่าประสิทธิภาพดีที่สุด คือ 68.19% (สำหรับเพศหญิง เมื่อซักตัวอย่างมา 30 ตัวอย่าง) และ 61.30% (สำหรับเพศชาย เมื่อซักตัวอย่างมา 50 ตัวอย่าง) ดังตารางที่ 4-1

จำนวนการซักตัวอย่างมีผลต่อการจัดกลุ่มภาพซึ่งจากการทดลอง เมื่อซักตัวอย่างเป็น 10 และ 80 ตัวอย่างพบว่า ประสิทธิภาพเริ่มลดลง ซึ่งอาจเป็นเพราะจำนวนการซักตัวอย่างที่มากหรือน้อยเกินไป

เวลาที่ใช้ประมวลผลจะเพิ่มขึ้นเมื่อจำนวนการซักตัวอย่างเพิ่มขึ้น (ซึ่งส่งผลให้อินพุตของโครงข่ายประสาทเทียนมากขึ้น) แต่ไม่ส่งผลกระทบมากนักเนื่องจากช่วงเวลาต่างกันน้อยมาก

การจัดกลุ่มภาพโครโนไชมของเพศหญิงสูงกว่าเพศชายเนื่องจากจำนวนประเภทของโครโนไชมของเพศชายมากกว่าเพศหญิง (เพศหญิงมี 23 ประเภทแต่เพศชายมี 24 ประเภท)

เมื่อพิจารณาประสิทธิภาพของการจัดกลุ่มภาพทั้ง 6 กลุ่ม โดยเปรียบเทียบรายละเอียดต่างๆ (Real) และ ไม่คิดการจัดกลุ่มที่ความผิดพลาดจากขั้นแรก (Ignore) ดังตารางที่ 4-2

เนื่องจากเมื่อพิจารณาประสิทธิภาพจากตารางประกอบ 4-1 พบว่าการซักตัวอย่างที่ค่า 30 และ 50 ตัวอย่างเป็นค่าที่ให้ประสิทธิภาพดี และเอาข้อมูลที่เกี่ยวข้องจากตารางประกอบ 4-2 มาพิจารณาดังตารางประกอบ 4-3 และตารางประกอบ 4-4

เมื่อซักตัวอย่างจาก Band profile ที่ 30 ตัวอย่าง ประสิทธิภาพของการจัดกลุ่มภาพโครโนไชมของ Classifier G1, G4 และ G5 มีประสิทธิภาพดี และ Classifier G2, G3 ค่อนข้างดี แต่ Classifier G6 มีประสิทธิภาพของการจัดกลุ่มค่อนข้างต่ำ ดังตารางประกอบ 4-3

เมื่อซักตัวอย่างจาก Band profile ที่ 50 ตัวอย่าง ประสิทธิภาพของการจัดกลุ่มภาพโครโนไชมของ Classifier G1, G4 และ G5 มีประสิทธิภาพของการจัดกลุ่มดี (ยกเว้น Classifier G1 เมื่อใช้กับเพศชาย ค่าที่ได้อบูญในกลุ่มค่อนข้างดี) และ Classifier G2, G3 ค่อนข้างดี แต่ Classifier G6 มีประสิทธิภาพของการจัดกลุ่มค่อนข้างต่ำ ดังตารางประกอบ 4-4

ผลที่ได้จากการประกอบ 4-3 และตารางประกอบ 4-4 มีแนวโน้มค่อนข้างไปทางเดียวกัน เดียวกันทั้งเพศชายและหญิง คือเมื่อซักตัวอย่าง Band profile ที่ 30 ตัวอย่าง Classifier G1 จะให้ประสิทธิภาพที่ดีกว่าซักตัวอย่าง Band profile ที่ 50 ตัวอย่าง แต่เมื่อพิจารณา Classifier G2 และ G3 พบว่าควรซักตัวอย่าง Band profile ที่ 50 ตัวอย่าง จะให้ประสิทธิภาพที่ดีกว่าซักตัวอย่าง Band profile ที่ 30 ตัวอย่าง ส่วน Classifier G4, G5 และ G6 ยังไม่ชัดเจนว่าการซักตัวอย่างที่ค่าใดจะดีกว่ากัน ดังภาพประกอบ 4-9

ตารางประกอบ 4-1 ประสิทธิภาพของการจัดกลุ่มภาพโครโนไชม

Density profile (sample number)	Female		Male		Time (second)	
	Efficiency (%)		Time (second)	Efficiency (%)		
	1st classifier	2nd classifier		1st classifier	2nd classifier	
10	92.39	57.68	3.53	89.49	52.75	3.58
30	92.39	68.19	3.54	89.49	60.29	3.58
50	92.39	67.03	3.55	89.49	61.30	3.59
80	92.39	53.48	3.57	89.49	48.04	3.60

ตารางประกอบ 4-2 ประสิทธิภาพของการจัดกลุ่มภาพโคลร์โนโชเมื่อชั้นที่ 2

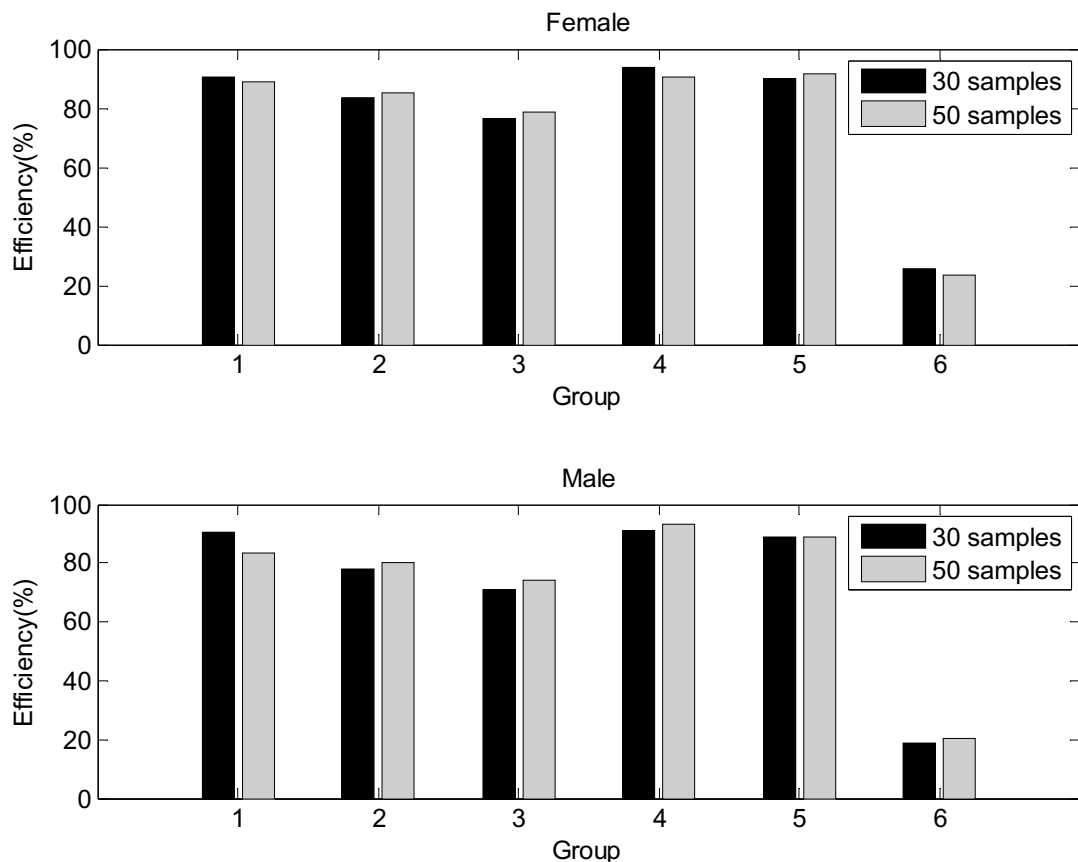
Density profile (sample number)	Group	Efficiency, Female (%)		Efficiency, Male (%)	
		(Real)	(Ignore)	(Real)	(Ignore)
10	1	83.33	84.03	79.17	82.61
	2	57.08	61.43	48.33	54.46
	3	62.14	64.29	54.10	55.82
	4	75.56	82.93	68.89	86.11
	5	71.67	92.14	65.56	92.19
	6	20.83	22.22	30.00	31.27
30	1	90.00	90.76	86.67	90.43
	2	77.50	83.41	69.17	77.93
	3	74.05	76.60	68.72	70.90
	4	84.44	93.83	72.78	90.97
	5	70.00	90.00	63.33	89.06
	6	24.17	25.78	18.15	18.92
50	1	88.33	89.08	80.00	83.48
	2	79.17	85.20	71.25	80.28
	3	75.95	78.38	72.05	74.34
	4	81.67	90.74	74.44	93.06
	5	71.11	91.43	63.33	89.06
	6	22.08	23.56	19.63	20.62
80	1	55.00	55.00	58.33	60.87
	2	50.42	54.26	42.08	47.42
	3	60.95	63.05	59.23	61.11
	4	67.78	75.31	57.22	71.53
	5	64.44	82.86	57.22	80.47
	6	24.17	25.78	19.63	20.54

ตารางประกอบ 4-3 ประสิทธิภาพของการจัดกลุ่มภาพในชั้นที่ 2 เมื่อชักตัวอย่าง Band profile ที่ 30

Group	Female		Male	
	(Real)	(Ignore)	(Real)	(Ignore)
1	90.00	90.76	86.67	90.43
2	77.50	83.41	69.17	77.93
3	74.05	76.60	68.72	70.90
4	84.44	93.83	72.78	90.97
5	70.00	90.00	63.33	89.06
6	24.17	25.78	18.15	18.92

ตารางประกอบ 4-4 ประสิทธิภาพของการจัดกลุ่มภาพในชั้นที่ 2 เมื่อชักตัวอย่าง Band profile ที่ 50

Group	Female		Male	
	(Real)	(Ignore)	(Real)	(Ignore)
1	88.33	89.08	80.00	83.48
2	79.17	85.20	71.25	80.28
3	75.95	78.38	72.05	74.34
4	81.67	90.74	74.44	93.06
5	71.11	91.43	63.33	89.06
6	22.08	23.56	19.63	20.62



ภาพประกอบ 4-9 ประสิทธิภาพของการจัดกลุ่มภาพโคร โนโนซึโดยแยกแบ่งเป็น 6 กลุ่ม เมื่อเปรียบเทียบการซักตัวอย่างจาก Band profile จำนวน 30 และ 50 ตัวอย่าง ทั้งเพศชายและหญิง

## บทที่ 5

### บทสรุปและข้อเสนอแนะ

ในบทนี้ กล่าวถึงบทสรุปของการวิจัยและข้อเสนอแนะสำหรับผู้ต้องการนำงานวิจัยนี้ไปอ้างอิงหรือพัฒนาต่อ ดังรายละเอียดต่อไปนี้

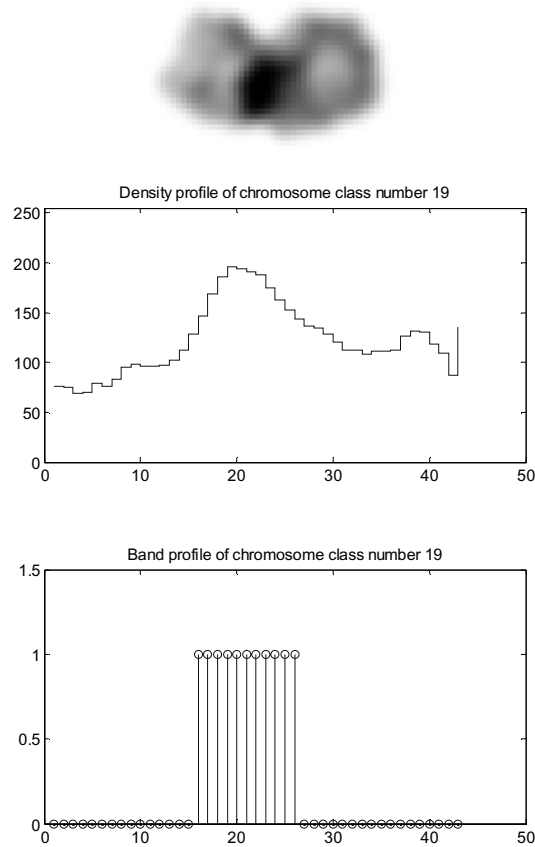
#### 5.1 บทสรุป

การแบ่งกลุ่มภาพโครโนไซมเป็นกลุ่มย่อยในชั้นแรก ก่อนใช้โครงข่ายประสาทเทียมในการจัดเรียงกลุ่มภาพโครโนไซมออกเป็น 24 ประเภท เพื่อเพิ่มประสิทธิภาพให้กับโครงข่ายประสาทเทียม โดยการแบ่งตามลักษณะเด่นอย่างคร่าวๆ ก่อน เพื่อลดกลุ่มของการจัดให้คล่อง ซึ่งลักษณะเด่นที่ใช้คือ พื้นที่ของภาพโครโนไซม พื้นที่ของแอบลายภาพโครโนไซม ความยาวของเส้นรอบรูป และค่าสูงสุดจาก Singular value แต่โครโนไซมที่จัดผิดกลุ่มในชั้นแรกไม่ได้ถูกนำไปจัดกลุ่มที่ถูกต้อง ซึ่งส่วนใหญ่ความผิดพลาดของการจัดกลุ่มภาพโครโนไซมเกิดจากข้อมูลของภาพโครโนไซมเอง เช่น การข้อมูลของแอบลายโครโนไซม หรือจุดที่ซ้อนทับกันของโครโนไซม 2 แห่งขึ้นไป หรือองค์ประกอบตัวเอง ทำให้รายละเอียดของภาพไม่ชัดเจนหรือเสียหาย หรือในกรณีลักษณะของภาพโครโนไซมที่อยู่ในประเภทเดียวกันก็มีข้อมูลที่แตกต่างกันถึงแม้ว่าจะมาจากการเดียวกันก็ตาม แต่ก็แก้ไขโดยการปรับข้อมูลให้อยู่ในรูปแบบเดียวกัน แต่ยังพบปัญหาในส่วนของแอบลายโครโนไซม คือจำนวนข้อมูลและแบบของโครโนไซมไม่เท่ากัน ดังนั้นจึงชักตัวอย่างข้อมูลมาเพื่อลดจำนวนข้อมูลและปรับให้เท่ากันและเนื่องจากจำนวนประเภทของเพศหญิงน้อยกว่าเพศชายจึงทำให้ประสิทธิภาพของการจัดกลุ่มของเพศหญิงดีกว่าเพศชาย

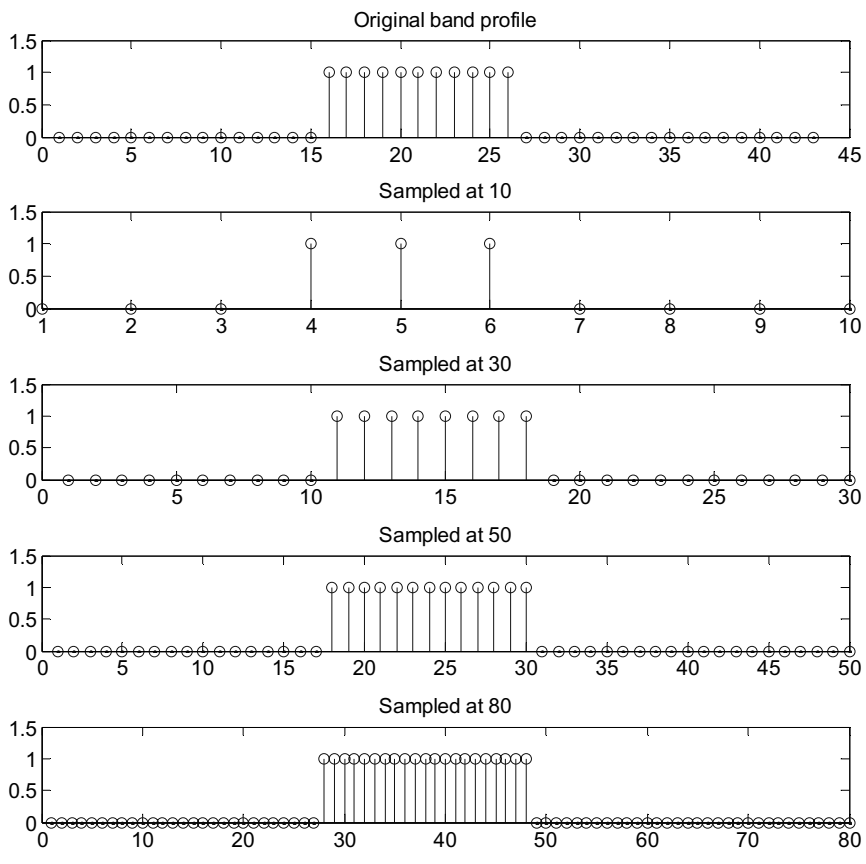
ประสิทธิภาพของการแบ่งกลุ่มภาพโครโนไซมทั้ง 6 กลุ่มย่อย พบว่าหากชักตัวอย่างมากเกินหรือน้อยเกินไปก็ส่งผลต่อประสิทธิภาพ ซึ่งการทดลองได้ผลดีจากการชักตัวอย่างที่ 30 และ 50 ตัวอย่าง โดยที่จำนวนการชักตัวอย่างของแต่ละกลุ่มอยู่ที่ 1 ครัวชักตัวอย่างที่ 50 ตัวอย่าง แต่ภาพโครโนไซมกลุ่มที่ 2 และ 3 ครัวชักตัวอย่างที่ 30 ตัวอย่าง แต่กลุ่มที่ 4, 5 และ 6 ยังไม่สามารถระบุให้ชัดเจนได้ดังนั้น หากเปลี่ยนโครงสร้างของโปรแกรมโดยใช้จำนวนการชักตัวอย่างที่เหมาะสมกับภาพโครโนไซมแต่ละกลุ่ม อาจทำให้ประสิทธิภาพของการจัดกลุ่มภาพโดยรวมเพิ่มขึ้นอย่างไรก็ตาม

ข้อมูลที่ได้นี้ เป็นผลจากการทดลองจากภาพทั้งหมด 60 ภาพและลักษณะเด่นดังที่กล่าวมาข้างต้น ซึ่งหากมีการเปลี่ยนแปลงส่วนใดส่วนหนึ่ง ผลที่ได้อาจมีการเปลี่ยนแปลง

เมื่อลองพิจารณากรุ่น 6 พบว่าโครโนไซม์ที่จัดอยู่ในกรุ่นนี้ มีความยาวค่าข้างสั้นสีสักน้ำเงิน และลักษณะของแถบลายค่อนข้างต่างกันมากเมื่อเปรียบเทียบกับภาพที่มีรูปแบบใกล้เคียงกัน ซึ่งในส่วนที่มีความยาวที่สั้นเกินไปได้ทำการสร้างค่าจำลองขึ้นมาใหม่คล้ายๆ กับการทำอินเตอร์โพเลต เพื่อให้ความยาวของข้อมูลมีความยาวที่เท่ากันของแต่ละชุดข้อมูล ซึ่งวิธีนี้ดีกว่าการเติมค่าศูนย์ (Zero padding) เนื่องจากหากเติมศูนย์เพิ่มไปในชุดข้อมูลจะมีผลเหมือนกับเพิ่มส่วนของโครโนไซม์ที่ข้อมูลไม่ติดดังภาพประกอบ 5-1 และภาพประกอบ 5-2 และเมื่อพิจารณาในส่วนของแถบลายพบว่า แถบลายของโครโนไซม์กรุ่นที่ 6 นี้ ลักษณะมีความน้อยแต่เมื่อเทียบความยาวให้เท่ากัน แถบลายของโครโนไซม์กรุ่น 6 นี้ จะกว้างมาก ดังนั้นหากลักษณะของแถบลายของโครโนไซม์กรุ่นนี้ มีความยาวหรือตำแหน่งของแถบลาย (หลังการปรับชุดข้อมูล) ต่างกันเพียงไม่กี่พิกเซลก็อาจมีผลต่อรูปแบบที่ใช้สอนและทดสอบเมื่อใช้โครงข่ายประสาทเทียมได้



ภาพประกอบ 5-1 Density profile และ Band profile ของโครโนไซม์ที่ 19

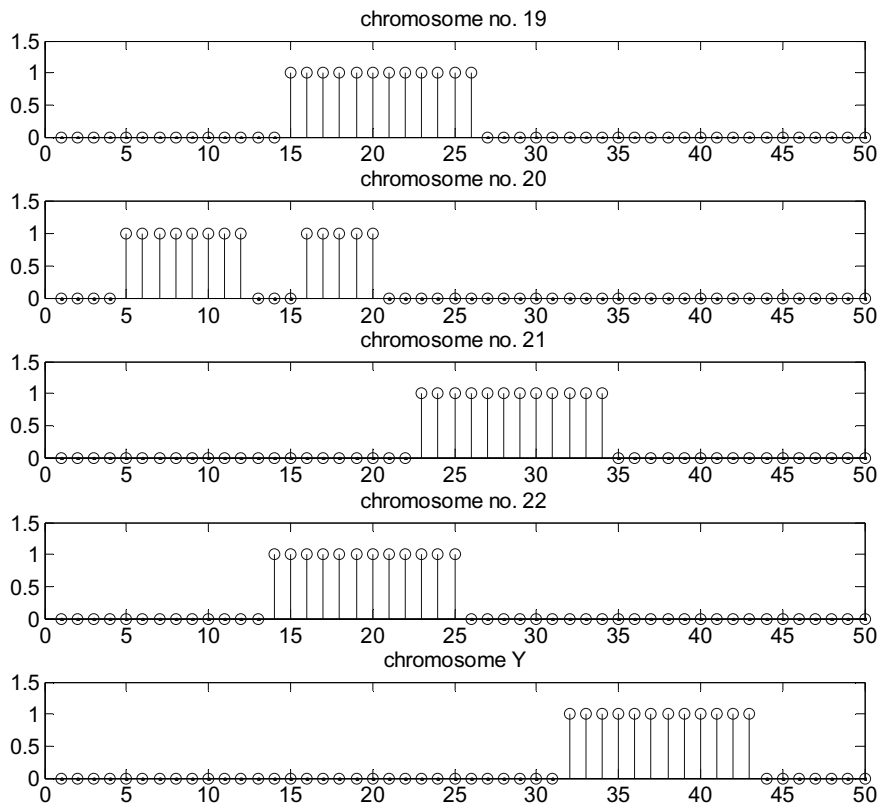


ภาพประกอบ 5-2 การซักตัวอย่าง Band profile ที่ 10, 30, 50 และ 80 ตัวอย่าง

เมื่อลองพิจารณากลุ่ม 6 โดยเปรียบเทียบในกลุ่มเดียวกัน รูปภาพของโครโมโซมแต่ละแท่ง และลักษณะของ Band profile ค่อนข้างใกล้เคียงกัน ดังภาพประกอบ 5-3 และ ภาพประกอบ 5-4



ภาพประกอบ 5-3 ตัวอย่างภาพโครโนโซมที่ 19, 20, 21, 22 และโครโนโซม Y



ภาพประกอบ 5-4 ตัวอย่างการชักตัวอย่าง Band profile ที่ 50 ตัวอย่างของ โครโนโซมคู่ที่ 19, 20, 21, 22 และ โครโนโซม Y

## 5.2 ข้อเสนอแนะ

ภาพ โครโนโซมที่ใช้สอนและทดสอบมีรายละเอียดของแบบลาย โครโนโซมและลักษณะของ โครโนโซมที่โครงสร้างเกินไป ซึ่งควรมีภาพ โครโนโซมซึ่งเป็นมาตรฐานเพื่อใช้ทดสอบที่ดีกว่านี้ แต่ก็ ค่อนข้างยากที่จะได้ภาพที่มีรายละเอียดดีพอ ดังนั้นเมื่อได้ภาพที่มีรายละเอียดชัดเจนควรเก็บข้อมูล ไว้เป็นฐานข้อมูล หรือสร้างไว้เป็นมาตรฐานสำหรับงานที่จะพัฒนาต่อในอนาคต

ภาพ โครโนโซมที่โครงสร้างเกินไปควรมีการปรับภาพ โครโนโซมให้ตรงและมีการพัฒนาการแยกภาพ โครโนโซมที่ซ้อนทับกันออกจากกันเพื่อให้ระบบคอมพิวเตอร์ช่วยเหลือนี้ มีความเป็นอัตโนมัติมากขึ้น

ลักษณะของแบบลาย โครโนโซมเป็นส่วนสำคัญของการจัดกลุ่มภาพ แต่ส่วนใหญ่พบว่าแบบลายของ โครโนโซมค่อนข้างต่างกันตามระดับการแบ่งชั้น แต่ก็ยังคงมีส่วนที่ใกล้เคียงบ้างดังนั้น

หากก่อนจัดกลุ่มภาพโครโน่ไซมใหเลือกจำนวนแอบลายตามระยะแบ่งเซลล์(ตามการประมาณ  
ผลรวมของจำนวนแอบลายทั้งหมดของภาพและพอดีเชต) อาจแบ่งเป็น 5 กลุ่ม (300, 400, 550,  
700 และ 850 แอบ) หลังจากนั้นจึงค่อยผ่านกระบวนการวิเคราะห์ภาพอาจเพิ่มประสิทธิภาพได้แต่  
ต้องมีตัวอย่างที่มากพอสำหรับเป็นฐานข้อมูลของโปรแกรม

## បររលាយក្រម

- [1] J. H. Tjio and A Levan, “The chromosome number in man”, *Hereditas* 42, 1956. pp. 1-6.
- [2] J. Piper, E. Granum, D. Rutovitz and H. Ruttledge, “Automation of chromosome analysis”, *Signal Process2*, 1980. pp. 203-221.
- [3] G. M. Hampton, et al., “subregional mapping of chromosome 4 in cervical carcinoma Sci. 93”, *Simultaneous assessment of loss of heterozygosity at multiple microsatellite loci using semi-automated florescence-based detection*, *Proc. Natl Acad.*, U.S.A., 1996. pp. 6704-6709.
- [4] K Truong, et al., “Quantitative fish determination of chromosome 3 arm imbalances in lung tumors by automated image cytometry”, *Med. Sci. Monit.* 10, 2004. pp. 426-432.
- [5] D. Boehm, et al. “Rapid detection of subtelomeric deletion/duplication by novel real-time quantitative PCR using SYBR-Green dye”, *Human Mutation* 23, 2004. pp. 368-378.
- [6] J. M. Kyan, L. Guan, R. M. Amison, and J. C. Cogswell. “Feature extraction of chromosomes from 3D confocal microscope images 1999” *Int. Conf. on Image processing Vol. 2*, 1999. pp. 24-28.
- [7] G. L. Shaff, N. Tommerup “An International system for human cytogenetic nomenclature (2005)”, S. Karger, Basel. 2005. pp. 6-31.
- [8] X. Wang, et al., “Development and evaluation of automated systems for detection and classification of banded chromosomes”, *current status and future perspectives*, *Journal of physics D: Applied physics*, 2005. pp. 2536-2542.
- [9] S. Delshadpour, “Reduced size multilayer perceptron neural network for human chromosome classification” *Proceedings of the 25<sup>th</sup> Annual International Conference of the IEEE EMBS*, Cancun, Mexico, September 17-21, 2003. pp. 2249-2252.
- [10] J. Cho, Y. S. Ryu, and H. S. Woo, “A study for the hierarchical artificial neural network model for giemsa stained human chromosome classification”, *Proceedings of the 26<sup>th</sup> Annual International Conference of the IEEE EMBS*, San Francisco, CA, U.S.A., September 1-5, 2004, 2004. pp. 4588-4591.
- [11] P. W. Sweeney Jr., T. M. Musavi, and N. J. Guidi, “Classification of chromosomes using a probabilistic neural network”, *Cytometry* 16, 1994. pp. 17-24.

- [12] A. M. BUDAWI, “Chromosomes classification based on neural networks, fuzzy rule based and template matching classifiers” *IEEE*, 2004. pp 383-387.
- [13] ภาควิชาจุลชีววิทยาคลินิก คณะเทคนิคการแพทย์ มหาวิทยาลัยเชียงใหม่, วิทยาการทันสมัยในการตรวจวินิจฉัยโรค โดยใช้คอมพิวเตอร์ 2539.
- [14] National Human Genome Research Institute (NHGRI). (2008, Nov.). *Chromosome Picture* [Online]. Available: <http://www.accessexcellence.org/RC/VL/GG/chromosome.php>
- [15] University of Washington, Department of Pathology. (2008, Nov.). *Idiogram Album : Human* [Online]. Available:  
<http://www.pathology.washington.edu/research/cytopages/idiograms/human/>
- [16] R. F. Graf, *Modern Dictionary of Electronics*, Oxford: Newnes, 1999. pp. 569.
- [17] A. McAndrew, “Introduction to Digital Image Processing with MATLAB”, Thomson Leaning, Inc., Massachusetts, USA, 2004. pp. 378-379.
- [18] The MathWorks<sup>TM</sup>. (2008, Oct.). *Image Processing Toolbox<sup>TM</sup> 6 User’s Guide* [Online]. Available:  
[http://www.mathworks.com/access/helpdesk/help/pdf\\_doc/images/images\\_tb.pdf](http://www.mathworks.com/access/helpdesk/help/pdf_doc/images/images_tb.pdf)
- [19] G. J. Awcock, and R. Thomas, *Applied Image Processing*, Singapore: McGraw-Hill, Inc., 1995.
- [20] M. Sonka, V. Hlavac, and R. Boyle, *Image Processing, Analysis, and Machine Vision, 3rd ed.*, Ontario: Thomson Leaning, 2008.
- [21] R. C. Gonzalez, and R. E. Woods, *Digital Image Processing, 2nd ed.*, New Jersey: Prentice-Hall, Inc., 2001.
- [22] Otsu, N. 1979. “A threshold selection method from gray-level histograms”, *IEEE Trans, Systems, Man and Cybernetics*, vol. 9, no. 1, pp. 62-66.
- [23] K. William, Pratt., *Digital Image Processing*, New York, John Wiley & Sons, Inc., 1991. pp. 634.
- [24] J. M. Conroy, et al., “Chromosome identification using hidden markov model: comparison with neural networks, singular value decomposition, principle component analysis, and fisher discriminant analysis”. *Laboratory Investigate, November, Vol. 80, No. 11*, 2000. pp. 1629-1641.

- [25] P. D. Wasserman., *Advanced methods in neural computing*, Van, Nostrand Reinhold, New York, 1993. pp. 35-55.
- [26] T. Masters., *Practical neural network recipes*, Wiley, New York, 1993. Chapter 12.
- [27] T. Masters., *Advanced algorithms for neural networks: A C++ Sourcebook*, Wiley, New York, 1995. Chapter 4.
- [28] M. T. Musavi., *Pattern Recogn.* 25, 1992. pp. 1241-1251.
- [29] D.F. Specht., *Neural networks 1.*, *IEEE Trans.*, 1990. pp.111-121.
- [30] D.F. Specht., *Probabilistic neural networks (original contribution)*, *Neural networks*, Vol. 3, No. 1, 1990. pp. 109-118.
- [31] The MathWorks<sup>TM</sup>. (2008, Oct.). *Neural Network Toolbox<sup>TM</sup> 6 User's Guide* [Online]. Available: [http://www.mathworks.com/access/helpdesk/help/pdf\\_doc/nnet/nnet.pdf](http://www.mathworks.com/access/helpdesk/help/pdf_doc/nnet/nnet.pdf)

ภาคผนวก

### ภาคผนวก ก

#### **Confusion matrix** ของการจัดกลุ่มภาพโครโนซิม

ตารางที่ ก-1 Confusion matrix ของจัดคุณภาพโพร์โนในองค์กรตามอัตราของ Density profile ที่ 10

ผลการวัดคุณภาพโครงร่างของพืชภูมิเมืองทั่วไป Density profile ที่ 10

ตารางที่ ก-3 Confusion matrix ของจัดคุณภาพโพร์โนชันของพารามิเตอร์ที่ต้องการ Density profile ที่ 30

ตารางที่ ก-4 Confusion matrix ของการจัดตั้งค่าพารามิเตอร์ของเครื่องตรวจวินัย Density profile ที่ 30

ตารางที่ ก-5 Confusion matrix ของภาระจัดคุณภาพ โคร์ม โปรแกรมคอมพิวเตอร์ กตัญญานิจ Density profile ที่ 50

ตารางที่ ก-6 Confusion matrix ของการจัดคุณภาพ โครโนม ของยาเสพติด ของยา Density profile ที่ 50

		Actual																																															
		1		2		3		4		5		6		7		8		9		10		11		12		13		14		15		16		17		18		19		20		21		22		23			
Predicted		den50F		1		2		3		4		5		6		7		8		9		10		11		12		13		14		15		16		17		18		19		20		21		22		23	
1	58	58	11	2	2	48																																											
2	2	2	48																																														
3	1	1	55	3	6	4	3																																										
4		2	47	2	1																																												
5		5	51	1	1																																												
6		1	4		41	3		1																																									
7		1		4	38	12	4	2																																									
8			1	1	10	40	7	1																																									
9				4	4	4	3	40																																									
10					3	2		1	53		2																																						
11					1			2	53	7																																							
12								4	3	45																																							
13																		43	1	6	10	4																											
14																			51	2	12	1																											
15																			1	3	3	46	5																										
16																				3	31		2	2	10																								
17																				1			50	2	3																								
18																				4		2	3	50																									
19																									47	32	58	36																					
20																									2	1	8	11																					
21																									4	11	7	2	12																				
22																									1																								
23																									4	5	2	4	10	1																			

ตารางที่ ก-7 Confusion matrix ของการจัดตั้งภาพโครร์โน่โดยของพืชชนิดตัวอย่าง Density profile ที่ 80

		Actual																											
		den80M	1	2	3	4	5	6	7	8	9	10	11	12	13	14	15	16	17	18	19	20	21	22	23	24			
Predicted		1	59	44	4																								
1	2	1	13																										
2	3	3	54	44	33	33	4																						
3	4	4		14																						4			
4	5	5	2	24	18																								
5	6	6			9																								
7	7	7	2	2		48	22	27	24	11	7	6	1	5											11				
8	8	8				3	32	10					1												1				
9	9	9				4	9	19				1	1												2				
10	10	10							34					2		1										1			
11	11	11								43	4																		
12	12	12	1		2	4	48																						
13	13	13			1	1	1				48	10	23	3	1														
14	14	14										35	1	2	2														
15	15	15										3	2	22	3														
16	16	16										1	4	8	26	12	6	2	6										
17	17	17											4		1	41	1	1	2						1				
18	18	18											2	1	4	1	36			1									
19	19	19														3	38	48	45	35									
20	20	20														1	1	3	2	2	25	9							
21	21	21																12	16	1	13		16						
22	22	22																		0	4								
23	23	23																		11									
24	24	24																							0				

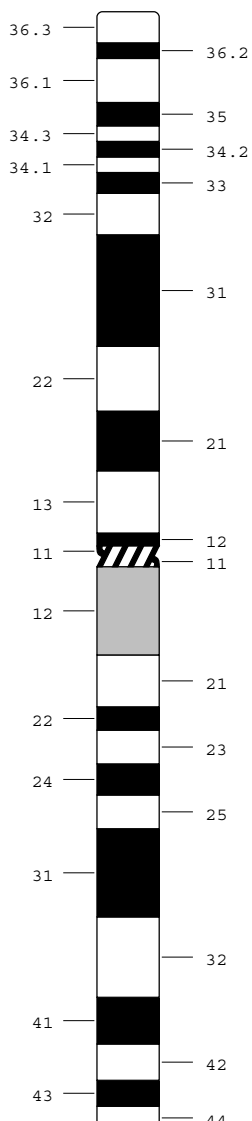
ตารางที่ ก-8 Confusion matrix ของการจัดตั้งภาร์โค้มซึ่งของแท้กับของปลอมที่วิเคราะห์โดย Density profile ที่ 80

ภาคผนวก ๘

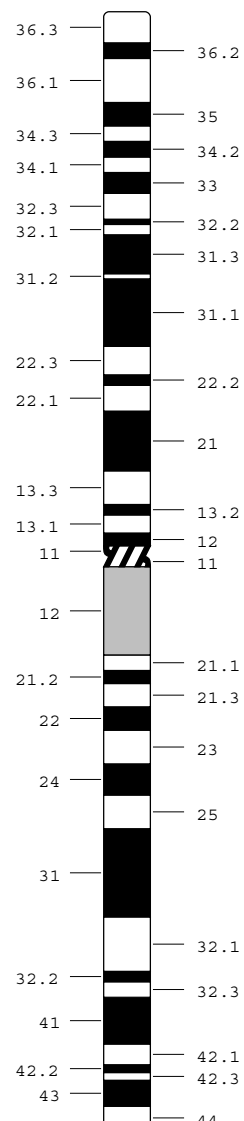
แผนภาพແຄນລາຍໂຄຣໂນໂໝມ

## CHROMOSOME 1

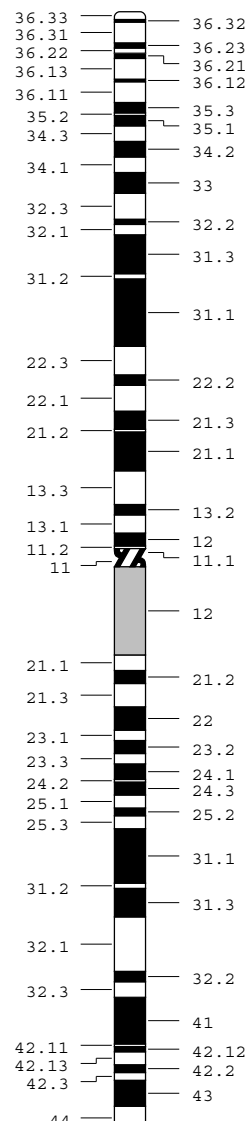
**400**



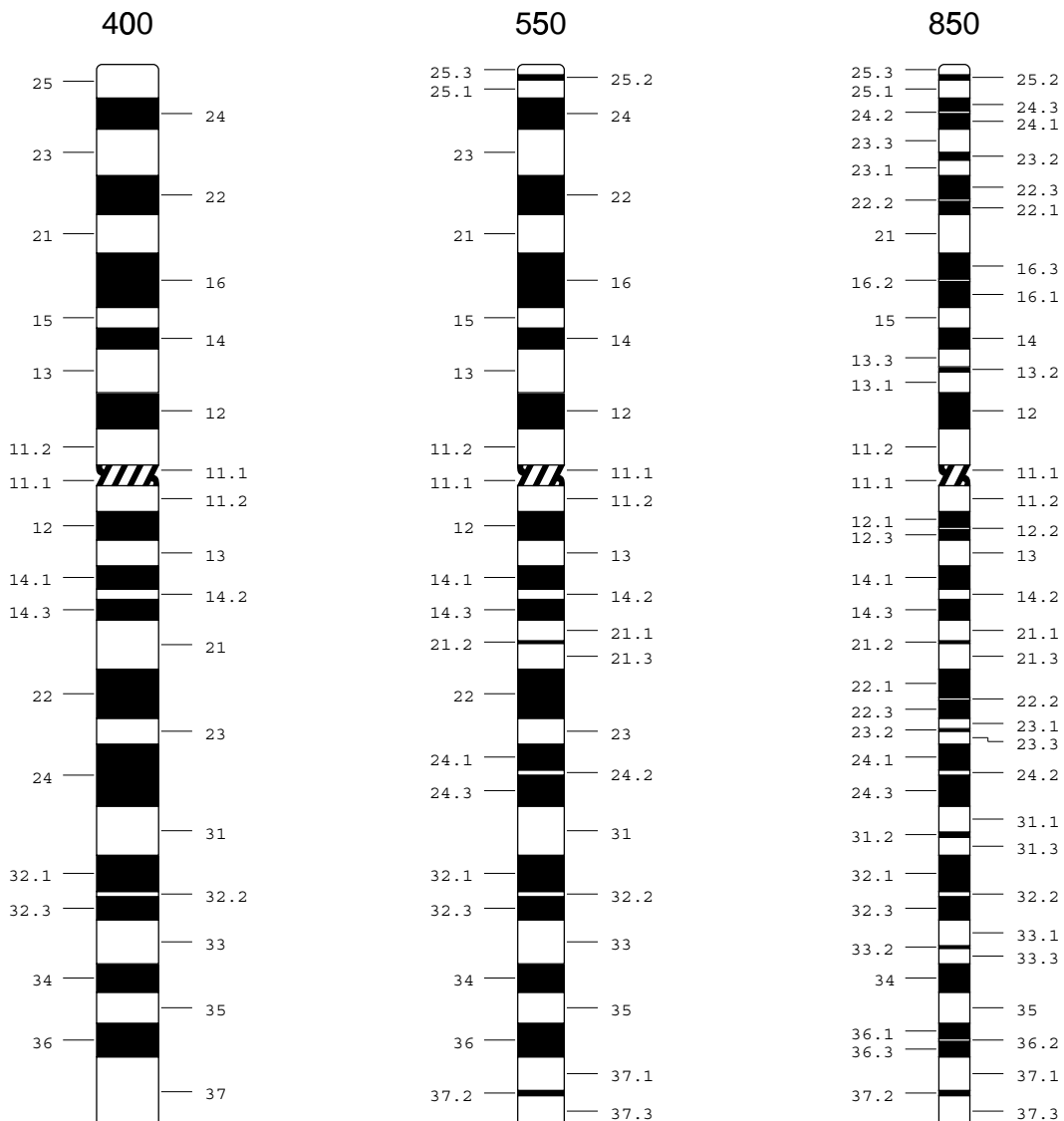
**550**



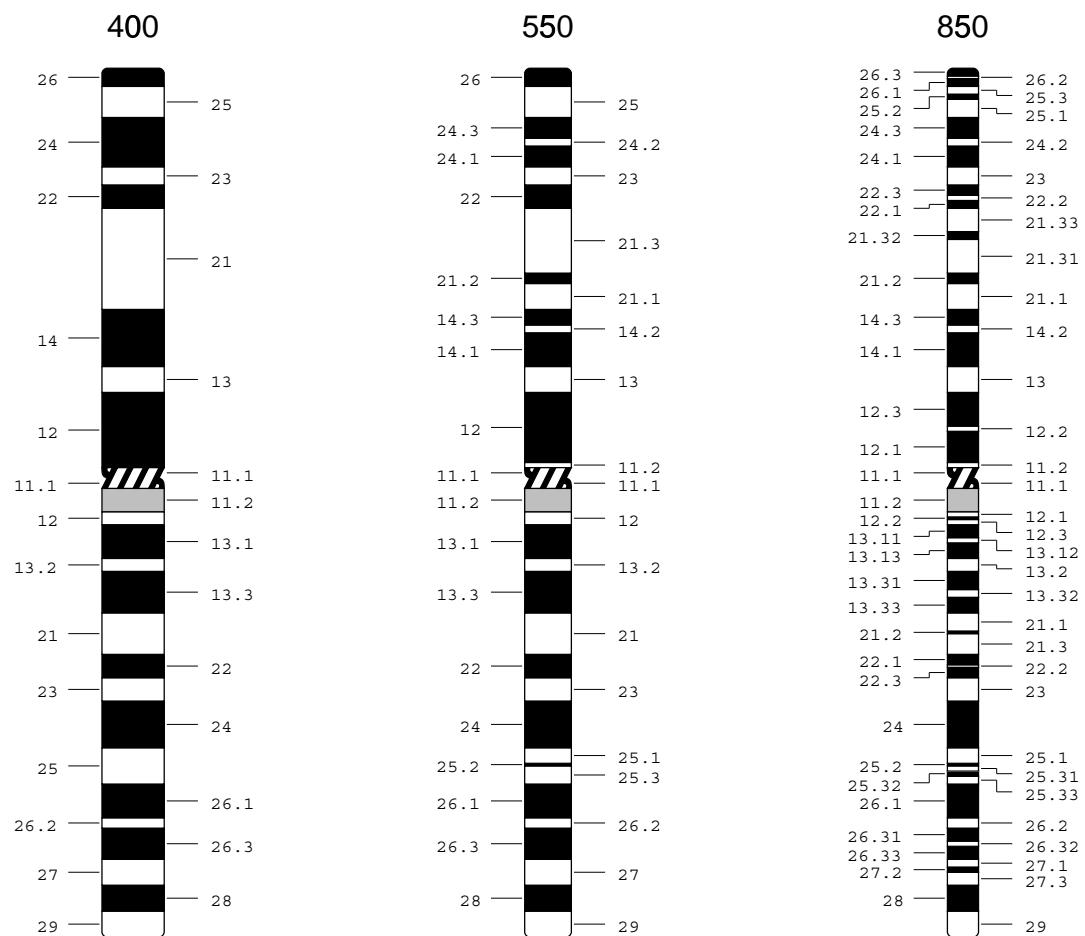
**850**



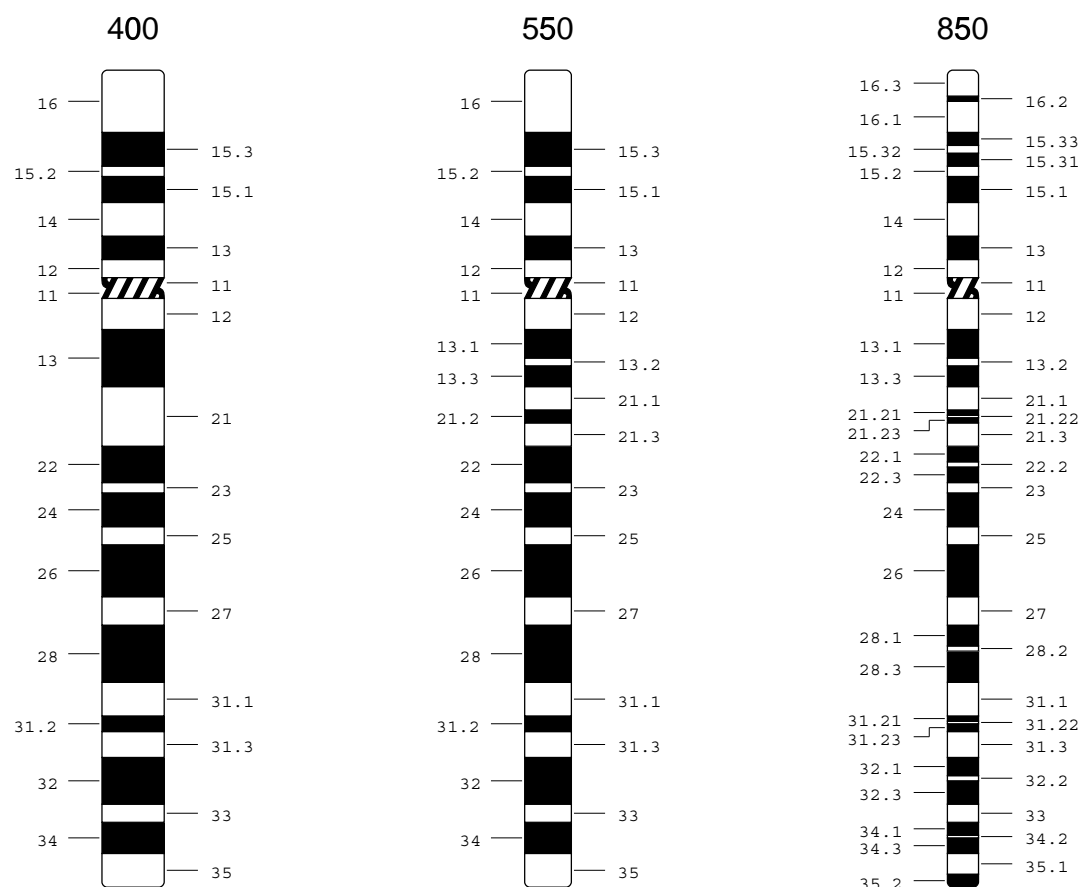
## CHROMOSOME 2



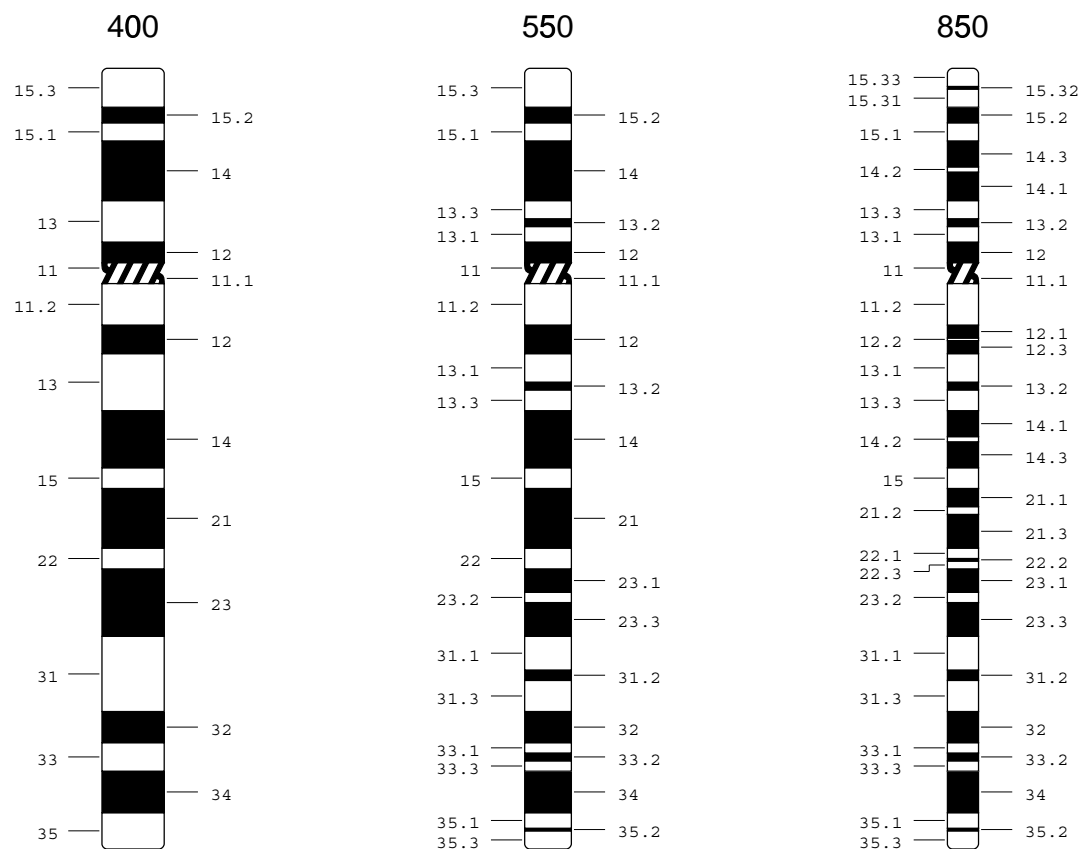
### CHROMOSOME 3



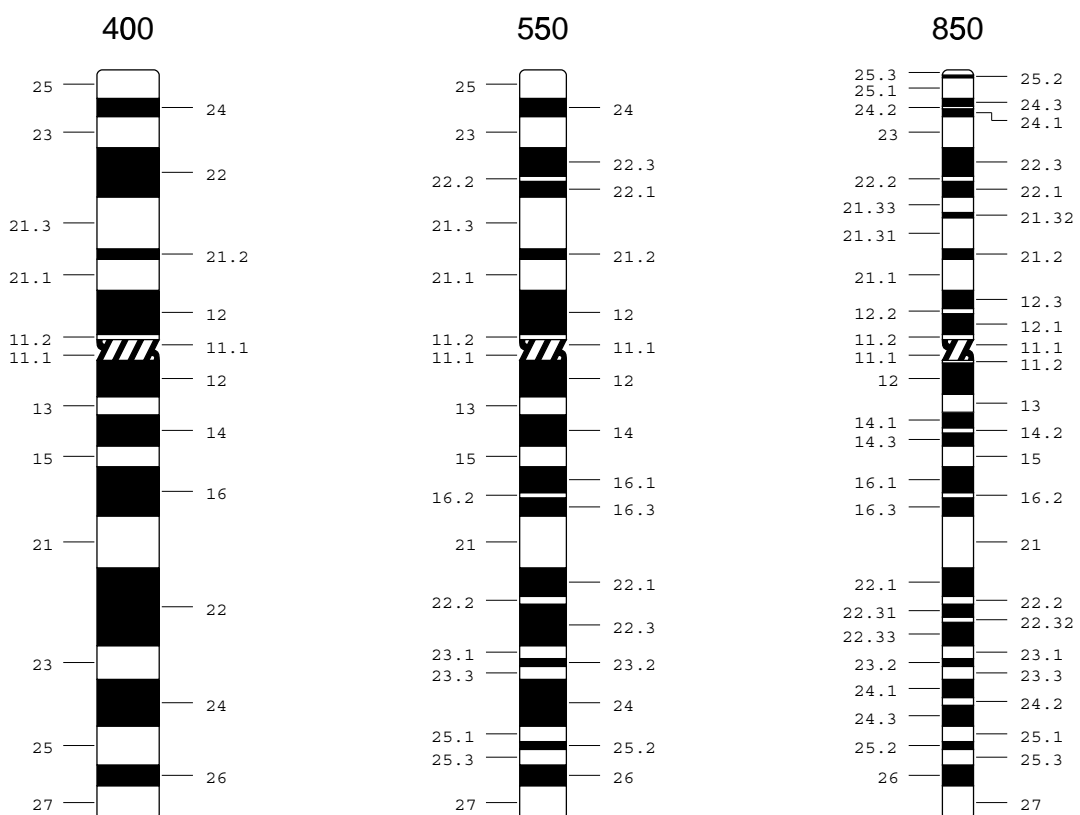
## CHROMOSOME 4



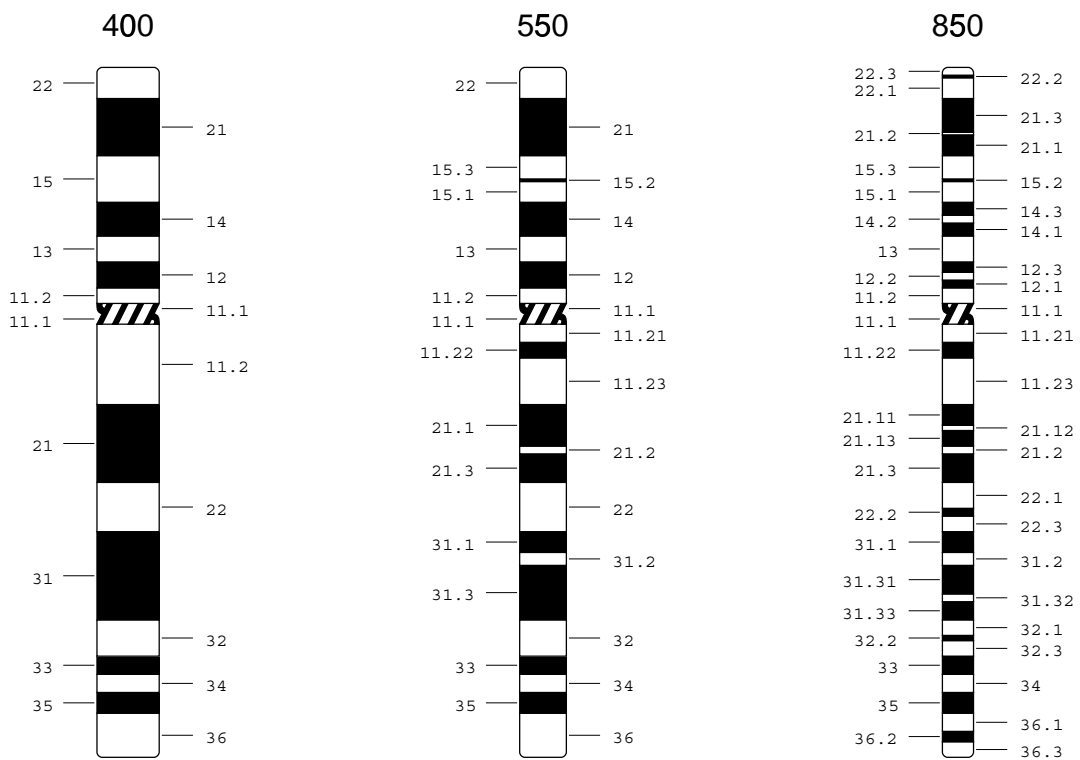
## CHROMOSOME 5



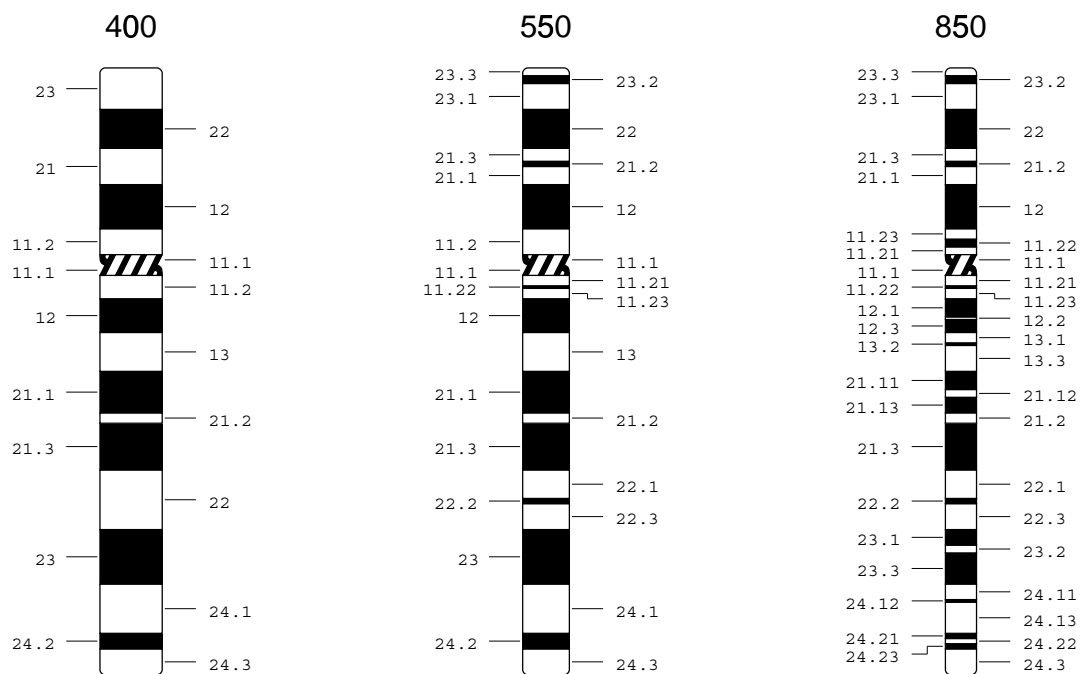
## CHROMOSOME 6



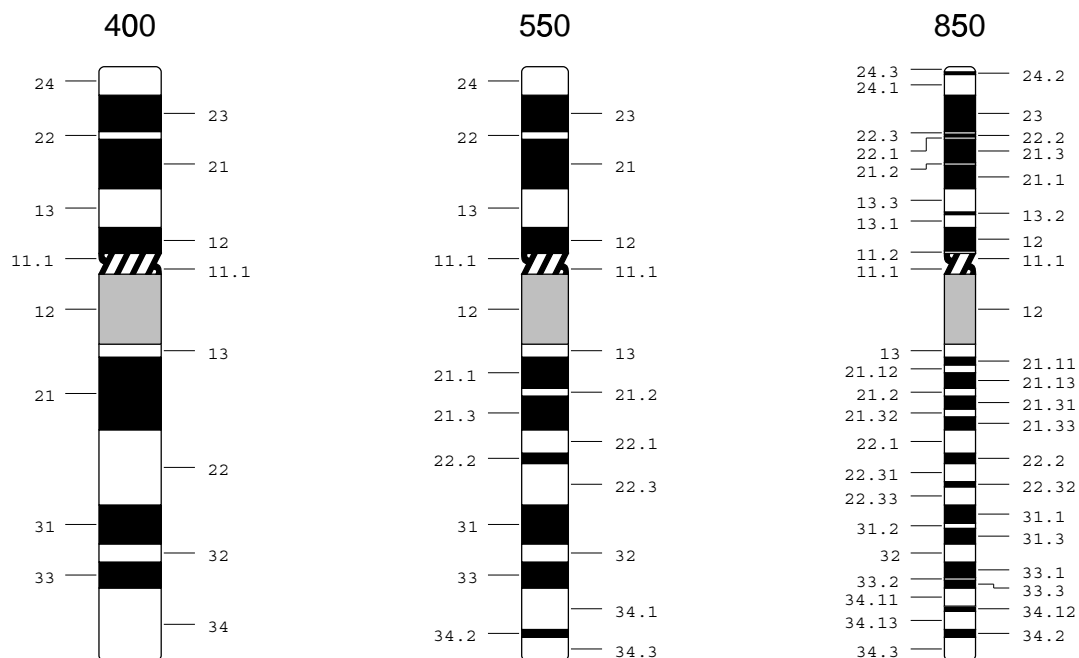
## CHROMOSOME 7



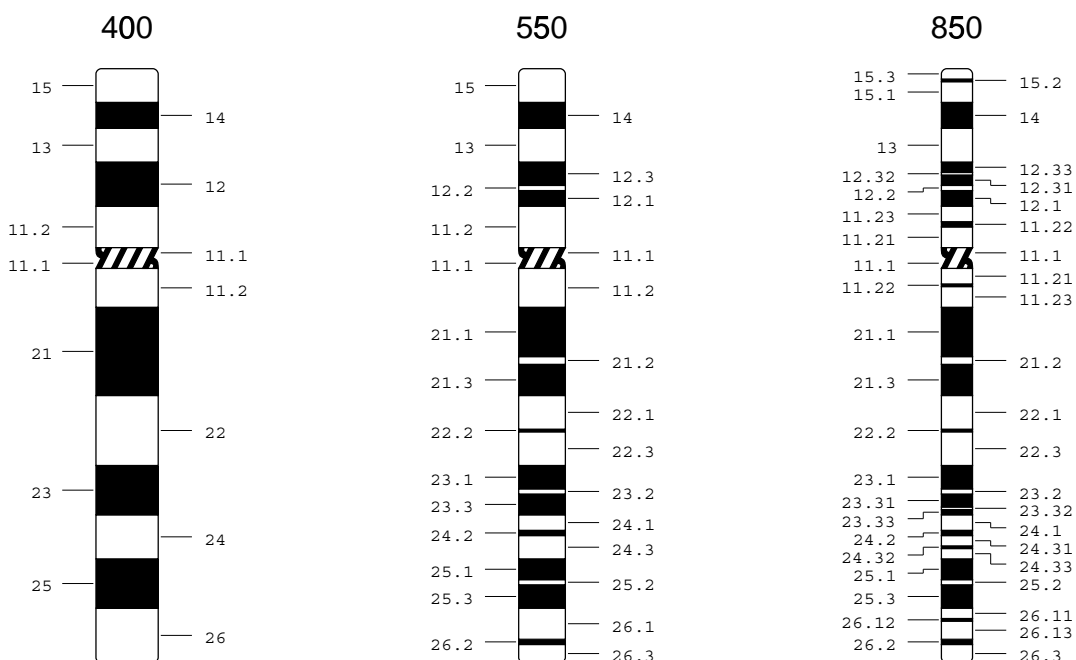
## CHROMOSOME 8



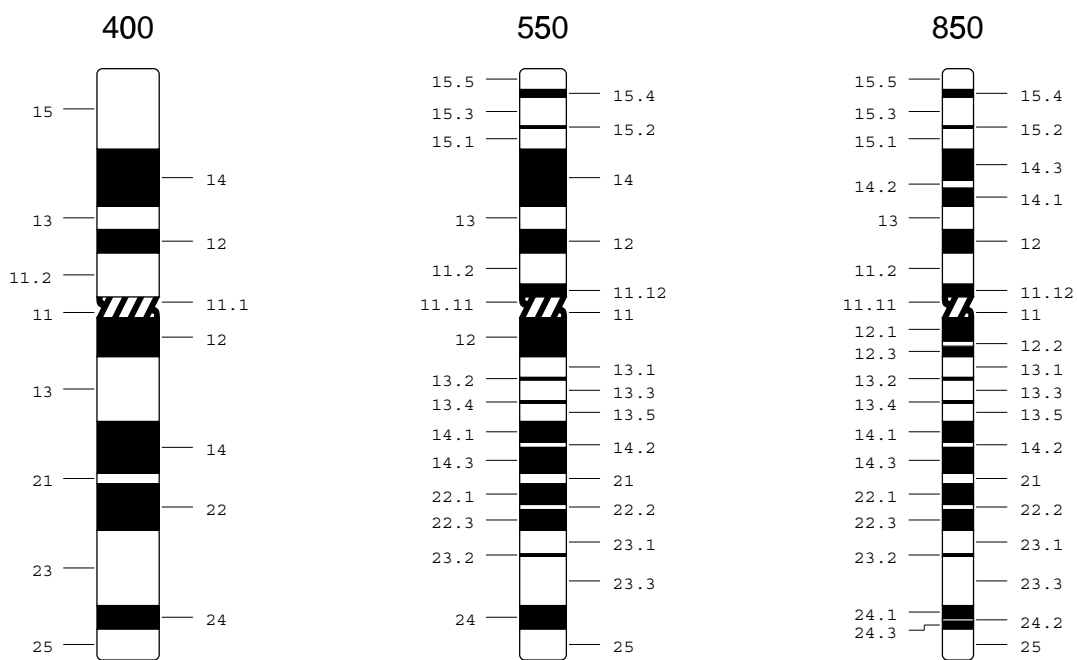
### CHROMOSOME 9



## CHROMOSOME 10

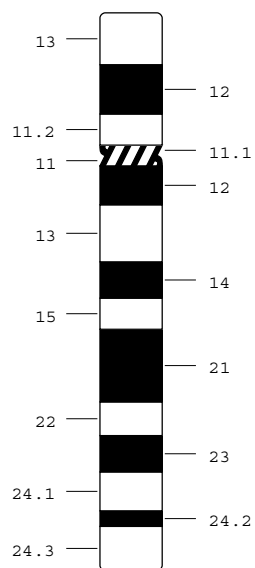


## CHROMOSOME 11

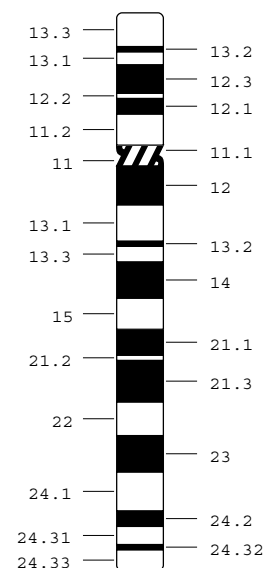


## CHROMOSOME 12

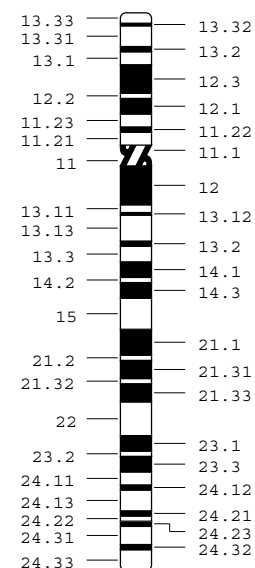
**400**



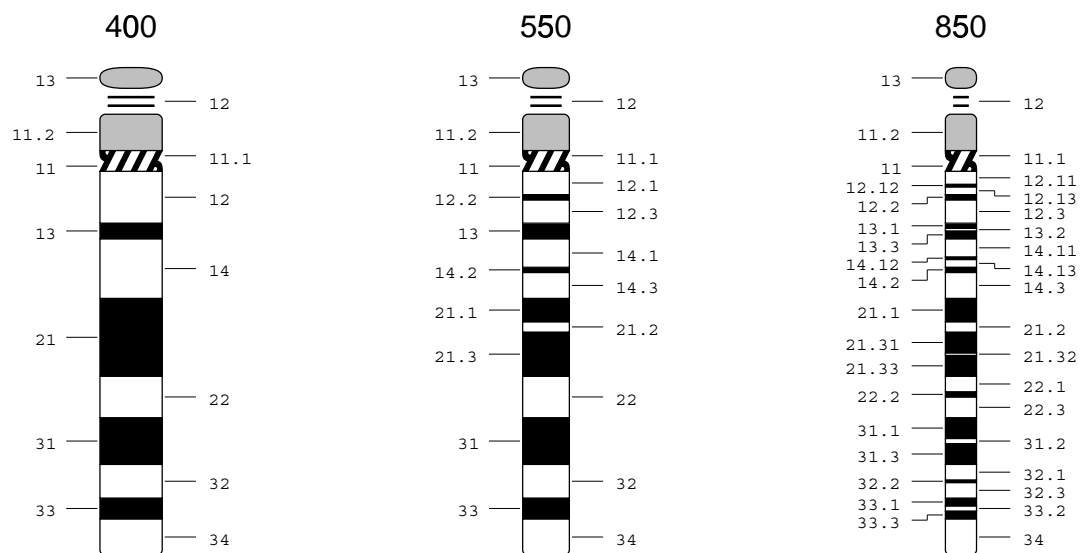
**550**



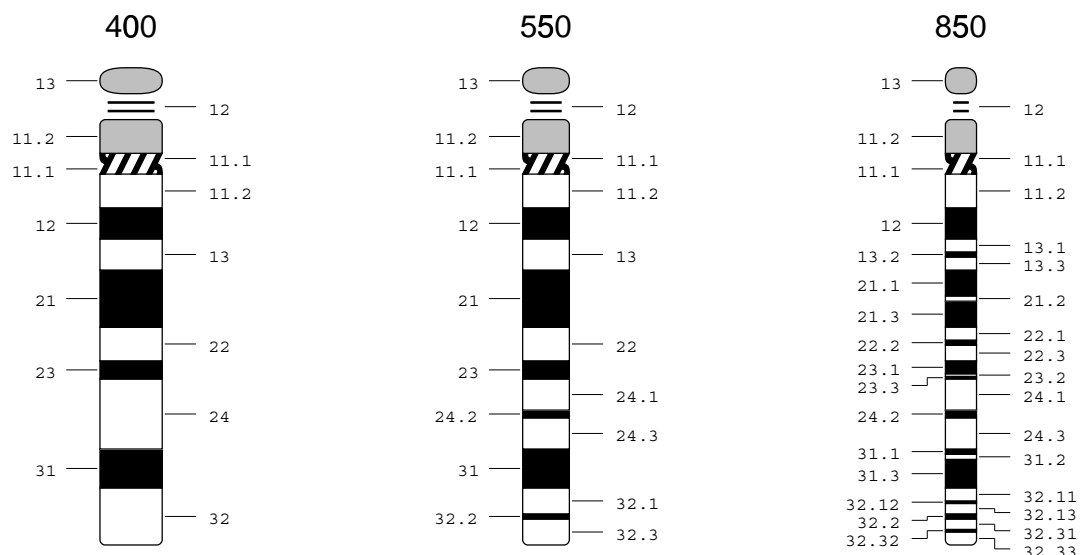
**850**



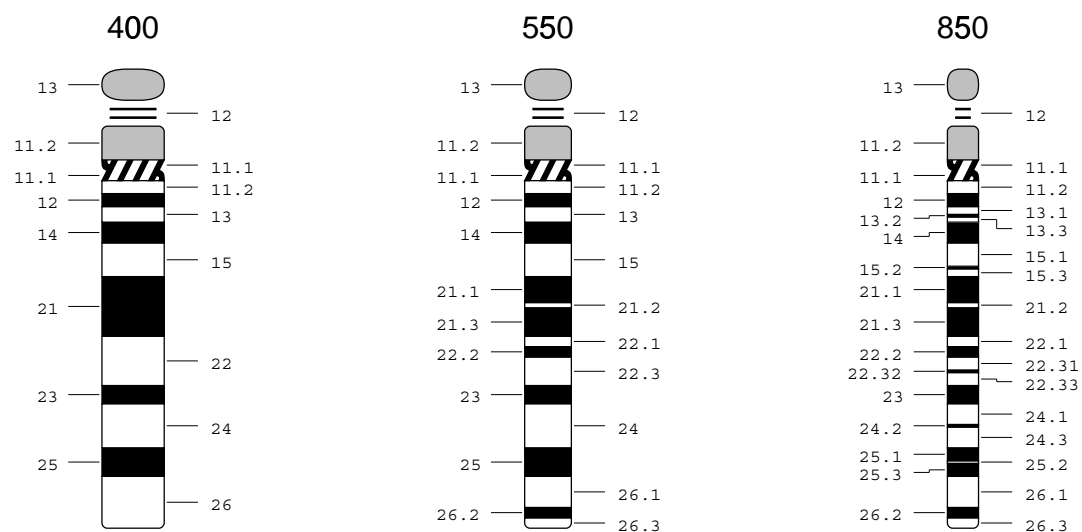
### CHROMOSOME 13



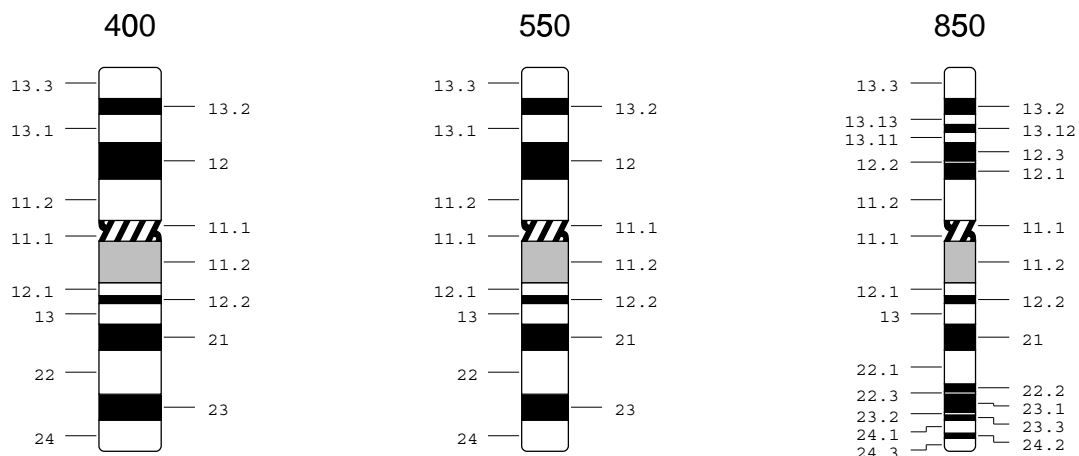
## CHROMOSOME 14



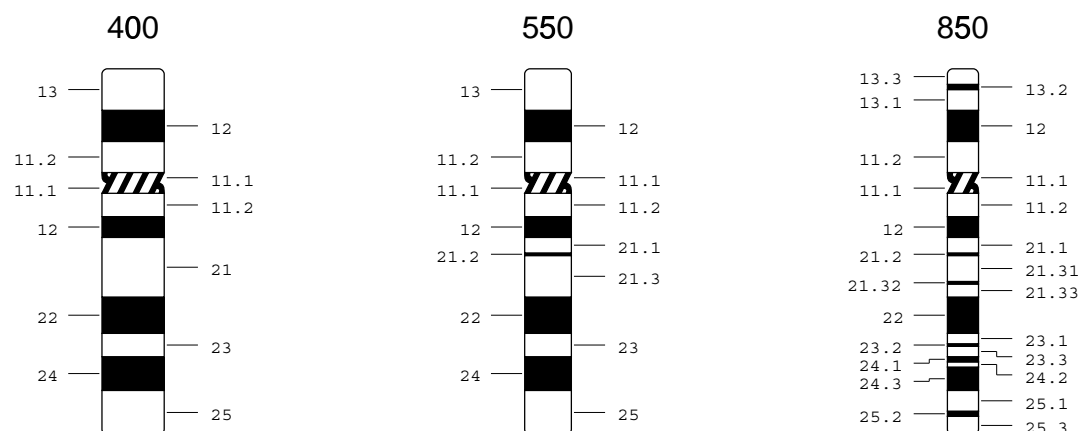
## CHROMOSOME 15



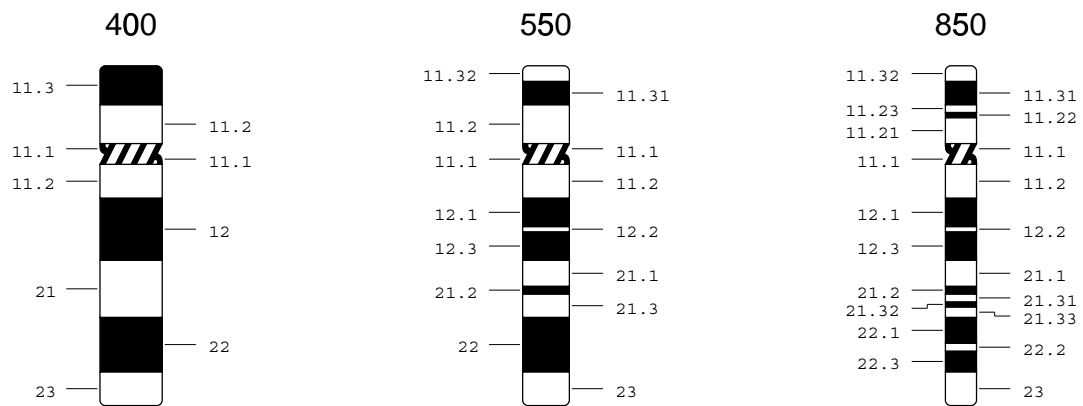
## CHROMOSOME 16



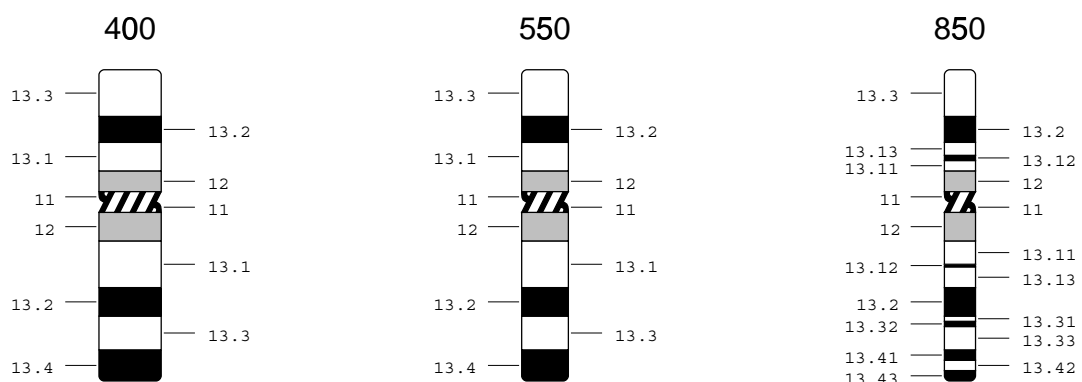
### CHROMOSOME 17



## CHROMOSOME 18

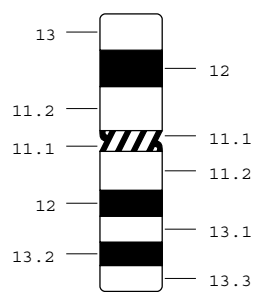


## CHROMOSOME 19

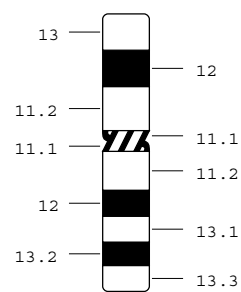


## CHROMOSOME 20

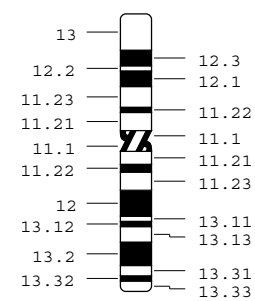
400



550



850



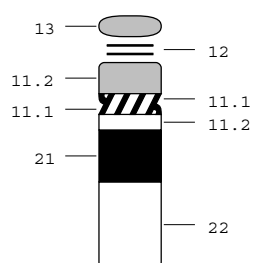
— p

—

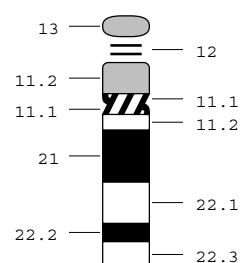
— q

## CHROMOSOME 21

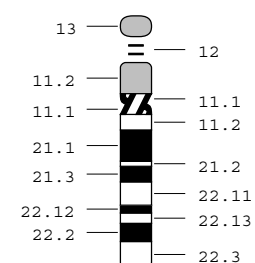
400



550



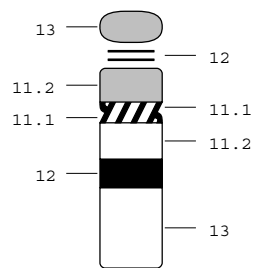
850



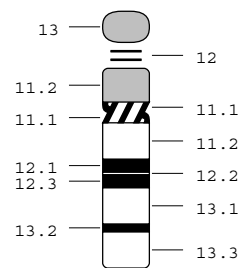
— p  
—  
— q

## CHROMOSOME 22

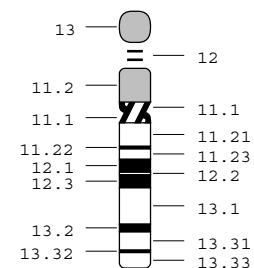
400



550

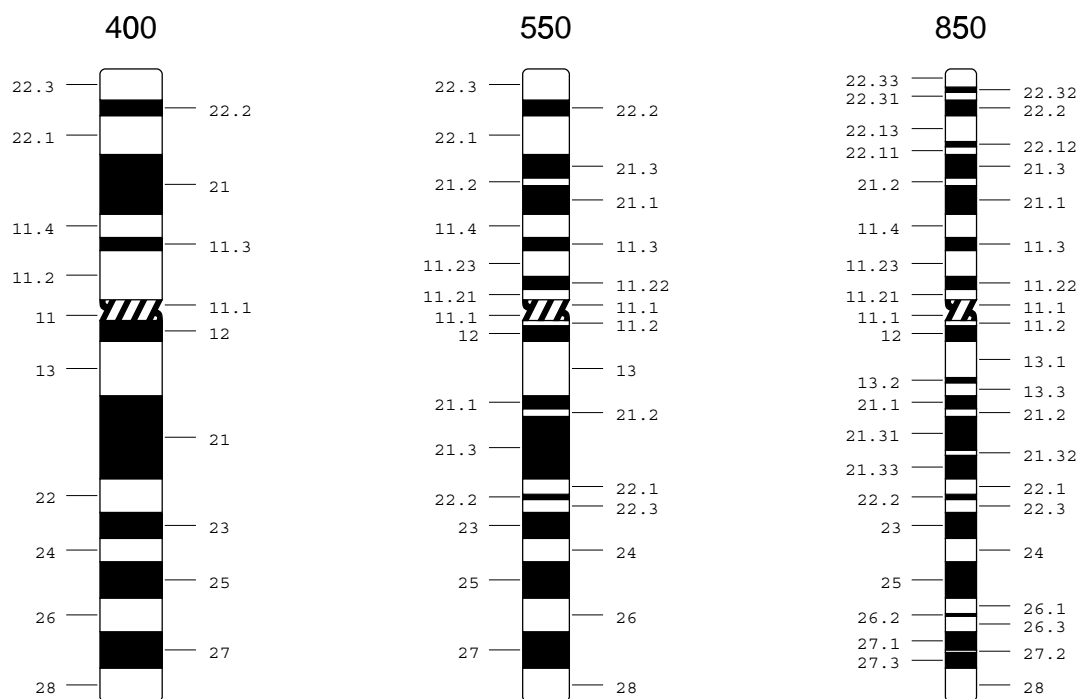


850

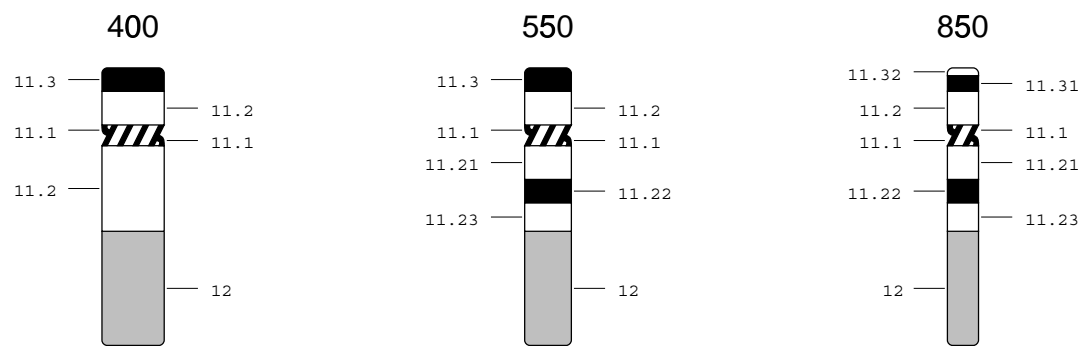


— p  
—  
— q

## X CHROMOSOME



## Y CHROMOSOME



## ประวัติผู้เขียน

ชื่อ สกุล นายสุนทร รุ่งเรืองใบหยก

รหัสประจำตัวนักศึกษา 5010120078

วุฒิการศึกษา

บัตร

ชื่อสถานบัน

ปีที่สำเร็จการศึกษา

วิศวกรรมศาสตรบัณฑิต มหาวิทยาลัยสงขลานครินทร์

2545

(วิศวกรรมไฟฟ้า)

ทุนการศึกษา (ที่ได้รับในระหว่างการศึกษา)

ทุนผู้ช่วยวิจัย คณะวิศวกรรมศาสตร์ มหาวิทยาลัยสงขลานครินทร์

### การตีพิมพ์เผยแพร่ผลงาน

สุนทร รุ่งเรืองใบหยก, พรชัย พฤกษ์ภัทรานนท์, “การปรับปรุงวิธีจัดเรียงกลุ่มภาพโครงการโภชนาคมโดยใช้โครงข่ายประสาทเทียม,” การประชุมวิชาการทางวิศวกรรมศาสตร์มหาวิทยาลัยสงขลานครินทร์ ครั้งที่ 7, สงขลา, 21-22 พฤษภาคม 2552, หน้า 235-240.